



بسم الله الرحمن الرحيم



دانشگاه صنعتی اصفهان

دانشکده مهندسی برق و کامپیوتر

# بررسی کمینه‌ها در مسائل پیچیدگی ارتباطی کوانتومی در حوزه پردازش موازی

گزارش پروژه

محیا جمشیدیان

اساتید راهنما

دکتر مریم موزرانی

دکتر رامین جوادی

۹ شهریور ۱۳۹۹

# فهرست مطالب

صفحه	عنوان
چهار	فهرست مطالب
۱	فصل اول : مقدمه
۳	فصل دوم : پیچیدگی ارتباطی
۳	۱-۲ تعریف
۴	۲-۲ تکنیک‌های کمینه‌یابی
۵	۱-۲-۲ ماتریس مشخصه
۵	۲-۲-۲ پروتکل، درخت و مستطیل‌ها
۵	۳-۲-۲ قطعه بندی
۷	۴-۲-۲ مجموعه گول‌زننده
۸	۵-۲-۲ کران اندازه مستطیل
۹	۶-۲-۲ کمینه رتبه ماتریس
۱۰	فصل سوم : پیچیدگی ارتباطی غیرقطعی
۱۱	۱-۳ پوشش‌ها
۱۲	۲-۳ کلاس‌های پیچیدگی
۱۲	۳-۳ تکنیک‌های کمینه‌یابی
۱۳	۴-۳ نتیجه‌گیری
۱۴	فصل چهارم : پیچیدگی ارتباطی تصادفی
۱۴	۱-۴ مدل سکه خصوصی
۱۵	۲-۴ مدل سکه عمومی
۱۷	۳-۴ مدل توزیعی
۱۷	۴-۴ کمینه‌یابی
۱۷	۱-۴-۴ ناهمگنی
۱۸	۲-۴-۴ محدودکردن مقیاس ناهمگنی و کمینه‌یابی
۱۹	فصل پنجم : کاربرد پیچیدگی ارتباطی در پردازش موازی
۲۰	۱-۵ مدل‌های پیچیدگی ارتباطی $k$ نفره

۲۰	۱-۱-۵	مدل تخته‌سیاه
۲۰	۲-۱-۵	مدل نفر-به-نفر
۲۰	۳-۱-۵	مدل هماهنگ‌کننده
۲۱	۲-۵	قرینه‌سازی
۲۱	۱-۲-۵	تکنیک
۲۲	۲-۲-۵	پیشینازها
۲۳	۳-۵	مثال
۲۳	۱-۳-۵	$XOR - k$ : هماهنگ‌کننده
۲۴	۲-۳-۵	$XOR - k$ : تخته‌سیاه
۲۵	۳-۳-۵	$DISJ - k$ بدون قرینه‌سازی
۲۶		فصل ششم: مکانیک کوانتومی
۲۶	۱-۶	مقدمه‌ای در مورد مشاهده و اندازه‌گیری
۲۷	۲-۶	معنای حالت
۲۸	۳-۶	تداخل
۳۳	۴-۶	معادله شرودینگر
۳۳	۱-۴-۶	مکانیک همیلتونی
۳۴	۵-۶	اصول مکانیک کوانتومی
۳۴	۱-۵-۶	اصل اول - فضای حالات
۳۴	۲-۵-۶	اصل دوم - تحول زمانی
۳۶	۳-۵-۶	اصل سوم - اندازه‌گیری
۳۷	۴-۵-۶	اصل چهارم - سیستم‌های ترکیبی
۳۷	۶-۶	درهم‌تنیدگی
۳۸	۷-۶	اختتامیه‌ای بر عجایب مکانیک کوانتومی
۴۰	۸-۶	قضایای عدم امکان در مکانیک کوانتومی
۴۰	۱-۸-۶	تکثیر حالت‌های کوانتومی
۴۲		فصل هفتم: محاسبات و الگوریتم‌های کوانتومی
۴۲	۱-۰-۷	محدودیت‌های رایانش کلاسیک
۴۴	۱-۷	مبادله کوانتومی اطلاعات
۴۵	۲-۷	شبیه‌سازی کوانتومی
۴۷	۳-۷	فرابرد کوانتومی
۴۹	۴-۷	کدگذاری چگال
۵۰	۵-۷	الگوریتم‌های کوانتومی
۵۰	۱-۵-۷	کیوبیت
۵۱	۲-۵-۷	توازی کوانتومی

۵۱	گیت کوانتومی	۳-۵-۷
۵۲	روند یک الگوریتم کوانتومی	۴-۵-۷
۵۲	الگوریتم دوچ-جوزا	۶-۷
۵۲	سوال پرسیدن کوانتومی	۱-۶-۷
۵۳	تبدیل فوریه روی گروه $Z_2^n$	۲-۶-۷
۵۴	الگوریتم اصلی	۳-۶-۷
۵۵	الگوریتم جست و جوی گرور	۷-۷
۵۵	مساله	۱-۷-۷
۵۵	مقدمه	۸-۷
۵۷	الگوریتم اصلی	۹-۷
۵۹	فصل هشتم: پیچیدگی ارتباطی کوانتومی	
۶۰	یک سوال کوانتومی	۱-۸
۶۱	الگوریتم دوچ-جوزا: توزیع شده	۲-۸
۶۱	مساله اشتراک	۱-۲-۸
۶۳	فصل نهم: شبیه سازی الگوریتم ها و پروتکل های کوانتومی	
۶۳	مدار کوانتومی	۱-۹
۶۴	اندازه گیری	۱-۱-۹
۶۵	مدار جمع کننده	۲-۱-۹
۶۷	فرابرد کوانتومی	۲-۹
۶۸	الگوریتم دوچ-جوزا	۳-۹
۷۱	الگوریتم دوچ-جوزا توزیع شده	۴-۹
۷۶	پیوست: مبانی ریاضی مکانیک کوانتومی	۱-
۷۶	فضای برداری	۱-۱-
۷۷	ضرب داخلی و اندازه	۲-۱-
۷۸	پایه	۳-۱-
۷۹	فضای کامل و هیلبرت	۴-۱-
۸۰	تبدیلات خطی	۵-۱-
۸۱	جمع نیمه مستقیم دو زیرفضا	۶-۱-
۸۲	مساله ویژه مقدار	۷-۱-
۸۳	عملگرهای هرمیتی، یکانی و بهنجار	۸-۱-
۸۴	نمادگذاری دیراک	۹-۱-
۸۶	ضرب تنسوری	۱۰-۱-
۸۸	پیوست دوم: بررسی دقیق کد دوچ جوزا توزیع شده	۲-
۹۷	مراجع	

## فصل اول

### مقدمه

مباحث نظری مربوط به پیچیدگی ارتباطی، پس از طرح اولیه آنها توسط Yao در سال ۱۹۷۹، در حیطه‌های مختلفی استفاده شده‌اند. این کاربردها، در زمینه‌های متنوعی مانند الگوریتم‌های جریانی، نظریه بازی‌ها طراحی مدارهای VLSI و ... یافت می‌شوند. در نتیجه، این کاربردهای متنوع تحقیقات زیادی را در این زمینه شامل شده است.

محاسبات کوانتومی، مبحث جدیدی در علوم کامپیوتر است که با وجود عمر کوتاه، تغییرات زیادی را در تصور و درک ما نسبت به نظریه محاسبات و پیچیدگی محاسباتی ایجاد کرده است. طراحی و انتشار این الگوریتم‌ها - مانند الگوریتم شور<sup>۱</sup> برای به‌دست آوردن عوامل اول یک عدد دلخواه در زمان بهینه - محققان را به پرسش این سوال دعوت می‌کند که آیا در مباحث و حوزه‌های دیگر پیچیدگی محاسباتی نیز، امکان یافت الگوریتم‌های بهینه‌تری وجود دارد یا خیر؟

در ادامه، پس از معرفی این حوزه‌ها و مباحث نظری پایه‌ای موردنیاز، به بررسی چند مسئله به شکل بالا

---

<sup>1</sup>Shore

می‌پردازیم و تلاش می‌کنیم با شبیه‌سازی آن‌ها، از پیچیدگی و زمان اجرای آن‌ها مطلع شویم.

فصل‌های دوم تا چهارم، به مباحث تئوری بنیادین پیچیدگی ارتباطی - پیچیدگی قطعی، غیرقطعی و تصادفی - می‌پردازند. سپس در فصل پنجم، کاربرد خاصی از آن‌ها در حالت کلاسیک مطرح شده و نتایج به مشاهده‌شده را برای به‌دست آوردن نتایجی در آن زمینه‌ها بیان خواهند شد.

از فصل ششم، مکانیک کوانتومی معرفی خواهد شد. این فصل مقدمه تاریخی و نظری روی اصول مکانیک کوانتومی و پدیده‌های غیرمنتظره آن‌هاست. در این فصل، دانش کلی‌ای در مورد جبرخطی و ریاضیات موردنیاز فرض شده است و به همین دلیل، در پیوست اول مقدمه‌ای بر مبانی ریاضی مکانیک کوانتومی آورده شده است.

در دو فصل بعد، الگوریتم‌های کوانتومی را بررسی می‌کنیم. فصل هفتم در مورد الگوریتم‌های معروف را مطرح می‌کند و فصل هشتم، حالت توزیع‌شده و ارتباطی آن‌ها را بررسی خواهد کرد. در نهایت، فصل آخر شبیه‌سازی چندی از این الگوریتم‌ها را دربرخواهد داشت.



## فصل دوم

### پیچیدگی ارتباطی

مدل پیچیدگی ارتباطی در ابتدا در سال ۱۹۷۰ توسط Yao معرفی شد و هدف آن این است که یک مساله را به صورت توزیع شده<sup>۱</sup> حل کند. منظور از حل به صورت توزیع شده آن است که افراد مختلف، با در دست داشتن آرگومان‌های مختلف از یک مساله مشخص، با همکاری هم به حل مساله بپردازند. مهم‌ترین نکته در این مدل این است که افراد دخیل در مخابره، قدرت محاسباتی نامحدود دارند و تنها فاکتور مورد بررسی، مقدار پیام‌های رد و بدل شده میان آن‌هاست. مطالب این فصل با اقتباس از [۱۰، ۱۱، ۱۴-۱۶] تهیه شده است.

#### ۲-۱ تعریف

یک پروتکل قطعی پیچیدگی ارتباطی، پروتکلی مانند  $\pi$  است که در هر مرحله، یکی از دو طرف مخابره، پیامی یک بیتی به دیگری می‌فرستد. آلیس (A) ورودی  $x \in X$  را در اختیار دارد و باب (B) ورودی  $y \in Y$ . هدف این پروتکل این خواهد بود که این دو نفر با هم خروجی  $z \in Z$  را محاسبه کنند، به صورتی که:

$$val(\pi(x, y)) = f(x, y) \quad \forall x \in X, y \in Y$$

که در آن  $f$  یک تابع دانسته توسط دو طرف است.

---

<sup>1</sup>Distributed

درخت پروتکل: معادل با تعریف بالا، می‌توان یک درخت پروتکل باینری در نظر گرفت که رئوسش تصمیم‌ها (بیت‌های ارسال شده) توسط بازیکنان و برگ‌هایش خروجی‌ها هستند:

- هر یک از رئوس غیر برگ درخت یا به آلیس تعلق دارند و یا باب.
- هر راس داخلی  $v$  که به آلیس تعلق دارد، معادل با تابع  $A_v : X \rightarrow \{0, 1\}$  است که بیت فرستاده‌شده توسط آلیس را وقتی به این راس برسد، با توجه به ورودی وی تعیین می‌کند.
- هر راس داخلی  $v$  که به باب تعلق دارد، معادل با تابع  $B_v : X \rightarrow \{0, 1\}$  است که بیت فرستاده‌شده توسط باب را وقتی به این راس برسد، با توجه به ورودی وی تعیین می‌کند.
- هر برگ این درخت ( $l$ ) یک مقدار  $val(l) \in Z$  دارد.

هر جفت ورودی  $x \in X, y \in Y$  در مدل قطعی، یک مسیر یکتا از ریشه تا یک برگ را تعیین می‌کنند. هزینه یک پروتکل، معادل با عمق درخت (بلندترین مسیر از ریشه تا برگ) است که با  $D(f)$  مشخص می‌شود. از آنجایی که آلیس می‌تواند کل رشته‌اش را برای باب بفرستد و این حداکثر مکالمه مورد نیاز بین دو طرف است، برای یک تابع  $f : \{0, 1\}^n \times \{0, 1\}^n \rightarrow \{0, 1\}$ ،  $D(f) \leq n + 1$  است. نکته قابل توجه این است که همواره می‌توان یک درخت پروتکل را متوازن کرد. به عبارت دیگر، یک درخت پروتکل با  $N$  تا برگ با درخت پروتکل دیگری با عمق  $O(\log N)$  معادل است. به بیان دیگر، عمق درخت به عنوان یک شاخص برای اندازه‌گیری پیچیدگی ارتباطی، به جز یک ضریب ثابت، با لگاریتم تعداد برگ‌های درخت معادل است.

## ۲-۲ تکنیک‌های کمینه‌یابی

زمانی که صحبت از پیچیدگی به میان می‌آید، لازم است که مشخص شود یک مساله مشخص حداقل به چه مقدار زمان یا حافظه برای رسیدن به جواب نیاز دارد. در مورد مسائل پیچیدگی ارتباطی، پیچیدگی مورد نظر همان تعداد بیت مخابره شده بین افراد مکالمه است. منظور از کمینه<sup>۱</sup> برای این نوع پیچیدگی، کمترین تعداد بیتی است که بین دو نفر جابه‌جا خواهد شد تا پاسخ مساله  $p$  با سبب ورودی  $n$  بر دو طرف آشکار باشد. در مورد پیچیدگی ارتباطی و کمینه‌هایش در ابتدای راه قرار داریم ولی در حال حاضر تکنیک‌های سومندی برای مشخص کردن کمینه یک مساله تعریف و استفاده شده‌اند که ابتدا مفاهیم اولیه پیش‌نیاز را مطرح خواهیم کرد و در ادامه به بررسی هر یک از ابزارها می‌پردازیم.

<sup>۱</sup>lower-bound

## ۲-۲-۱ ماتریس مشخصه

با توجه به تابع از قبل مشخص  $f : X \times Y \rightarrow \{0, 1\}$ ، ماتریس مشخصه<sup>۱</sup> تابع  $f$  به صورت زیر است:

$$M_f = [f(x, y)]_{x \in X, y \in Y}$$

اگر  $X = \{x_1, x_2, \dots, x_m\}$  و  $Y = \{y_1, y_2, \dots, y_n\}$ ، شکل ماتریس  $M_f$  موردنظر به صورت زیر است:

$$\begin{bmatrix} f(x_1, y_1) & f(x_1, y_2) & \cdots & f(x_1, y_n) \\ f(x_2, y_1) & f(x_2, y_2) & \cdots & f(x_2, y_n) \\ \vdots & \vdots & \ddots & \vdots \\ f(x_m, y_1) & f(x_m, y_2) & \cdots & f(x_m, y_n) \end{bmatrix}$$

توجه کنید که در مبحث پیچیدگی ارتباطی، می‌توانیم از تمامی هزینه‌ها به جز بیت‌های مخابره شده صرف نظر کنیم، چرا که برای هر یک از شرکت کنندگان قدرت محاسباتی بی‌نهایت در نظر گرفته‌ایم.

## ۲-۲-۲ پروتکل، درخت و مستطیل‌ها

قبلا در مورد نمایش درختی یک پروتکل صحبت کردیم، اینجا می‌خواهیم ارتباط بین پروتکل، درخت و مستطیل را نشان می‌دهیم. به منظور تفهیم بهتر، فرض کنید که  $X = Y = \{00, 01, 10, 11\}$  و تابع

		Y			
		00	01	10	11
X	00	0	0	0	1
	01	0	0	0	1
	10	0	0	0	0
	11	0	1	1	1

شکل ۲-۱: ماتریس مشخصه یک تابع دلخواه  $f : X \times Y \rightarrow \{0, 1\}$  با  $X = Y = \{00, 01, 10, 11\}$ .

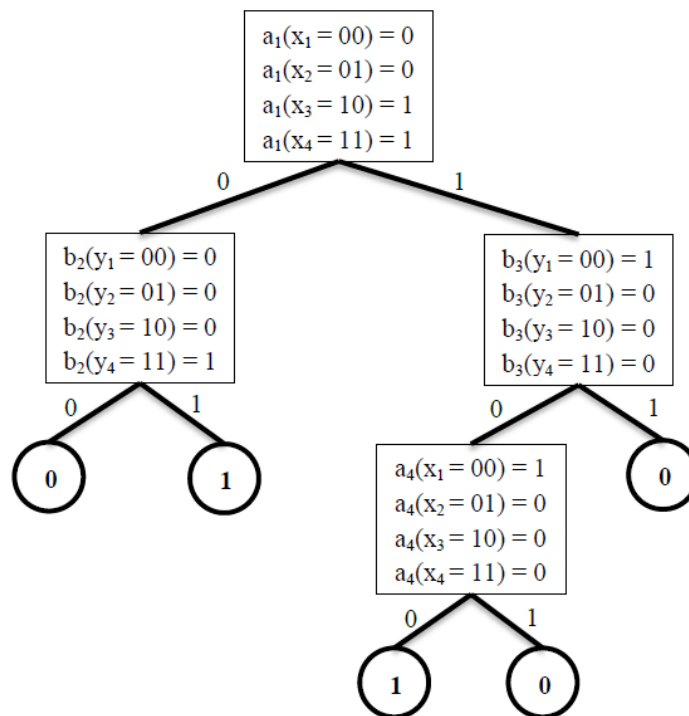
$f : X \times Y \rightarrow \{0, 1\}$  به واسطه ماتریس مشخصه خود در ۲-۲-۲ داده شده باشد. یک پروتکل معتبر برای  $f$  در شکل ۲-۲-۲ نشان داده شده است.

## ۲-۲-۳ قطعه بندی

تعریف ۱. تابع  $f : X \times Y \rightarrow \{0, 1\}$  را در نظر بگیرید. یک زیر مجموعه  $S \subseteq X \times Y$  -تک‌رنگی<sup>۲</sup> است اگر تابع  $f$  روی  $S$  ثابت باشد.

<sup>۱</sup>Characteristic Matrix

<sup>۲</sup>f-monochromatic



شکل ۲-۲: یک پروتکل صحیح برای مخابره تابع مشخص شده در زیر قسمت ۲-۲-۲

قضیه ۱. مجموعه ورودی‌های  $(x, y) \in X \times Y$  که به یک برگ مشخص از درخت پروتکل ختم می‌شود، یک مستطیل است.

نتیجه: هر پروتکل قطعی برای تابع  $f$ ، مجموعه  $X \times Y$  را به مستطیل‌های  $f$ -تک‌رنگی جدا از هم قطعه‌بندی<sup>۱</sup> می‌کند. در واقع، حداکثر تعداد مستطیل‌ها  $2^C$  است که  $C$  هزینه ارتباطی پروتکل است (ارتفاع درخت).

بیشینه‌ای که در نتیجه فوق مطرح شده است از جایی برمی‌آید که درختی با ارتفاع  $C$  نمی‌تواند بیشتر از  $2^C$  برگ داشته باشد.

توجه کنید که هر پروتکل، ماتریس مشخصه را به تعدادی مستطیل قطع بندی خواهد کرد ولی هر قطعه‌بندی لزوماً معادل یک پروتکل نیست. به عنوان مثال، در شکل ۲-۲-۳ نمی‌توان یک پروتکل پیدا کرد چرا که هیچ برشی نیست که بتواند یک زیرماتریس را به دو ماتریس دیگر تبدیل کند (اولین قدم پروتکل اجرایی نیست).

<sup>1</sup>partition

		Y			
		00	01	10	11
X	00	0	0	0	1
	01	0	0	0	1
	10	0	0	0	0
	11	0	1	1	1

شکل ۲-۳: قطع‌بندی‌ای که نمی‌تواند به یک پروتکل نظیر شود. هیچ برشی در قطعه‌بندی وجود ندارد که با انتخاب آن، ماتریس به دو زیرماتریس تبدیل شود.

۲-۲-۴ مجموعه گول‌زننده

به عنوان یک روش برای محاسبه کردن کمینه پیچیدگی ارتباطی یک مساله، می‌توانیم از ابزاری به نام مجموعه گول‌زننده<sup>۱</sup> استفاده کنیم.

تعریف ۲. تابع  $f : X \times Y \rightarrow \{0, 1\}$  داده شده است. یک مجموعه  $S \subseteq X \times Y$  را مجموعه گول‌زننده می‌نامند اگر یک مقدار  $z \in \{0, 1\}$  وجود داشته باشد به طوری که:

- برای هر  $(x, y) \in S$  داشته باشیم  $f(x, y) = z$ .
- برای هر دو عضو متفاوت  $(x_1, y_1)$  و  $(x_2, y_2)$  در  $S$ ، یا  $f(x_1, y_2) \neq z$  یا  $f(x_2, y_1) \neq z$ .

قضیه ۲. پیچیدگی ارتباطی تابع  $f$  از نامساوی زیر پیروی می‌کند،

$$D(f) \geq \log_2 |S|$$

که  $S$  هر مجموعه گول‌زننده‌ای برای  $f$  است.

اثبات. هیچ دوعضوی از مجموعه گول‌زننده  $S$  طبق تعریف نمی‌تواند عضو یک مستطیل در قطعه‌بندی باشند، در نتیجه حداقل به تعداد اعضای  $S$ ، مستطیل  $f$ -تک‌رنگی داریم. طبق نتیجه قبل، حکم ثابت می‌شود.

□

<sup>1</sup>Fooling Set

مثال ۱. تابع مساوی را در نظر بگیرید. از قبل می‌دانیم حداکثر تعداد بیت‌هایی که باید برای این مساله مخابره شود  $n$  است. حال می‌خواهیم نشان دهیم که این تعداد، حداقل هم هست. تعریف تابع مساوی:  $EQ_n$

$$\{0, 1\}^n \times \{0, 1\}^n \rightarrow \{0, 1\}$$
 به صورت زیر خواهد بود

$$EQ_n(x, y) = \begin{cases} 1 & x=y \\ 0 & \text{در غیر این صورت} \end{cases} \quad (۱-۲)$$

ماتریس مشخصه این تابع همان ماتریس همانی  $2^n \times 2^n$  است.

$$\begin{bmatrix} 1 & 0 & \cdots & 0 \\ 0 & 1 & \cdots & 0 \\ \vdots & \vdots & \ddots & \vdots \\ 0 & 0 & \cdots & 1 \end{bmatrix}$$

مجموعه گول زننده در این حالت همه مقادیر ۱ تابع  $f$  است. چرا که هیچ دوتایی از ورودی‌هایی که خروجی ۱ دارند، در یک مستطیل نمی‌توانند باشند.

## ۲-۲-۵ کران اندازه مستطیل

کران اندازه مستطیل<sup>۱</sup> یک روش دیگر برای اثبات کردن کمینه‌های توابع بولی مورد استفاده در پیچیدگی ارتباطی است. ایده پشت این ماجرا، ثابت کردن آن است که اندازه هر مستطیل کوچک است، در نتیجه باید تعداد زیادی مستطیل برای پوشاندن کل ماتریس مشخصه داشته باشیم.

ایده: تابع  $f: X \times Y \rightarrow \{0, 1\}$  داده شده است. روی اعضای  $f^{-1}(1)$  یک توزیع احتمال  $\mu$  تعریف می‌کنیم به طوری که برای هر مستطیل  $R$  شامل مقادیر ۱،  $\mu(R)$  کوچک باشد. به همین طریق می‌توانیم برای مقادیر ۰ هم این روند را تکرار کنیم.

مثال ۲. نشان می‌دهیم که مجموعه گول‌زننده یک مدلی از کران اندازه مستطیل است. فرض کنید که مجموعه گول‌زننده  $S$  را داشته باشیم و  $|S| = t$ . حال  $\mu$  را یک توزیع یکنواخت روی اعضای  $S$  در نظر بگیرید. در نتیجه

$$\mu(x, y) = \begin{cases} 1/t & (x, y) \in S \\ 0 & \text{در غیر این صورت} \end{cases} \quad (۲-۲)$$

نشان دادیم که هیچ دو عضوی از مجموعه  $S$  نمی‌توانند در یک مستطیل  $f$ -تک‌رنگی باشند. در نتیجه، برای هر مستطیل  $R$  داریم  $\mu(R) \leq 1/t$  و در نهایت باید  $\frac{1}{t}$  برگ در درخت پروتکل وجود داشته باشد و این گواهی بر این است که  $D(f) \geq \lceil \log_2 t \rceil$ .

<sup>1</sup>Rectangle Size Bounds

۲-۲-۶ کمینه رتبه ماتریس<sup>۱</sup>

قضیه ۳. تابع  $f : X \times Y \rightarrow \{0, 1\}$  داده شده است. داریم  $D(f) \geq \log_2(2 \times \text{rank}_F(M_f - 1))$  بر روی هر میدان  $F$ .

اثبات. در قسمت‌های قبل نشان دادیم که پیچیدگی ارتباطی تابع مساوی برابر  $n$  است. حال با استفاده از رتبه، این را نشان می‌دهیم:

از آنجایی که ماتریس مشخصه تابع مساوی ماتریس همانی  $2^n \times 2^n$  است، و رتبه این ماتریس برابر  $2^n$  است، طبق قضیه قبل پیچیدگی ارتباطی این مساله  $n$  است.  $\square$

---

<sup>1</sup>Matrix Rank

## فصل سوم

### پیچیدگی ارتباطی غیرقطعی

در این بخش، سعی بر این است که مشابه تئوری پیچیدگی محاسباتی، مدل غیرقطعی<sup>۱</sup> را در پیچیدگی ارتباطی نیز تعریف کنیم. مطالب این فصل با اقتباس از [۲، ۱۰، ۱۱، ۱۴-۱۶] تهیه شده است.

برای هر تابع بولی  $f : X \times Y \rightarrow \{0, 1\}$ ، یک پروتکل غیرقطعی دو بخش خواهد داشت. در ابتدا، یک پیشگو<sup>۲</sup> که به ورودی هر دو طرف دسترسی دارد یک رشته  $a$  را به هر دو طرف می‌دهد. در مرحله دوم، بازیکنان با در اختیار داشتن این رشته و ورودی‌های خودشان، پروتکل را مانند قسمت قطعی ادامه می‌دهند و در مورد مقدار تابع تصمیم می‌گیرند. اگر خروجی را با  $\Pi(x, y, a)$  نشان دهیم، این پروتکل مقدار  $f$  را به درستی محاسبه می‌کند اگر:

$$f(x, y) = 1 \Rightarrow \exists a, \Pi(x, y, a) = 1$$

$$f(x, y) = 0 \Rightarrow \forall a, \Pi(x, y, a) = 0$$

هزینه این پروتکل، جمع حداکثر طول رشته  $a$  و حداکثر تعداد بیت‌های مخابره شده بین دو طرف است. هزینه غیرقطعی محاسبه  $f$  که با  $N^1(f)$  نشان داده می‌شود، حداقل هزینه پروتکلی است که  $f$  را محاسبه می‌کند. متناظر

---

<sup>۱</sup>Non-deterministic

<sup>۲</sup>Oracle



با این تعریف، هزینه co-nondeterministic برای تابع  $f$  به همین شکل بیان و با  $N^0(f)$  نشان داده می‌شود.

مثال ۳. تابع نامساوی را در نظر بگیرید. تعریف رسمی این تابع به شکل زیر می‌باشد:

$$NEQ_n(x, y) = \begin{cases} 0 & x=y \\ 1 & \text{در غیر این صورت} \end{cases} \quad (۱-۳)$$

و ماتریس مشخصه آن نیز به این شکل است:

$$\begin{bmatrix} 0 & 1 & \cdots & 1 \\ 1 & 0 & \cdots & 1 \\ \vdots & \vdots & \ddots & \vdots \\ 1 & 1 & \cdots & 0 \end{bmatrix}$$

هزینه محاسبه غیرقطعی این تابع  $(NEQ)$  برابر  $O(\log n)$  است. برای مشاهده این موضوع، دقت کنید که اگر دو ورودی متفاوت باشند، پیشگو می‌تواند شماره بیت اختلاف را به عنوان رشته اولیه به هر دو طرف ارسال کند. در نتیجه، هزینه کل پروتکل برابر طول رشته کمک اولیه  $(O(\log n))$  و هزینه چک کردن آن بیت خواهد بود. (آلیس بیت مشخص شده را برای باب ارسال می‌کند، باب مشاهده می‌کند که رشته‌ها متفاوت هستند. این عمل به یک بیت مخابره نیاز دارد.)

در جهت دیگر، مشاهده کنید که اگر دو ورودی با هم مساوی باشند، هیچ رشته اولیه‌ای وجود ندارد که پیشگو بتواند در ابتدا به هر دو طرف ارسال کند و فرآیند چک کردن تساوی را آسان‌تر نماید. پس برای این تابع،  $N^0(NEQ) = O(n)$  خواهد بود.

### ۳-۱ پوشش‌ها

مشابه ارتباط پیچیدگی قطعی با مستطیل‌ها، پیچیدگی غیرقطعی ارتباط مستقیمی با پوشش‌ها<sup>۱</sup> دارد.

تعریف ۳. برای هر  $z \in \{0, 1\}$ ، یک  $z$ -پوشش<sup>۲</sup> برای  $f$ ، مجموعه‌ای از مستطیل‌های  $R_1, \dots, R_N$  است که ممکن است اشتراک داشته باشند، به طوری که  $f^{-1}(z) = \cup R_i$ . حداقل ساینز یک پوشش- $z$  برای  $f$  را با  $C^z(f) = N$  نشان می‌دهیم.

قضیه ۴. برای  $z \in \{0, 1\}$  داریم:  $N^z(f) = \log C^z(f) + O(1)$  به عبارت دیگر، ارتباط هزینه مخابره غیرقطعی با پوشش‌ها معادل مخابره قطعی با مستطیل‌هاست.

<sup>۱</sup>Covers

<sup>۲</sup>z-Cover

## ۳-۲ کلاس‌های پیچیدگی

یکی از بزرگ‌ترین مسائل باز موجود در پیچیدگی محاسباتی، درستی تساوی  $P = NP \cap coNP$  است. در این قسمت، سعی می‌کنیم تعاریف مشابهی برای کلاس‌های متناظر آن‌ها بیان کنیم و این تساوی را در پیچیدگی ارتباطی اثبات کنیم.

تعریف ۴. برای یک تابع دودویی  $f : \{0, 1\}^n \times \{0, 1\}^n \rightarrow \{0, 1\}$  داریم:

$$D(f) = polylog(n) \Rightarrow f \in P^{CC} \bullet$$

$$N^1(f) = polylog(n) \Rightarrow f \in NP^{CC} \bullet$$

$$N^0(f) = polylog(n) \Rightarrow f \in coNP^{CC} \bullet$$

که در آن  $polylog(n) = O(\log^c n)$  است.

لم ۱. برای هر تابع دودویی،  $D(f) = O(N^0(f)N^1(f))$

قضیه ۵.

$$P^{CC} = NP^{CC} \cap coNP^{CC}$$

اثبات. مشاهده جهت اول، مشخص است. مجموعه  $P^{CC}$  زیر مجموعه هر دو مجموعه  $NP^{CC}$  و  $coNP^{CC}$  است و پس زیرمجموعه اشتراک آن‌ها نیز خواهد بود.

برای اثبات قسمت دوم، مشاهده می‌کنیم که از آنجایی که طبق تعریف، اگر تابعی هم در  $NP^{CC}$  و هم در  $coNP^{CC}$  باشد، پس  $N^1(f) = O(\log^{c_1} n)$  و  $N^0(f) = O(\log^{c_2} n)$  خواهد بود. حال از لم ۱ استفاده می‌کنیم.

$$D(f) = O(N^0(f)N^1(f)) \Rightarrow D(f) = O(N^0(f)N^1(f)) = O(\log^{c_1} n \log^{c_2} n) = O(\log^c n)$$

□

## ۳-۳ تکنیک‌های کمینه‌یابی

تکنیک‌های کمینه‌یابی برای پیچیدگی غیرقطعی به طور مستقیم از لم قبل نتیجه می‌شوند.

$$N^1(f) \geq \Omega\left(\frac{D(f)}{N^0(f)}\right)$$

و یا از معادل آن استفاده می‌کنند:

لم ۲. برای هر تابع دودویی، نتایج زیر برقرار است:

$$D(f) = O(N^1(f) \log(\text{rank}(M_f))) \Rightarrow N^1(f) \geq \Omega\left(\frac{D(f)}{\log(\text{rank}(M_f))}\right)$$

$$D(f) = O(N^0(f) \log(\text{rank}(M_f))) \Rightarrow N^0(f) \geq \Omega\left(\frac{D(f)}{\log(\text{rank}(M_f))}\right)$$

۴-۳ نتیجه‌گیری

تا به حال، چندی از ملاک‌های سنجش پیچیدگی ارتباطی را بررسی کردیم. ارتباط کلی آن‌ها به شکل زیر است:

$$2^{\Theta(\sqrt{D(f)})} \leq C(f) \leq C^D(f) \leq C^P(f) \leq 2^{\Theta(D(f))} \quad (۲-۳)$$

•  $C^P(f)$  کم‌ترین تعداد برگ‌های درخت پروتکل برای تابع  $f$  است.

•  $C^D(f)$  کم‌ترین تعداد مستطیل‌ها در یک تقسیم‌بندی برای تابع  $f$  است.

•  $C^z(f)$  حداقل ساینز یک پوشش  $z$ -برای تابع  $f$  است.

•  $C(f) = C^0(f) + C^1(f)$

نامساوی اول مستقیماً از لم ۱ نتیجه می‌شود. دو نامساوی اول نیز در فصل قبل اثبات شده‌اند.

## فصل چهارم

### پیچیدگی ارتباطی تصادفی

استفاده از تصادف در بسیاری از حوزه‌های الگوریتمی، کاربرد زیادی دارد و پیچیدگی ارتباطی نیز از این امر مستثنا نیست. در این قسمت، سه مدل پیچیدگی تصادفی را بررسی خواهیم کرد و علاوه بر ارتباط آن‌ها، چند تکنیک به‌دست آوردن کمینه را نیز در نظر خواهیم گرفت. [۱۰، ۱۱، ۱۴-۱۶]

#### ۴-۱ مدل سکه خصوصی

این مدل بر فرض این که هر یک از بازیکنان به مقدار نامحدودی از بیت‌های رندوم دسترسی دارند. این مدل نیز مانند مدل قطعی، با یک درخت پروتکل قابل نمایش است.

تعریف درخت پروتکل برای مدل سکه خصوصی<sup>۱</sup> به شکل زیر خواهد بود. در هر راس درخت  $(v)$ ، توابع مشخص‌کننده مسیر  $A_v, B_v$  توابع تصادفی هستند. به بیان دیگر،  $A_v : X \rightarrow [0, 1]$  احتمال انتخاب فرزند سمت راست را مشخص می‌کند. برای تعریف دقیق محاسبه یک تابع  $f$ ، بیت‌های رندوم آلیس و باب را به ترتیب با  $r_A, r_B$  نمایش می‌دهیم.

---

<sup>1</sup>Private Coin

تعریف ۵. می‌گوییم پروتکل تصادفی  $\Pi$  تابع  $f : X \times Y \rightarrow Z$  را با خطای  $\epsilon$  محاسبه می‌کند اگر:

$$\Pr_{r_A, r_B} [\Pi(x, y; r_A, r_B) = f(x, y)] \geq 1 - \epsilon \quad \forall x \in X, y \in Y. \quad (۱-۴)$$

هزینه پروتکل تصادفی مثل حالت قطعی، برابر تعداد بیت‌های مبادله‌شده (عمق درخت پروتکل) خواهد بود. حداقل هزینه پروتکلی که  $f$  را با خطای  $\epsilon$  محاسبه می‌کند را با  $R_\epsilon(f)$  نمایش می‌دهیم. به علاوه، در مسائل مربوط به پیچیدگی محاسباتی  $\epsilon = \frac{1}{3}$  در نظر گرفته می‌شود و داریم  $R(f) = R_{\frac{1}{3}}(f)$ . در تمام پروتکل‌های تصادفی، می‌توان با تکرار پروتکل و انتخاب پر تکرارترین پاسخ، احتمال جواب درست را افزایش داد. در نتیجه:

$$R_\epsilon(f) = O(\log \frac{1}{\epsilon}). R(f) \quad (۲-۴)$$

#### ۲-۴ مدل سکه عمومی

این مدل، فرض می‌کند بیت‌های عمومی نامحدود در اختیار آلیس و باب، مشترک هستند. این بیت‌های مشترک را با  $r$  نمایش داده و داریم:

تعریف ۶. می‌گوییم پروتکل تصادفی  $\Pi$  تابع  $f : X \times Y \rightarrow Z$  را با خطای  $\epsilon$  و سکه‌های عمومی<sup>۱</sup> محاسبه می‌کند اگر:

$$\Pr_r [\Pi(x, y; r) = f(x, y)] \geq 1 - \epsilon \quad \forall x \in X, y \in Y. \quad (۳-۴)$$

هزینه حداقل پروتکلی که تابع  $f$  را با سکه عمومی محاسبه می‌کند را با  $R_\epsilon^{pub}(f)$  نمایش می‌دهیم. به شکل مشابه، از تکرار برای افزایش دقت این مدل نیز می‌توان استفاده کرد.

مثال ۴. حال از مدل‌های بررسی‌شده، برای طراحی پروتکل‌هایی برای تابع تساوی استفاده می‌کنیم.

• مدل سکه خصوصی:

۱. آلیس یک عدد اول به صورت تصادفی از مجموعه  $\{2, \dots, 2n\}$  انتخاب می‌کند.

۲. آلیس عدد اول انتخاب شده ( $p$ ) و مقدار  $x \bmod p$  را به باب ارسال می‌کند.

۳. باب چک می‌کند که آیا  $y \bmod p$  برابر با عدد دریافتی هست یا خیر. اگر برابر بود ۱ و اگر برابر

نبود صفر برمی‌گرداند.

<sup>1</sup>Public Coin

مشخص است که اگر دو عدد با هم برابر باشند، نتیجه این پروتکل همواره درست خواهد بود. ولی اگر  $x \neq y$  باشد، ممکن است اعداد اولی وجود داشته باشند به صورتی که  $x \bmod p = y \bmod p$ . پس در این حالت، خطا وجود خواهد داشت. حال تلاش می‌کنیم مقدار خطا را محاسبه کنیم. فرض کنید که مجموعه  $\{p_1, p_2, \dots, p_k\}$  مجموعه تمام اعداد اولی باشد که  $x \bmod p_i = y \bmod p_i$  در نتیجه:

$$x \bmod P = y \bmod P \quad P = p_1 p_2 \dots p_k$$

حال از آنجایی که  $p_i \geq 2$  است،  $P \geq 2^k$  خواهد بود. ولی  $P$  نمی‌تواند بیش‌تر از  $2^n$  باشد، چون  $x \neq y$  است. پس  $2^k \leq 2^n$  است و  $k \leq n$  خواهد بود. حال از آنجایی که عدد اول از مجموعه‌ای به اندازه  $2n$  انتخاب شده است، احتمال این که یکی از این اعداد اول به تصادف انتخاب شود کمتر از  $\frac{1}{2}$  خواهد بود. (و این احتمال با تکرار می‌تواند کمتر شود.)

هزینه این پروتکل  $O(\log n)$  است. توجه کنید که حداقل مقدار مخاברה برای حالت قطعی،  $O(n)$  است.

• مدل سکه عمومی:  $r = r_1 \dots r_m$  بیت‌های تصادفی مشترک هستند.)

۱. آلیس مقدار زیر را محاسبه کرده و برای باب را ارسال می‌کند:

$$\sum_{i=1}^n x_i r_i \bmod 2$$

۲. باب مقدار زیر را محاسبه کرده، با مقدار فرستاده شده توسط آلیس مقایسه می‌کند. اگر برابر بودند

۱ و در غیر این صورت صفر خروجی می‌دهد.

$$\sum_{i=1}^n y_i r_i \bmod 2$$

همچنان مشخص است که اگر این دو ورودی با هم برابر باشند، جواب حتما درست است. ولی اگر تساوی برقرار نباشد، به احتمال  $1/2$  ممکن است جواب اشتباه تشخیص داده شود و مثل حالت قبل، می‌توان با تکرار احتمال خطا را کم کرد. نکته دیگر، این است که در این مدل، فقط با فرستادن یک بیت اطلاعات نتیجه مشخص می‌شود و پیچیدگی برابر با  $O(1)$  خواهد بود.

همان‌طور که از مثال بالا مشخص است، مدل سکه عمومی از سکه خصوصی قوی‌تر است، یعنی با مدل عمومی می‌توان بدون هزینه اضافی مدل خصوصی را شبیه‌سازی کرد، ولی نه برعکس. در نتیجه:

$$R_\epsilon^{pub}(f) \leq R_\epsilon(f)$$

شبیه‌سازی مدل عمومی با مدل خصوصی نیز ممکن است، ولی با مقداری هزینه همراه خواهد بود. لم نیومن<sup>۱</sup> نتیجه این شبیه‌سازی را بیان می‌کند.

قضیه ۶. اگر  $f : \{0, 1\}^n \times \{0, 1\}^n \rightarrow Z$  باشد، برای هر مقدار  $\epsilon, \delta \geq 0$  داریم:

$$R_{\epsilon+\delta}(f) \leq R_{\epsilon}^{pub}(f) + O(\log n + \log \frac{1}{\delta}) \quad (۴-۴)$$

#### ۳-۴ مدل توزیعی

تا به حال در تمام مدل‌های بررسی شده، عنصر تصادف در عملکرد پروتکل بوده است. در مدل توزیعی<sup>۲</sup> ورودی را تصادفی فرض می‌کنند.

تعریف ۷. فرض کنید  $\mu$  یک توزیع روی  $X \times Y$  است. می‌گوییم پروتکل تصادفی توزیعی  $\Pi$  تابع  $f : X \times Y \rightarrow Z$  را با خطای  $\epsilon$  و تحت  $\mu$  محاسبه می‌کند اگر:

$$\Pr_{(x,y) \sim \mu} [\Pi(x,y) = f(x,y)] \geq 1 - \epsilon \quad \forall x \in X, y \in Y. \quad (۵-۴)$$

تکنیک‌های کمینه مدل‌های تصادفی که در بخش بعد بررسی خواهند شد، یک توزیع «دشوار» روی ورودی‌ها پیدا می‌کنند و نشان می‌دهند که هیچ پروتکل قطعی و بهینه‌ای نمی‌تواند تابع مورد نظر را تحت این توزیع محاسبه کند. این تکنیک بر قضیه زیر که توسط Yao اثبات شده است مبتنی است:

قضیه ۷. اگر  $f : X \times Y \rightarrow Z$  و  $\epsilon \geq 0$  باشد، داریم:

$$\max_{\mu} D_{\epsilon}^{\mu} = R_{\epsilon}^{pub}(f) \quad (۶-۴)$$

#### ۴-۴ کمینه‌یابی

##### ۱-۴-۴ ناهمگنی

همانطور که در قسمت قبل بیان شد، استفاده از یک توزیع سخت، و نشان دادن کمینه‌ای برای پروتکل قطعی‌ای که ورودی را تحت آن توزیع محاسبه می‌کند، با کمینه محاسبه همان تابع توسط یک پروتکل تصادفی سکه عمومی برابر است. برای استفاده از این نکته، مفهوم جدیدی را تعریف می‌کنیم:

تعریف ۸. اگر  $f : X \times Y \rightarrow Z$  و  $\mu$  یک توزیع روی  $X \times Y$  باشد، می‌توان برای هر مستطیل  $R$  ناهمگنی

<sup>1</sup>Newman's lemma

<sup>2</sup>Distributional

<sup>۱</sup> را به صورت زیر تعریف کرد:

$$disc_{\mu}(f, R) = |\mu(R \cap f^{-1}(0)) - \mu(R \cap f^{-1}(1))| \quad (۷-۴)$$

و

$$disc_{\mu}(f) = \max_R disc_{\mu}(f, R). \quad (۸-۴)$$

به صورت غیررسمی، معیار ناهمگنی پایین یعنی مستطیل‌های بزرگ تعداد تقریباً برابری صفر و یک دارند. این معیار را به یک شکل مشابه نیز می‌توان تعریف کرد. در نظر بگیرید که  $S$  یک ماتریس  $|X| \times |Y|$  است و هر درایه آن به شکل زیر محاسبه می‌شود:

$$S_{x,y} = \mu(x, y)(-1)^{f(x,y)}.$$

و برای محاسبه معیار ناهمگنی:

$$disc_{\mu}(f, R) = \left| \sum_{(x,y) \in R} S_{x,y} \right| \quad (۹-۴)$$

۴-۴-۲ محدود کردن مقیاس ناهمگنی و کمینه‌یابی

قضیه ۸. اگر برای یک تابع باینری  $f$ ، توزیع  $\mu$  وجود داشته باشد به صورتی که  $disc_{\mu}(f) \leq 2^{-c}$  باشد،  $R_{\epsilon}^{pub} = \Omega(c)$  خواهد بود.

با توجه به قضیه بالا، نیاز است که تکنیکی برای محدود کردن مقدار ناهمگنی بیابیم و از آن برای به دست آوردن کمینه‌هایی روی پیچیدگی تصادفی عمومی به دست آوریم. معروف ترین این تکنیک‌ها، تکنیک مقدار ویژه<sup>۲</sup> است.

لم ۳. برای هر ماتریس متقارن  $M$ ، ناهمگنی مستطیل  $A \times B$  حداکثر برابر با  $\lambda_{max}(M)\sqrt{|A||B|}$  است، که در آن  $\lambda_{max}$  بزرگ‌ترین مقدار ویژه تابع است. به بیان دیگر:

$$disc_{\mu}(f, R) \leq \lambda_{max}(M)\sqrt{|A||B|} \quad (۱۰-۴)$$

و از این تکنیک می‌توان برای به دست آوردن مقدار ناهمگنی برای بعضی از مسائل که ماتریس متقارن دارند استفاده کرد.

<sup>1</sup>Discrepancy

<sup>2</sup>eigenvalue



## فصل پنجم

### کاربرد پیچیدگی ارتباطی در پردازش موازی

در این بخش به بررسی محل تقاطع دو علم پردازش موازی و پیچیدگی ارتباطی می‌پردازیم. برای آن که متوجه باشیم چرا پژوهشگران فعال در حوزه پردازش موازی به پیچیدگی ارتباطی اهمیت می‌دهند، لازم است مقداری در مورد پردازش موازی اطلاعات کسب کنیم. در دنیای پردازش موازی، محاسبات داخلی رایگان و محاسبات بین افراد گران است. سه پیچیدگی اصلی در دنیای پردازش موازی شامل تعداد پیغام‌های رد و بدل شده (پیچیدگی پیامی<sup>۱</sup>)، تعداد بیت‌های ردوبدل شده (پیچیدگی بیتی<sup>۲</sup>) و تعداد دورهای مخابره برای یک مساله و تعدادی کاربر در یک محیط همگام (پیچیدگی دوری<sup>۳</sup>) می‌باشد. نکته قابل توجه برای این دو دانش از جایی برمی‌آید که پیچیدگی ارتباطی از دل پردازش موازی استخراج شده‌است و همچنین در بسیاری از مسائل با هم دیگر برابر هستند. لازم است در ادامه انواع مدل‌های پیچیدگی ارتباطی  $k$  - نفره را بررسی کنیم.

---

<sup>1</sup>Message Complexity

<sup>2</sup>Bit Complexity

<sup>3</sup>Round Complexity

۵-۱ مدل‌های پیچیدگی ارتباطی  $k$  نفره

## ۵-۱-۱ مدل تخته‌سیاه

در این مدل، بازیکنان با یکدیگر از طریق یک تخته سیاه ارتباط برقرار می‌کنند. هر بازیکن در نوبت خودش حق نوشتن روی تخته سیاه را دارد و پروتکل تصمیم می‌گیرد که نوبت چه کسی است. همه بازیکنان می‌توانند تخته را مشاهده کنند. در این مدل و در هنگام شبیه‌سازی، هر بیتی که نوشته می‌شود به  $k-1$  بازیکن دیگر مخابره می‌شود.

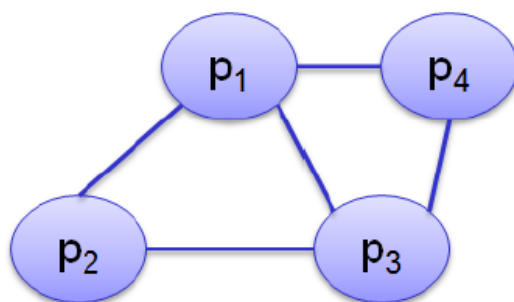
## ۵-۱-۲ مدل نفر-به-نفر

یک گراف ارتباطی<sup>۱</sup> مشخص می‌کند که هر بازیکن به چه کسی متصل است و بدون واسطه می‌تواند پیام مخابره کند. برای راحتی کار، گراف‌های ارتباطی را گراف‌های کامل در نظر می‌گیرند که در آن هر دو بازیکن با هم ارتباط دارند.

همگام: در این مدل، مخابرات در دوره‌های مجزا انجام می‌شود. در هر دور، هر بازیکن یک پیغام می‌فرستد و پیغام‌های ورودی را دریافت می‌کند.

ناهمگام: در این مدل، هیچ دور مخابره‌ای وجود ندارد و هر پیغام در مواقع نیاز فرستاده می‌شود. در این مدل هر بازیکن یک صف دارد که پیغام‌های ورودی در آن قرار می‌گیرد.

شکل ۵-۱: مثالی از یک مدل نفر-به-نفر ۴ تایی



## ۵-۱-۳ مدل هماهنگ‌کننده

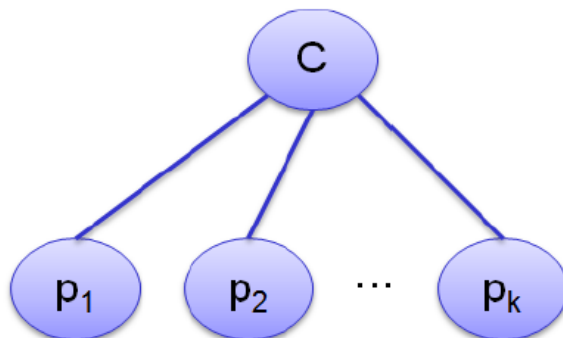
در این مدل، که یک حالت خاص از مدل نفر-به-نفر است، تمامی  $k$  بازیکن به یک نفر و فقط یک نفر دیگر متصل هستند (در مجموع  $k+1$  بازیکن) و بازیکنان از طریق این یک هماهنگ‌کننده با هم در ارتباط هستند.

<sup>1</sup>Communication Graph

همگام: در هر دور، هر بازیکن یک پیغام به هماهنگ‌کننده می‌فرستد و هماهنگ‌کننده به آنها پاسخ می‌دهد.

ناهمگام: ارتباط دو نفره بین هرکس از طریق هماهنگ‌کننده و در هر زمان انجام می‌شود.

شکل ۵-۲: مثالی از یک مدل هماهنگ‌کننده  $k$ -تایی



## ۵-۲ قرینه‌سازی

قرینه‌سازی<sup>۱</sup> یک تکنیک برای یافتن کمینه در بازی‌های  $k$ -نفره است. [۱۳] به طور خلاصه، این روش شامل کاهش پروتکل  $f_k(x_1, x_2, \dots, x_k)$  به پروتکل  $f_2(x, y)$  است. هدف از این تکنیک این است که نشان دهیم محاسبه  $f_k$  حداکثر به اندازه  $k$  برابر  $f_2$  است. در این مدل، توجه ما روی یک مدل هماهنگ‌کننده با وضعیت تصادفی سکه عمومی<sup>۲</sup> است.

### ۵-۲-۱ تکنیک

با توجه به یک پروتکل  $P_k$  که تابع  $f_k$  را محاسبه می‌کند، یک پروتکل  $P_2$  که تابع  $f_2$  را محاسبه می‌کند می‌سازیم. در مرحله اول باید یک توزیع سخت<sup>۳</sup> از ورودی‌های  $f_2$  داشته باشیم. آلیس و باب، با استفاده از این توزیع،  $k$  ورودی  $I_1, I_2, \dots, I_k$  را بسازد. به هر  $k$  ورودی که از آن توزیع سخت استخراج شده است، قرینه گفته می‌شود اگر هر دوتای آنها را بتوان با هم جابه‌جا کرد بدون آن که توزیع را عوض کنیم. در این مرحله، آلیس و باب با استفاده از این  $k$  ورودی، پروتکل  $P_k$  را محاسبه می‌کنند.

شبیه‌سازی. آلیس یکی از بازیکنان را به صورت رندوم انتخاب می‌کند. چون وضعیت تصادفی عمومی است، باب می‌داند که آلیس کدام بازیکن را انتخاب کرده است پس او بقیه بازیکنان را برمی‌دارد و سپس هر دو رفتار بازیکنان را شبیه‌سازی می‌کنند. فرض کنید که آلیس بازیکن  $P_i$  را انتخاب کرده است. در در نتیجه هر پیغامی

<sup>۱</sup>Symmetrization

<sup>۲</sup>Public Coin Randomization

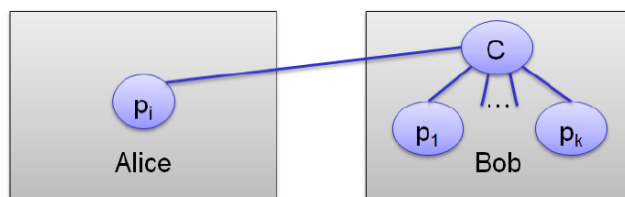
<sup>۳</sup>Hard Distribution

که بین بازیکن  $i$  و بقیه بازیکنان رد و بدل می‌شود، بین آلیس و باب هم رد و بدل می‌شود. بقیه پیغام‌ها در این مدل به عنوان پیچیدگی ارتباطی حساب نمی‌شوند.

کمینه هزینه پروتکل  $P_2$  را  $Cost(P_2)$  و هزینه پروتکل  $P_k$  را  $Cost(P_k)$  بنامید. از آنجایی که ورودی‌ها قرینه هستند، از نظر امید ریاضی،  $P_2$  حداکثر  $1/k$  کل بیت‌هایی را مخابره می‌کند که  $P_k$  می‌کرده است. این بدین علت است که به صورت یکنواخت، امکان انتخاب هر بازیکن دیگر برای آلیس وجود داشت، در نتیجه امید ریاضی یالی که آلیس در مدل گرافی معادل انتخاب کرده‌است،  $1/k$  کل یال‌ها اطلاعات رد و بدل می‌کرده است. در نتیجه

$$E[Cost(P_2)] \leq (1/k)E[Cost(P_k)] \quad (۱-۵)$$

شکل ۵-۳: شبیه‌سازی مدل  $k$ -تایی



۵-۲-۲ پیشنهادها

همانطور که در قسمت ۴-۳ بیان شد، پیچیدگی ارتباطی توزیعی  $D_\epsilon^\mu$  با خطای  $\epsilon$  و توزیع ورودی  $\mu$  به صورت زیر تعریف می‌شود:

$$D_\epsilon^\mu = \min_P \max_x Cost(P(x))\mu(x) \quad (۲-۵)$$

در حالی که  $Cost(P(x))$  هزینه پروتکل  $P$  بر روی ورودی  $x$  است. به عبارتی دیگر،  $D_\epsilon^\mu$  بدترین حالت مخابره برای یک ورودی (بدترین ورودی) برای بهترین پروتکل است.

از آنجایی که مخابره  $k$ -نفره برابر امید مخابره ۲ نفره است، مفهومی از امید باید در پیچیدگی ارتباطی تعریف شود. امید پیچیدگی ارتباطی توزیعی  $E[D_\epsilon^\mu]$  با خطای  $\epsilon$  و توزیع  $\mu$  به صورت زیر است

$$E[D_\epsilon^\mu] = \min_P E_x[Cost(P(x))\mu(x)]. \quad (۳-۵)$$

<sup>1</sup>Distributional communication complexity

در نتیجه این تعریف و قضیه مین و مکس<sup>۱</sup> می توان گفت:

$$R_\epsilon \geq D_\epsilon^\mu \geq E[D_\epsilon^\mu] \quad (۴-۵)$$

حال با اتکا به قضیه نظریه اطلاعاتی زیر، تعدادی مثال مطرح می کنیم. [۱۳]  
 قضیه: فرض کنید آلیس و باب هر کدام یک ورودی یکنواخت  $n$  بیتی دارند. برای آن که آلیس با احتمال  $(1 - \epsilon)$  ورودی باب را بداند، لازم است امیداً باب  $(1 - \epsilon)n$  بیت بفرستد.

### ۳-۵ مثال

۱-۳-۵  $k - XOR$ : هماهنگ کننده

مساله  $k - XOR$  در مدل هماهنگ کننده به صورت زیر است:

۱. بازیکن ها  $p_1, p_2, p_3, \dots, p_k$  هستند.

۲. ورودی ها رشته های  $n$  بیتی به صورت  $I_1, I_2, I_3, \dots, I_k$  هستند.

۳. خروجی یک رشته  $n$  بیتی است که بیت  $i$  م،  $XOR$  بیت  $i$  م ورودی هاست.

هدف استفاده از پروتکل  $P_k$  برای طراحی پروتکل  $P_2$  است. بعد از آن، از کمینه پروتکل  $2 - XOR$  استفاده می کنیم تا یک کمینه روی مخابره  $k$  - نفره بیابیم.

ساخت ورودی های قرینه برای  $P_k$ : اول از همه باید یک توزیع سخت برای ورودی مخابره دونفره پیدا کنیم که به اندازه کافی برای یافت کمینه این مخابره سخت باشد. برای این کار توزیع یکنواخت به اندازه کافی سخت است. در نتیجه، آلیس به صورت یکنواخت تصادفی بازیکن  $p_i$  را انتخاب می کند و  $I_i$  را برابر با ورودی خودش یعنی  $x$  قرار می دهد. باب نیز به صورت تصادفی  $k - 1$  رشته  $n$  بیتی را به صورتی می سازد که

$$\{I_j \mid j \neq i\} \quad s.t. \quad XOR(I_1, I_2, \dots, I_{i-1}, I_{i+1}, \dots, I_k) = y \quad (۵-۵)$$

که در آن  $y$  ورودی باب است. ورودی ها به وضوح قرینه هستند. آلیس بازیکن  $i$  م و باب همه  $k - 1$  بازیکن دیگر و همینطور هماهنگ کننده را شبیه سازی می کند.

کمینه: از آنجایی که ورودی ها قرینه هستند، امید مقدار مخابره بین  $p_i$  و هماهنگ کننده  $1/k$  برابر کل مخابره پروتکل  $P_k$  است. در نتیجه،  $Cost(P_2) \leq (1/k)E[Cost(P_k)]$  است و یا  $Cost(P_k) \geq kE[Cost(P_2)]$ . حال لازم است یک کمینه برای  $kE[Cost(P_2)]$  بیابیم.

<sup>1</sup>Yao's Minmax Theorem

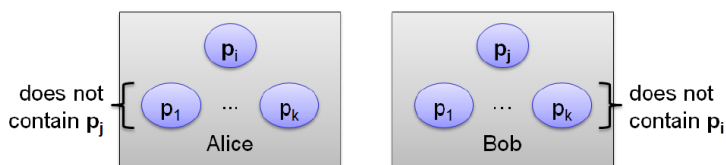
با داشتن  $XOR(x, y)$ ، آلیس می‌تواند ورودی باب یعنی  $y$  را بازیابی کند. طبق قضیه نظریه اطلاعاتی، باب باید امیداً  $n$  بیت بفرستد که یعنی  $n \leq E[Cost(P_2)]$  و در نتیجه،  $Cost(P_k) \geq nk$ .

۵-۳-۲:  $k - XOR$ : تخته‌سیاه

مساله مثال قبل را در نظر بگیرید. مدل ارتباطی را به مدل تخته‌سیاه عوض کنید. ساخت ورودی‌ها و شبیه‌سازی با تغییر مدل نیز تغییر می‌یابند.

آماده‌سازی شبیه‌سازی: آلیس و باب هرکدام به صورت یکنواخت تصادفی بازیکن  $p_i$  و  $p_j$  را انتخاب می‌کنند ( $i \neq j$ ). آلیس همه بازیکن‌ها به جز بازیکن  $j$  را شبیه‌سازی می‌کند. همینطور باب، همه بازیکن‌ها به جز بازیکن  $i$  را شبیه‌سازی می‌کند. در نتیجه، هر بازیکنی به جز  $i$  و  $j$  توسط هر دو طرف شبیه‌سازی می‌شود.

شکل ۵-۴: شبیه‌سازی دوتایی آلیس و باب برای پروتکل  $k - XOR$  در مدل تخته‌سیاه



ساخت ورودی قرینه مانند حالت قبل، توزیع یکنواخت یک توزیع سخت محسوب می‌شود. آلیس مقدار  $I_i$  را برابر با  $x$  قرار می‌دهد. باب نیز مقدار  $I_j$  را برابر با  $y$  قرار می‌دهد. بقیه ورودی‌ها به صورت تصادفی با استفاده از سکه عمومی مشترک مقداردهی می‌شوند. مشخص است که ورودی‌های ساخته شده قرینه هستند.

اجرای شبیه‌سازی: هر بار بازیکن  $i$  م‌بیتی را روی تخته می‌نویسد، بقیه افراد باید مقدار نوشته شده را بتوانند بخوانند. اما از آنجایی که باب  $p_i$  را شبیه‌سازی نمی‌کند، تا زمانی که آلیس همان چیزی که  $p_i$  می‌نویسد را روی تخته‌سیاه ننویسد، یک بازیکن مانند  $p_j$  از مخابرات  $p_i$  آگاه نمی‌شود. پس هرگاه در پروتکل  $P_k$ ، اطلاعاتی را مخابره کند، آلیس نیز باید آن را مخابره کند. این مساله برای باب و بازیکن  $p_j$  نیز صادق است. ولی مخابرات بقیه بازیکنان نیازی به نوشته شدن روی تخته‌سیاه ندارد چرا که هر دو طرف آن‌ها را شبیه‌سازی می‌کنند.

پیچیدگی ارتباطی: از آنجایی که ورودی‌ها قرینه هستند و آلیس و باب تنها زمانی مخابره می‌کنند که دوتا از بازیکنان مخابره می‌کنند، امید مقدار مخابره برای  $P_2$  حداکثر  $\frac{k}{2}$  برابر مخابره برای  $P_k$  است. در نتیجه،  $E[Cost(P_2)] \leq (2)Cost(P_k)$  است که برابر است با  $E[Cost(P_2)] \geq (k/2)Cost(P_k)$ . طبق قضیه نظریه اطلاعات،  $E[Cost(P_2)] = n$ . در نهایت،  $Cost(P_k) \geq \frac{nk}{2}$ .

مساله اشتراک<sup>۱</sup> به صورت گسترده در مخابرات دوتایی استفاده شده است و بسیاری از مسائل به این مساله کاهش یافته‌اند. این درحالی است که نسخه  $k$ -تایی این مساله، یعنی مساله‌ای که  $k$  بازیکن خروجی ۱ می‌دهند اگر و تنها اگر همه بازیکنان در یک عضو اشتراک داشته باشند، این خاصیت را ندارد. برای این که این مساله را نشان دهیم، یک پروتکل با پیچیدگی  $O(nk)$  طراحی می‌کنیم. در نهایت مساله‌ای را معرفی می‌کنیم که کمینه بیشتری دارد. [۴]

در مرحله اول، همه بازیکنان درخت پوشای کمینه گراف ارتباطی را به صورت محلی محاسبه می‌کنند. یک بازیکن دلخواه مانند  $p_{root}$  را به عنوان ریشه درخت در نظر بگیرید. هر بازیکنی که برگ است، ورودی خود را به پدر خود می‌فرستد. پدر، اشتراک مجموعه خود و فرزندانش را محاسبه می‌کند و برای پدر خود می‌فرستد. این درخت پوشای کمینه دقیقاً  $k-1$  یال دارد که هر کدام  $n$  بیت داده جابه‌جا می‌کنند. در پایان پروتکل،  $p_{root}$  اشتراک همه را می‌داند و می‌تواند خروجی را به همه اطلاع دهد. پیچیدگی ارتباطی این پروتکل،  $(k-1)(n+1)$  است.

حال مساله‌ای مانند  $k-DIST$ ، که در آن بازیکنان خروجی ۱ می‌دهند اگر و تنها اگر هر دوتایی از ورودی‌ها متمایز باشد، در نظر بگیرید. می‌توان نشان داد که پروتکل بهینه برای این مساله وقتی است که همه بازیکنان ورودی‌شان را برای یک دیگر می‌فرستند. در یک گراف ارتباطی با قطر  $d$ ، یعنی بلندترین کوتاه‌ترین مسیر، تعداد مخابره مورد نیاز برای آگاه شدن همه از ورودی یک دیگر برابر با  $O(nkd)$  است. اگر گراف کامل باشد،  $d$  برابر با ۱ است و بزرگترین مقدار می‌تواند  $k$  باشد که کمینه  $O(nk^2)$  را می‌دهد.

از دیگر مسائل سخت می‌توان به مسائلی اشاره کرد که در یک مخابره  $k$ -تایی، هر بازیکن یک زیرگراف مانند  $H_k$  از یک گراف مانند  $G$  را داشته باشند و بخواهند تصمیم بگیرند که درجه یک راس مشخص در  $G$  چند است، آیا  $G$  دور دارد یا خیر، مثلث دارد یا خیر، متصل است یا خیر و آیا دوبخشی است یا خیر. [۴]

<sup>۱</sup>Disjointness

## فصل ششم

### مکانیک کوانتومی

در این فصل می‌خواهیم برای کسانی که آشنایی قبلی با مکانیک کوانتومی ندارند، اصول و ساختمان این نظریه را توضیح دهیم. مطالب این بخش از [۵، ۸، ۱۲] اقتباس شده است.

#### ۶-۱ مقدمه‌ای در مورد مشاهده و اندازه‌گیری

نخستین کاری که برای شناختن یک شی انجام می‌دهیم آن است که سعی می‌کنیم خاصیت‌های معینی از آن را مثل رنگ، اندازه، جرم، سرعت یا تکانه و یا بار الکتریکی و نظایر آن را اندازه بگیریم. بعضی از این خصوصیات بطور مستقیم و بعضی از آن‌ها با واسطه‌های تجربی و نظری مشخص می‌شوند. به عنوان مثال برای اندازه‌گیری سرعت باریکه‌ای از ذرات باردار می‌توانیم آن‌ها را از دو میدان مغناطیسی و الکتریکی عمود بر هم بگذرانیم. در این دستگاه اندازه‌گیری اندازه میدان الکتریکی و مغناطیسی را چنان تغییر می‌دهیم که مسیر باریکه ذرات هیچ انحرافی حاصل نکند. در این صورت با استفاده از قوانین الکترومغناطیس و با اعتماد به این قوانین که در مجموعه وسیعی از پدیده‌ها مشاهدات متقابل به صحت آنها مطمئن شده‌ایم، سرعت ذرات را به صورت رابطه  $v = \frac{E}{B}$  استنتاج می‌کنیم. طبیعی است که در اینجا اندازه‌گیری سرعت کاملاً به صورت غیرمستقیم و با اتکا بر یک چارچوب نظری بدست آمده است. در همین آزمایش می‌توانیم سرعت ذرات دیگری که انحراف‌های دیگری



پیدا می‌کنند نیز پیدا کنیم. بنابراین، این دستگاه یک نوع اندازه‌گیری است که ذرات را برحسب سرعت آن‌ها از یک‌دیگر «جدا» می‌کند.

از مثال بالا دو نتیجه می‌توان گرفت. اول آنکه هر نوع اندازه‌گیری درواقع یک فرآیند است که طی آن یک دستگاه میکروسکوپی ذرات را برحسب یک خاصیت معین از یک‌دیگر جدا می‌کند. ثانیاً هر نوع اندازه‌گیری و تفسیر نتایج آن متکی بر یک نظریه است که بدون آن نظریه نمی‌توان به نتایج آن اندازه‌گیری معنا و مفهومی نسبت داد.

در دنیای میکروسکوپی بعضی از خواص اشیاء هر نوع مقداری می‌توانند اتخاذ کنند؛ مثل جرم اندازه و تکانه و نظایر آن. بعضی از خواص دیگر تنها مقادیر گسسته‌ای را به خود می‌گیرند مثل تعداد یا امتداد قطبش نور. بنابراین گسسته بودن یا پیوسته بودن به خودی خود یک خاصیت منحصر بفرد میکروسکوپی نیست. آنچه که ویژگی منحصر به فرد دنیای میکروسکوپی است چیست؟

## ۶-۲ معنای حالت

برای تعیین کامل حالت ذرات می‌بایست تمام خاصیت‌های سازگار باهم آنها را تعیین کرد ولی برای سادگی روابط بعدی، فرض می‌کنیم که ذرات فقط با یک خاصیت معین می‌شوند. بنابراین می‌توانیم تصور کنیم که ذرات در یکی از حالت‌های  $\{|a_1\rangle, |a_2\rangle, \dots, |a_N\rangle\}$  (اگر بلافاصله از دستگاه اندازه‌گیری  $A$  بیرون آمده‌اند) قرار دارند و یا در یکی از حالت‌های  $\{|b_1\rangle, |b_2\rangle, \dots, |b_N\rangle\}$  قرار دارند (اگر بلافاصله از دستگاه اندازه‌گیری  $B$  بیرون آمده‌اند) و نظایر آن. آزمایش‌گر می‌تواند ذرات را که در حالت  $|\Psi\rangle$  قرار دارند را از دستگاه اندازه‌گیری  $A$  عبور دهد. در این جا، اولین وجه افتراق دنیای کوانتومی خود را آشکار می‌سازد و آن این است که با وجودی که تمامی شرایط آزمایش یکسان است و تمام دقت‌های لازم اعمال شده است، نتیجه این اندازه‌گیری هربار یک چیز است. یعنی ذره در حالت  $|\Psi\rangle$  به طور تصادفی خود را در حالت‌های  $|a_1\rangle$  تا  $|a_N\rangle$  نشان خواهد داد.

مرحله دوم آن است که می‌توان جداولی از همه احتمالات گذار برای خصوصیات مختلف تعیین کرد. از این به بعد احتمال گذار حالت  $|a\rangle$  به  $|b\rangle$  را به صورت زیر نشان می‌دهیم:

$$P(b, a) \quad (۶-۱)$$

خواص زیر برای این تابع احتمال برقرار است:

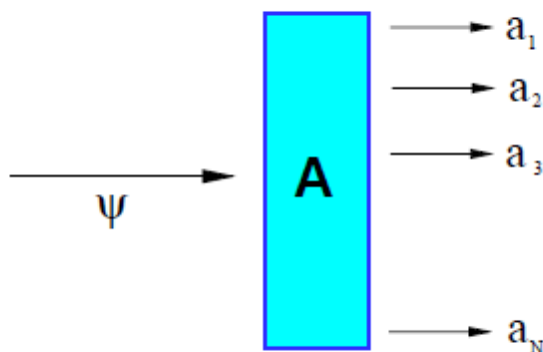
$$\sum_{j=1}^N P(b_j, a) = 1 \quad ۱.$$

$$P(a_i, b_j) = P(b_j, a_i) \quad ۲.$$

$$P(a_i, a_j) = \delta_{ij} \quad ۳.$$

این رابطه به این معناست که ذره ای که در یک آزمایش  $A$  در حالت  $a_i$  جدا شده است، اگر دوباره تحت همان آزمایش قرار گیرد (البته بدون اینکه زمان بر آن اثر بگذرد) باز هم همان خصلت  $a_i$  را از خود نشان خواهد داد.

شکل ۶-۱: دستگاه اندازه گیری  $A$  ذرات را به حالت های مختلف  $|a_1\rangle$  تا  $|a_N\rangle$  تجزیه می کند. حالت  $|\Psi\rangle$  یک حالت ناشناخته است.



### ۳-۶ تداخل

حال به مهم ترین خصلت دنیای میکروسکوپی می رسیم. در شکل درست چپ یک فیلامان حرارتی وجود دارد که بخاری از ذرات بار یونیزه را از خود متصاعد می کند. میدان های الکتریکی به همراه مجموعه ای از یکسوکننده ها ذرات در حالت  $|P_y\rangle$  را جدا می کنند. شکاف پایینی مسدود شده است. هر ذره که از شکاف بالایی بگذرد در حالت  $|1\rangle$  قرار می گیرد و سپس روی پرده در حالت  $|y\rangle$  که نقطه نشستن آن روی پرده را (توسط یک آشکارساز) نشان می دهد، ثبت می شود. هرگاه این آزمایش را برای مدت طولانی انجام دهیم، در اثر نشستن ذرات روی یک پرده - مثلاً یک پرده فلورسانس - طرح  $I_1$  بوجود خواهد آمد.  $I_1(y)$  درواقع متناسب با تعداد ذرات نشسته شده روی نقطه  $y$  است. درحقیقت داریم

$$I_1(y) = P(y, 1)P(1, P_y) \quad (۲-۶)$$

حال آزمایش را در حالتی که تنها شکاف پایینی باز باشد تکرار می کنیم. به همان معنا رابطه پیشین داریم:

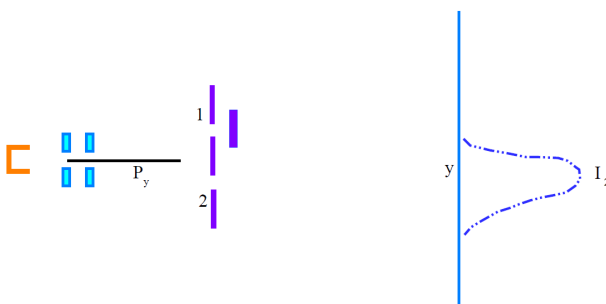
$$I_2 = P(y, 2)P(2, P_y) \quad (۳-۶)$$

شکل ۶-۲: آزمایش دو شکاف: تنها شکاف بالایی باز است و طرح  $I_1$  روی پرده مشاهده می‌شود.



سپس آزمایش را در حالتی تکرار می‌کنیم که هر دو شکاف باز هستند. انتظار داریم این بار رابطه زیر برقرار

شکل ۶-۳: آزمایش دو شکاف: تنها شکاف پایینی باز است و طرح  $I_2$  روی پرده مشاهده می‌شود.



باشد:

$$I_{1+2} = P(y, 1)P(1, P_y) + P(y, 2)P(2, P_y) = I_1 + I_2 \quad (۶-۴)$$

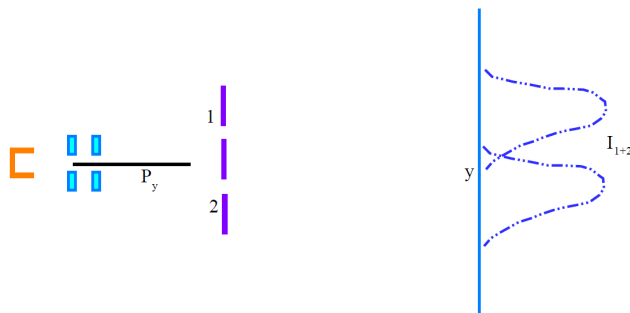
و شکل ۶-۴ مشاهده شود.

اما آنچه که در آزمایش می‌بینیم آن است که ذرات مطابق با طرح  $I_{12}$  که یک طرح تداخلی است روی پرده می‌نشینند. (شکل ۶-۵)

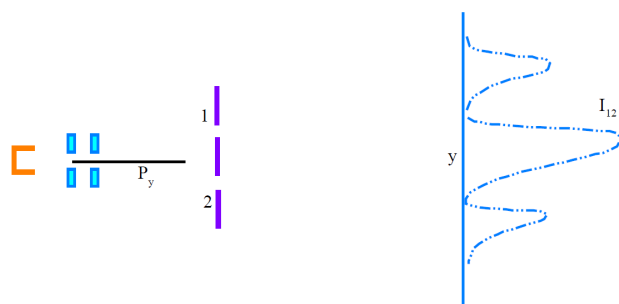
در این طرح چندین نکته جالب و شگفت‌انگیز وجود دارد:

- الف: در جاهایی از پرده، بازکردن هر دو شکاف با هم، باعث شده است که تعداد حتی کم‌تری ذرات نسبت به وقتی که تنها یک شکاف باز بود به آن نقطه برسد. در جاهایی نیز مثل وسط پرده تعداد ذرات دو برابر آن مجموع تعداد ذراتی است که در صورت باز بودن هر کدام از شکاف‌ها به تنهایی به پرده می‌رسید.
- ب: برعکس در جاهای دیگری از ذرات باز کردن هر دو شکاف باعث شده است که تعداد ذراتی که به آن

شکل ۴-۶: آزمایش دو شکاف: هر دو شکاف باز هستند و طرح  $I_{1+2}$  روی پرده مورد انتظار است.



شکل ۵-۶: آزمایش دو شکاف: هر دو شکاف باز هستند و طرح  $I_{1+2}$  روی پرده رخ می‌دهد.



نقطه می‌رسد، بیشتر از مجموع ذراتی شود که در صورتی که هر دو شکاف باز می‌بود به آن نقطه می‌رسید.

ج: شکل این طرح تداخلی با رقیق کردن چشمه ذرات بطوری که در هر آن فقط و فقط یکی از ذرات از شکاف ها عبور کند، تغییر نمی‌کند. بنابراین نمی‌توان گفت که ذرات هنگام باز بودن هر دو شکاف با یکدیگر طوری برهم‌کنش می‌کنند که اثرات بالا دیده شود.

د: هرکدام از ذرات را روی پرده نهایی به طور کامل توسط آشکارساز ثبت می‌کنیم و آشکارساز ما ماهیت ذره‌ای آن را به خوبی تایید می‌کند. بنابراین نمی‌توان گفت که ذره در این آزمایش مثل یک موجود پیوستار عمل کرده است و بخشی از آن از یک شکاف و بخشی دیگر از یک شکاف دیگر عبور کرده است.

ه: ممکن است که ذره در حین عبور از دو شکاف به صورت یک پیوستار (چیزی شبیه یک ابر) رفتار می‌کند و سپس در انتها موقع نشستن روی پرده تمامی این ابر دوباره به صورت یک ذره کوچک متمرکز می‌شود. برای پی بردن به راز رفتار ذره می‌توان درست پشت شکاف ها آشکارسازهایی گذاشت تا بفهمیم که ذره درست موقع عبور از شکاف ها چگونه رفتار می‌کند. متوجه می‌شویم که در آنجا هم ذره به صورت یک ابر رفتار نمی‌کند بلکه به تمامی (با تمام جرم و بار و دیگر خصوصیات خود) در آشکارساز ثبت می‌شود. تلاش ما برای پی بردن به راز رفتار ذره باعث شده است که طرح تداخلی  $I_{12}$  از بین برود و جای خود را به طرح معمولی داده است.

و : منطق ساده به ما حکم می‌کند که هر ذره‌ای که روی پرده می‌نشیند یا از شکاف ۱ آمده است یا از شکاف ۲. تعداد ذراتی که روی پرده نشسته‌اند برابرند با تعداد ذراتی که از شکاف ۱ آمده‌اند + تعداد ذراتی که از شکاف ۲ آمده‌اند. اما تعداد ذراتی که از شکاف ۱ عبور کرده و روی پرده نشسته‌اند برابر است با  $I_1$  و تعداد ذراتی که از شکاف ۲ عبور کرده و روی پرده نشسته‌اند برابر است با  $I_2$ . پس حتی بدون مشاهده نزدیکی شکاف‌ها می‌توانیم حکم کنیم که طرحی که سرانجام روی پرده ثبت می‌شود، می‌بایست برابر با  $I_1 + I_2$  باشد. در صورتی که اتم‌ها مثل توپ فوتبال عمل کرده باشند استدلال بالا صحیح است. درمقابل ایراداتی از این نوع که «بالاخره الکترون یا از این شکاف عبور می‌کند و یا از آن شکاف و در این صورت نمی‌بایست طرح تداخلی داشته باشیم» تنها می‌توانیم به این بسنده کنیم که بگوییم وقتی سوال عبور الکترون از شکاف‌ها را به صورت عملی و تجربی بپرسیم می‌بینیم که طرح تداخلی واقعا از بین می‌رود و ما به تناقضی بر نمی‌خوریم. بنابراین می‌گوییم که وقتی الکترون را مشاهده نمی‌کنیم، نمی‌توانیم مسیری برای آن تعریف کنیم.

نخستین کار ما آن است که ببینیم آیا نظمی در طرح تداخلی شکل وجود دارد یا نه. به نظر می‌رسد که طرح  $I_{12}$ ، یک طرح ناشی از تداخل امواج باشد. بنابراین، برای پیدا کردن نظمی که در جستجوی آن هستیم به تجربیات خود در مورد امواج بازمی‌گردیم. اگر  $I_1$  را مربع یک عدد مختلط  $\phi_1$  موسوم به دامنه احتمال و  $I_2$  را نیز مربع یک عدد مختلط  $\phi_2$  بگیریم چه بسا که  $I_{12}$  مربع  $\phi_1 + \phi_2$  باشد، چنان که در مورد امواج چنین است:

$$I_1 := |\phi_1|^2 \quad I_2 := |\phi_2|^2 \quad I_{12} := |\phi_{12}|^2 \quad (۵-۶)$$

به طوری که

$$\phi_{12} = \phi_1 + \phi_2 \quad (۶-۶)$$

و در معادله موج زیر، جملات سوم و چهارم که به جملات تداخلی موسوم هستند می‌توانند رفتار موجی ذرات را توجیه کنند:

$$I_{12} = I_1 + I_2 + \phi_1 \phi_2^* + \phi_2 \phi_1^* \quad (۷-۶)$$

ولی باید توضیح دهیم این اعداد مختلط چه هستند. فرایند تغییر حالت در این وضعیت، نباید به حالاتی که یک الکترون در میانه را طی می‌کند توجهی کند، پس متغیر  $\phi_{12}$  دامنه احتمالی است که یک حالت اولیه را به یک حالت نهایی می‌برد:

$$\phi_{12} = \langle y | P_y \rangle \quad (۸-۶)$$

$$\phi_1 = \langle y|1\rangle \langle 1|P_y\rangle \quad (۹-۶)$$

$$\phi_2 = \langle y|2\rangle \langle 2|P_y\rangle \quad (۱۰-۶)$$

توجه کنید که از نمادگذاری فوق منظوری از ضرب داخلی نداریم. در نتیجه:

$$\langle y|P_y\rangle = \langle y|1\rangle \langle 1|P_y\rangle + \langle y|2\rangle \langle 2|P_y\rangle \quad (۱۱-۶)$$

این رابطه، اصل رابطه‌ای است که ساختمان نظری مکانیک کوانتومی بر اساس آن بیان می‌شود.

$$\langle c_k|a_i\rangle = \sum_j \langle c_k|b_j\rangle \langle b_j|a_i\rangle \quad (۱۲-۶)$$

پس برای شکل مشخص است که می‌توانیم با آزمایش‌های مکرر، مقدار احتمال‌های زیر را حساب کنیم و داخل یک بردار به شکل زیر نشان دهیم:

$$|\Psi\rangle_A = \begin{pmatrix} \langle a_1|\Psi\rangle \\ \langle a_2|\Psi\rangle \\ \vdots \\ \langle a_N|\Psi\rangle \end{pmatrix} \quad (۱۳-۶)$$

شاخص  $A$  برای یادآوری آن است که اعداد داخل این بردار از اندازه‌گیری‌های  $A$  به دست آمده است.

با توجه به قانون برابری احتمال

$$P(a,b) = P(b,a) \longleftrightarrow \langle a|b\rangle = \langle b|a\rangle^* \quad (۱۴-۶)$$

پس طبق رابطی کلی زیر

$$\langle b_j|\Psi\rangle = \sum_i \langle b_j|a_i\rangle \langle a_i|\Psi\rangle \quad (۱۵-۶)$$

می‌توان شاخص‌های اندازه‌گیری را حذف کرد و اطمینان دهیم که حالت ذره توسط بردار  $\Psi$  توصیف شده است. با توجه به این که مقادیر بردار اندازه‌گیری احتمال هستند، ضرب کردن همه مقادیر در یک فاز، احتمالات را در یک شاخص اندازه‌گیری عوض نخواهد کرد.

## ۴-۶ معادله شرودینگر

$$i\hbar \frac{\partial \psi}{\partial t} = H\psi \quad (۱۶-۶)$$

معادله شرودینگر<sup>۱</sup> نقش قوانین نیوتن در فیزیک کوانتوم را دارد. برای فهمیدن این معادله با فرمول بندی همیلتونی مکانیک کلاسیک<sup>۲</sup> شروع می‌کنیم.

## ۱-۴-۶ مکانیک همیلتونی

ذره‌ای با جرم  $m$  را در نظر بگیرید که در یک فضای یک بعدی در حرکت است. مکان این ذره را با  $q$  و تکانه<sup>۳</sup> آن را با  $p$  نمایش می‌دهیم و فرض می‌کنیم که ذره در پتانسیل  $V = V(q, t)$  قرار دارد. در این صورت انرژی کل ذره برابر است با

$$H = T + V \quad (۱۷-۶)$$

که  $T = \frac{p^2}{2m}$  انرژی جنبشی آن است. دو معادله زیر را در نظر بگیرید.

$$\begin{cases} \dot{q} = \frac{\partial H}{\partial p} \\ \dot{p} = -\frac{\partial H}{\partial q} \end{cases} \quad (۱۸-۶)$$

از آنجا که  $V$  مستقل از  $p$  است، داریم

$$\frac{\partial H}{\partial p} = \frac{\partial T}{\partial p} = \frac{p}{m} \quad (۱۹-۶)$$

و لذا معادله اول چیزی جز تعریف تکانه  $p = m\dot{q}$  نیست. به طور مشابه از آنجا که  $T$  مستقل از  $q$  است از معادله دوم به دست می‌آوریم

$$\dot{p} = -\frac{\partial V}{\partial q}. \quad (۲۰-۶)$$

در نتیجه از ترکیب این دو داریم

$$m\ddot{q} = -\frac{\partial V}{\partial q} \quad (۲۱-۶)$$

که همان قانون دوم نیوتن است. در واقع معادله شرودینگر، فرمول بندی معادلی با  $F = ma$  است که به آن فرمول بندی همیلتونی گفته می‌شود و کل مکانیک کلاسیک را می‌توان براساس آن پایه ریزی کرد.

<sup>۱</sup>Schrodinger Equation

<sup>۲</sup>Hamiltonian Mechanics

<sup>۳</sup>momentum

## ۵-۶ اصول مکانیک کوانتومی ۱-۵-۶ اصل اول - فضای حالات

به هر سیستم فیزیکی یک فضای هیلبرت متناظر است. حالت سیستم (در هر لحظه از زمان) با یک بردار ناصفر در فضای هیلبرت مشخص می‌شود. دو بردار که ضریبی از یکدیگر باشند یک حالت فیزیکی را بیان می‌کنند. بنابراین حالت سیستم را می‌توان با یک بردار به طول یک (بردار واحد) مشخص کرد. فضای هیلبرت فضای برداری است که دارای ضرب داخلی باشد و نسبت به نرمی که ضرب داخلی آن القاء می‌کند، کامل باشد. توجه کنید که فضاهای ضرب داخلی با بعد متناهی همواره کامل هستند.

مثال ۵. کیوبیت یک سیستم کوانتومی است که فضای هیلبرت  $H$  متناظر با آن دوبعدی باشد. اگر پایه تعامد یکه  $\{|0\rangle, |1\rangle\}$  را برای این فضا در نظر بگیریم، آن‌گاه داریم:

$$\forall |\Psi\rangle \in H, \quad |\Psi\rangle = a|0\rangle + b|1\rangle, \quad a, b \in \mathbb{C} \quad (۲۲-۶)$$

$$\| |\Psi\rangle \| = 1 \Rightarrow |a|^2 + |b|^2 = 1 \quad (۲۳-۶)$$

بردار یکه  $\frac{1}{\sqrt{2}}|0\rangle + \frac{1}{\sqrt{2}}|1\rangle$  مثالی از یک حالت است که یک کیوبیت می‌تواند داشته باشد. از آنجا که این بردار ضریبی از بردار یکه  $\frac{1}{\sqrt{2}}|0\rangle - \frac{1}{\sqrt{2}}|1\rangle$  است، این دو بردار یک حالت سیستم را نشان می‌دهند. تفاوت این دو بردار یکه ضریب کلی با نرم یک است و لذا به عنوان حالات کوانتومی، یکسان هستند. توجه کنید که این دو، با حالت  $\frac{1}{\sqrt{2}}|0\rangle - \frac{1}{\sqrt{2}}|1\rangle$  متفاوت هستند چون ضریبی از یکدیگر نیستند.

یک سیستم فیزیکی که بعد فضای هیلبرت متناظر آن  $d$  باشد،  $\dim(H) = d$  یک کیودیت<sup>۱</sup> نامیده می‌شود. فضای برداری متناظر با یک کیودیت با پایه متعامد یکه زیر نمایش داده می‌شود:

$$\{|0\rangle, |1\rangle, \dots, |d-1\rangle\} \quad (۲۴-۶)$$

## ۲-۵-۶ اصل دوم - تحول زمانی

تحول زمانی یک سیستم بسته با یک عملگر یکانی که روی فضای هیلبرت عمل می‌کند، بیان می‌شود. یعنی اگر حالت سیستم در زمان  $t_0$ ،  $|\Psi\rangle$  باشد و در زمان  $t_1$ ،  $|\Psi'\rangle$  باشد، آنگاه  $U\mathcal{H} \rightarrow \mathcal{H}$  یکانی وجود دارد که  $U|\Psi\rangle = |\Psi'\rangle$  تنها وابسته به زمان است.

<sup>1</sup>Qudit



این اصل در واقع فرمول بندی دیگری از اصل شرودینگر است. این معادله تحول زمانی یک سیستم کوانتومی را به صورت زیر بیان می‌کند:

$$i\hbar \frac{d}{dt} |\Psi(t)\rangle = H |\Psi(t)\rangle \quad (۲۵-۶)$$

که در آن  $H : \mathcal{H} \rightarrow \mathcal{H}$  یک عملگر هرمیتی است. اگر  $H$  مستقل از زمان باشد، حل معادله دیفرانسیل فوق به صورت زیر است:

$$|\Psi(t)\rangle = \exp\left\{-\frac{it}{\hbar} H\right\} |\Psi(0)\rangle \quad (۲۶-۶)$$

حال اگر قرار دهیم

$$U = \exp\left\{-\frac{it}{\hbar} H\right\} \quad (۲۷-۶)$$

آنگاه معادله زمان اولیه برقرار می‌شود. می‌توان نشان داد  $U$  یکانی است و این شرایط برای حالتی که  $H$  مستقل از زمان هم نیست برقرار است.

مثال ۶. تحول زمانی یک کیوبیت با ماتریس‌های یکانی  $2 \times 2$  مانند ماتریس‌های یکانی و هرمیتی زیر که آن‌ها را ماتریس پاولی<sup>۱</sup> می‌نامیم، بیان می‌شود:

$$X = \begin{pmatrix} 0 & 1 \\ 1 & 0 \end{pmatrix} \quad (۲۸-۶)$$

$$Z = \begin{pmatrix} 1 & 0 \\ 0 & -1 \end{pmatrix} \quad (۲۹-۶)$$

این عملگرها به صورت زیر عمل می‌کنند:

$$X(a|0\rangle + b|1\rangle) = a|1\rangle + b|0\rangle \quad (۳۰-۶)$$

$$Z(a|0\rangle + b|1\rangle) = a|0\rangle - b|1\rangle \quad (۳۱-۶)$$

یک مثال دیگر، عملگر یکانی هادامارد<sup>۲</sup> است:

$$H = \frac{1}{\sqrt{2}} \begin{pmatrix} 1 & 1 \\ 1 & -1 \end{pmatrix} \quad (۳۲-۶)$$

<sup>۱</sup>Pauli Matrices

<sup>۲</sup>Hadamard Matrix

توجه کنید که  $H$  هرمیتی هم است و داریم  $H^\dagger X H = Z$  که نتیجه می‌دهد ویژه‌مقادیر  $X$  و  $Z$  یکسان است. ویژه‌بردارهای  $Z$  به علت آن که در پایه استاندارد قطری است برابر با  $\{|0\rangle, |1\rangle\}$  است و ویژه‌بردارهای  $X$  برابرند با

$$\{|+\rangle := \frac{1}{2}(|0\rangle + |1\rangle), |-\rangle := \frac{1}{2}(|0\rangle - |1\rangle)\} \quad (۳۳-۶)$$

و خواهیم داشت  $H|0\rangle = |+\rangle$  و  $H|1\rangle = |-\rangle$ .

### ۳-۵-۶ اصل سوم - اندازه‌گیری

اندازه‌گیری بر روی یک سیستم با فضای هیلبرت  $\mathcal{H}$  با مجموعه‌ای به صورت

$$\{M_i : M_i : \mathcal{H} \rightarrow \mathcal{H}, i \in S\} \quad (۳۴-۶)$$

مشخص می‌شود که :

$$\sum_{i \in S} M_i^\dagger M_i = I \quad (۳۵-۶)$$

در این صورت به  $M_i$  ها عملگرهای اندازه‌گیری می‌گویند. با انجام این اندازه‌گیری، اگر حالت سیستم  $|\Psi\rangle \in \mathcal{H}$  باشد، حاصل اندازه‌گیری با احتمال  $p(i) = \langle M_i^\dagger M_i \Psi \rangle$  برابر می‌شود. اگر هم حاصل اندازه‌گیری  $i$  باشد، حالت سیستم به

$$|\Psi'\rangle = \frac{M_i |\Psi\rangle}{\sqrt{p(i)}} \quad (۳۶-۶)$$

تغییر<sup>۱</sup> می‌کند.

مثال ۷. اندازه‌گیری یک کیوبیت، اگر  $M_i = |v_i v_i\rangle\langle v_i v_i|$  باشد، آنگاه می‌توان نشان داد که  $\{M_0, M_1, \dots, M_{d-1}\}$  یک اندازه‌گیری است. پس اگر حالت سیستم به صورت  $|\Psi\rangle = \sum_i a_i |v_i\rangle$  باشد، آنگاه

$$p(i) = \langle \Psi | M_i^\dagger M_i | \Psi \rangle = |a_i|^2 \quad (۳۷-۶)$$

مثال ۸. اندازه‌گیری تصویری: عملگرهای تصویر را در نظر بگیرید. می‌توان نشان داد که  $\{P_i : i \in S\}$  یک اندازه‌گیری است. به چنین اندازه‌گیری تصویری می‌گویند. توجه کنید که در اندازه‌گیری تصویری، برای هر  $i \neq j$  می‌توان نشان داد  $P_i P_j = 0$ . در واقع اگر تصویر  $P_i$  را با  $W_i$  نشان دهیم، آنگاه  $\mathcal{H} = \bigoplus_{i \in S} W_i$  افزایش فضا به زیرفضاهای عمود بر هم است.

<sup>1</sup>collapse

مثال ۹. یک مشاهده‌پذیر<sup>۱</sup> فیزیکی با یک عملگر هرمیتی روی فضای هیلبرت مشخص می‌شود:

$$A : \mathcal{H} \rightarrow \mathcal{H} \quad (۳۸-۶)$$

مثلا، عملگر همیلتونی متناظر با مشاهده‌پذیر انرژی است. از آنجایی که  $A$  هرمیتی است، در پایه‌های متعامد یکه، قطری می‌شود. در واقع، اگر  $\lambda_i \in \mathbb{R}$  ویژه‌مقادیر  $A$  باشند و  $W_i$ ها زیرفضاهای تولید شده توسط ویژه‌بردارهای متناظر با  $\lambda_i$  باشند، و  $P_i$  را عملگر تصویر عمود بر روی این زیرفضا بگیریم، آنگاه

$$A = \sum_i \lambda_i P_i \quad (۳۹-۶)$$

و از آنجا که بردارهای ویژه  $A$  کل  $\mathcal{H}$  را می‌پوشانند، داریم  $\sum_i P_i$ . پس اندازه‌گیری  $\{P_i\}$  را داریم. اگر حالت  $|\Psi\rangle$  را با  $\{P_i\}$  اندازه‌گیری کنیم و حاصل اندازه‌گیری  $i$  باشد، آنگاه می‌گوییم مقدار مشاهده‌پذیر  $A$  برابر با  $\lambda_i$  است. در این صورت، امید ریاضی این مشاهده‌پذیر که با  $\langle A \rangle$  نشان داده می‌شود برابر است با

$$\langle A \rangle = \sum_i \lambda_i p(i) = \sum_i \lambda_i \langle \Psi | P_i | \Psi \rangle = \langle \Psi | \sum_i \lambda_i P_i | \Psi \rangle = \langle \Psi | A | \Psi \rangle \quad (۴۰-۶)$$

#### ۴-۵-۶ اصل چهارم - سیستم‌های ترکیبی

فضای هیلبرت متناظر با یک سیستم فیزیکی که متشکل از  $n$  سیستم کوچک‌تر است از ضرب تانسوری فضاهای کوچک‌تر بدست می‌آید.

به عبارت دیگر، اگر فضای هیلبرت متناظر با سیستم  $i$ -م  $\mathcal{H}_i$  باشد، فضای هیلبرت متناظر با کل  $n$  سیستم برابر است با

$$\mathcal{H}_1 \otimes \mathcal{H}_2 \otimes \dots \otimes \mathcal{H}_n. \quad (۴۱-۶)$$

اگر سیستم  $i$ -م در حالت  $|\Psi_i\rangle \in \mathcal{H}_i$  باشد، کل سیستم در حالت

$$\Psi_1 \otimes \Psi_2 \otimes \dots \otimes \Psi_n. \quad (۴۲-۶)$$

است.

#### ۶-۶ درهم‌تنیدگی<sup>۲</sup>

دو کیوبیت  $A$  و  $B$  را در نظر بگیرید.  $\mathcal{H}_A$  و  $\mathcal{H}_B$  فضای هیلبرت معادل هر کدام از این کیوبیت‌ها با پایه‌های  $\{|0\rangle_A, |1\rangle_A\}$  و  $\{|0\rangle_B, |1\rangle_B\}$  نمایش داده می‌شود. طبق اصل چهارم، فضای هیلبرت متناظر با سیستم ترکیبی

<sup>1</sup>Observable

<sup>2</sup>Entanglement

این دو کیویت برابر است با

$$\mathcal{H}_{AB} = \mathcal{H}_A \otimes \mathcal{B} \quad (۴۳-۶)$$

که با پایه متعامد یکه

$$\{|0\rangle_A \otimes |0\rangle_B, |0\rangle_A \otimes |1\rangle_B, |1\rangle_A \otimes |0\rangle_B, |1\rangle_A \otimes |1\rangle_B\} \quad (۴۴-۶)$$

مشخص می شود که برابر است با:

$$\{|00\rangle_{AB}, |01\rangle_{AB}, |10\rangle_{AB}, |11\rangle_{AB}\}. \quad (۴۵-۶)$$

هر  $|\psi\rangle_{AB} \in \mathcal{H}_{AB}$  به صورت ترکیب خطی از چهار عضو مجموعه بالاست. اگر  $|\psi\rangle_{AB}$  را  $|\psi\rangle_{AB} = |v\rangle_A \otimes |w\rangle_B$  نمایش داد به این حالت، حالت ضربی<sup>۱</sup> و یا حالت جداپذیر<sup>۲</sup> گفته می شود. اگر چنین نمایشی برای  $|\psi\rangle_{AB}$  وجود نداشته باشد، به آن حالت درهم تنیده<sup>۳</sup> می گویند. مثال:

$$\frac{1}{\sqrt{2}}(|00\rangle + |01\rangle) = \frac{1}{\sqrt{2}}|0\rangle_A \otimes (|0\rangle_B + |1\rangle_B) \quad (۴۶-۶)$$

یک حالت ضربی است و

$$\frac{1}{\sqrt{2}}(|00\rangle + |11\rangle) \quad (۴۷-۶)$$

یک حالت درهم تنیده است.

## ۶-۷ اختتامیه ای بر عجایب مکانیک کوانتومی

کنترل اتم های منفرد و به همراه آن گسترش رایانش و اطلاعات کوانتومی منجر به پیدایش سوال های جدید در ساختمان نظری مکانیک کوانتومی شده است. تلاش برای پاسخ گویی به این سوال ها به نوبه خود منجر به غنی شدن نظریه مکانیک کوانتومی از جهات متعدد شده است. به عنوان مثال، چگونه می توان درهم تنیدگی دو حالت مثل

$$|\phi\rangle = \sqrt{0.9}|0,0\rangle + \sqrt{0.1}|1,1\rangle \quad (۴۸-۶)$$

و

$$|\phi\rangle = \sqrt{0.8}|0,0\rangle + \sqrt{0.2}|1,1\rangle \quad (۴۹-۶)$$

<sup>۱</sup>Product State

<sup>۲</sup>Seperable State

<sup>۳</sup>Entangled State

را با هم مقایسه کرد؟ مثل هر ویژگی دیگری در فیزیک باید بتوانیم به صورت کمی مقدار درهم‌تنیدگی این دو حالت را با هم مقایسه کنیم.

چگونه می‌توان بیشتر از دو ذره را در هم تنیده کرد؟ اکنون می‌توانیم جفت فوتون‌هایی را که بیش از یکصد و پنجاه کیلومتر از یکدیگر دور هستند، درهم‌تنیده کنیم. سوال این است که چگونه می‌توانیم با انجام آزمایش در هر کدام از آزمایشگاه‌ها مقدار این درهم‌تنیدگی را کم و زیاد کنیم. چگونه می‌توانیم این کار را برای جفت فوتون‌هایی که بین زمین و ماهواره‌ها درهم‌تنیده هستند انجام دهیم؟ چگونه می‌توانیم اتم‌های ساکن دور از هم را درهم‌تنیده کنیم؟ آیا می‌توانیم شبکه‌ای از حالت‌های درهم‌تنیده بین نقاط مختلف و دور از هم درست کنیم و از آن برای مبادله اطلاعات کوانتومی و فرابرد کوانتومی استفاده کنیم؟

سوالات در مورد درهم‌تنیدگی نه تنها از نظر عملی مهم هستند بلکه از نظر ریاضی نیز اهمیت دارند. ما شناخت نسبتاً کاملی از فضای هیلبرت دو کیوبیت داریم. مثلاً می‌دانیم که حالتی مثل

$$|\phi\rangle = \sqrt{0.5}|0,0\rangle + \sqrt{0.5}|1,1\rangle \quad (۵۰-۶)$$

بیشترین میزان درهم‌تنیدگی را دارد و تمام حالت‌های دیگر را با اعمال موضعی می‌توان از این حالت درست کرد. در واقع می‌توانیم با سنجش درهم‌تنیدگی تمام بردارهای فضای هیلبرت، دو ذره را مرتب کنیم. ولی به محض اینکه به فضای هیلبرت سه کیوبیت می‌رسیم با انواع سوال‌های جدید و بی‌پاسخ مواجه می‌شویم و این وضعیت ساده از بین می‌رود. هیچ ملاک مقایسه‌ای نداریم که بر مبنای آن بگوییم کدام یک از دو حالت

$$|GHZ\rangle = \sqrt{0.5}|0,0,0\rangle + \sqrt{0.5}|1,1,1\rangle \quad (۵۱-۶)$$

یا

$$|W\rangle = \sqrt{1/3}(|1,0,0\rangle + |0,1,0\rangle + |0,0,1\rangle) \quad (۵۲-۶)$$

در هم تنیدگی بیشتری دارند. این گونه مطالعات به ما کمک می‌کنند که ملاک‌های معینی برای دسته‌بندی حالت‌های فضای هیلبرت دو و چند ذره‌ای ابداع کنیم و بتوانیم فضای بسیار بزرگ هیلبرت را برای یک سیستم چند ذره‌ای بر اساس این خاصیت‌ها شناسایی کنیم. سوال‌ها و کشفیات جدید البته منحصر به درهم‌تنیدگی نیستند و حوزه‌های خیلی وسیعی را در بر می‌گیرند. در ادامه به یک نوع دیگر از این سوال‌ها می‌پردازیم.

## ۶-۸ قضایای عدم امکان در مکانیک کوانتومی

در سال‌های اخیر و بعد از توجه دوباره به مبانی مکانیک کوانتومی، معلوم شده است که بعضی اعمال را در دنیای میکروسکوپی هرگز نمی‌توان انجام داد. این قضایای عدم امکان<sup>۱</sup> اهمیت نظری و عملی بسیار زیادی دارند. به عنوان مثال قضیه عدم تکثیر<sup>۲</sup> که یک قضیه بسیار ساده ولی مهم و بنیادی در مکانیک کوانتومی است، تنها در سال ۱۹۸۲ یعنی هشتاد سال بعد از پیدایش مکانیک کوانتومی کشف شد. در زیر، یکی از این قضایای عدم امکان را، که همگی به تازگی کشف شده‌اند، بیان می‌کنیم.

### ۶-۸-۱ تکثیر حالت‌های کوانتومی

نخست ساده ترین حالت رادر نظر می‌گیریم. حالتی که می‌خواهیم آن را تکثیر کنیم با  $|\phi\rangle$  نشان می‌دهیم. حالتی را که می‌خواهیم یک نسخه از  $|\phi\rangle$  روی آن نوشته شود را با  $|b\rangle$  نشان می‌دهیم. این حالت حکم کاغذ سفید را دارد و به همین دلیل آن را حالت سفید یا حالت خالی می‌نامیم. حالت دستگاه را نیز با  $|m\rangle$  نشان می‌دهیم. فرض کنید که یک عمل یکانی وجود دارد که برای هر حالت ورودی کار زیر را انجام می‌دهد:

$$U(|\phi\rangle \otimes |b\rangle \otimes |m\rangle) = |\phi\rangle \otimes |\phi\rangle \otimes |m_\phi\rangle \quad (۶-۵۳)$$

در این صورت این دستگاه حالت یک نسخه از حالت ورودی را روی حالت سفید می‌نویسد و حالت خود دستگاه نیز بسته به حالت ورودی تغییر می‌کند. در خروجی دو نسخه از حالت  $|\phi\rangle$  داریم. حال دو حالت متعامد  $|0\rangle$  و  $|1\rangle$  را در نظر می‌گیریم. حالت زیر را هم در نظر بگیرید:

$$|+\rangle = \frac{1}{\sqrt{2}}(|1\rangle + |0\rangle) \quad (۶-۵۴)$$

حال، سه حالت  $|0\rangle$  و  $|1\rangle$  و  $|+\rangle$  را به داخل ماشین تکثیر می‌فرستیم. دقت کنید که این دو حالت لزوماً دو حالت از یک سیستم دوبرعده نیستند. در این صورت خواهیم داشت:

$$U(|0\rangle \otimes |b\rangle \otimes |m\rangle) = |0\rangle \otimes |0\rangle \otimes |m_0\rangle \quad (۶-۵۵)$$

و

$$U(|1\rangle \otimes |b\rangle \otimes |m\rangle) = |1\rangle \otimes |1\rangle \otimes |m_1\rangle \quad (۶-۵۶)$$

و

$$U(|+\rangle \otimes |b\rangle \otimes |m\rangle) = |+\rangle \otimes |+\rangle \otimes |m_+\rangle \quad (۶-۵۷)$$

<sup>۱</sup>No go theorems

<sup>۲</sup>No Cloning Theorem

اما هرگاه تساوی سوم را بسط دهیم و ازدو رابطه اول و خطی بودن مکانیک کوانتومی استفاده کنیم به رابطه زیر می‌رسیم:

$$|0\rangle|0\rangle|m_0\rangle + |1\rangle|1\rangle|m_1\rangle = \frac{1}{\sqrt{2}}(|0\rangle|0\rangle + |0\rangle|1\rangle + |1\rangle|0\rangle + |1\rangle|1\rangle)|m_+\rangle \quad (۵۸-۶)$$

هرگاه طرفین این رابطه را یک‌بار در  $\langle 0|0\rangle$  و یک‌بار در  $\langle 1|1\rangle$  ضرب کنیم، با استفاده از خاصیت متعامد بودن  $|0\rangle$  و  $|1\rangle$  به نتیجه زیر می‌رسیم:

$$|m_+\rangle = \sqrt{2}|m_0\rangle = \sqrt{2}|m_1\rangle \quad (۵۹-۶)$$

با جایگذاری این رابطه در رابطه قبلی و مقایسه دوطرف می‌رسیم به

$$|0\rangle|1\rangle + |1\rangle|0\rangle = 0 \quad (۶۰-۶)$$

هرگاه طرفین این رابطه را در  $\langle 0|1\rangle$  ضرب کنیم به رابطه  $1 = 0$  می‌رسیم که تناقض است.

## فصل هفتم

### محاسبات و الگوریتم‌های کوانتومی

مطالب این فصل با اقتباس از [۵، ۸، ۱۲] تهیه شده است.

#### ۷-۱۰-۱ محدودیت‌های رایانش کلاسیک

در کنگره ریاضیدانان در سال ۱۹۰۰ دیوید هیلبرت ۲۳ مسئله مهم را بیان کرد که در واقع نقشه راهی بود برای ریاضیدانان در قرن بیستم. در این میان، مسئله دهم هیلبرت جایگاه ویژه‌ای دارد چرا که تلاش برای حل آن توسط آلن تورینگ ریاضیدان انگلیسی منجر به ابداع نظریه رایانش کلاسیک شد. نظریه‌ای که یک دهه قبل از ظهور اولین رایانه‌ها و ماشین‌های محاسبه پدید آمد و اهمیت آن در این است که خیلی پیش از ساخت اولین کامپیوترها نشان داد که کامپیوترها چه نوع مسائلی را هرگز نخواهند توانست حل کنند. معادلات چندجمله‌ای با ضرایب صحیح مثل  $x^3 + y^4 + z^2 + w = 0$  معادلات دیوفانتی<sup>۱</sup> خوانده می‌شوند و مسئله دهم هیلبرت طرح این سوال بود که آیا الگوریتمی برای یافتن پاسخ به این سوال‌ها وجود دارد یا خیر. برای پاسخ به این سوال بود که آلن تورینگ مفهوم ماشین تورینگ را به عنوان ماشینی انتزاعی برای محاسبه الگوریتمی ابداع کرد. به این ترتیب وی نه تنها مبانی نظری علم رایانش را بنا نهاد بلکه نشان داد که این ماشین می‌تواند هر نوع ماشین

---

<sup>۱</sup>Diophantine



محاسبه دیگری را نیز شبیه‌سازی کند. به بیان دیگر، هر نوع مسئله‌ای که بر روی هر نوع ماشین محاسبه‌ای قابل حل باشد، توسط ماشین تورینگ نیز قابل حل است. ماحصل کار وی اثبات این بود که پاسخ سوال هیلبرت منفی است و مسئله معادلات دیوفانتی را نمی‌توان به صورت الگوریتمی حل کرد.

در طول بیش از ۸۰ سال که از ابداع نظریه محاسبه می‌گذرد، این اعتقاد عمومی تقویت شده‌است که هر ماشین محاسبه‌ای مستقل از این که از چه نوع سازوکاری فیزیکی پیروی کند، توسط ماشین تورینگ قابل شبیه‌سازی است. این نظریه یا تر که به نام تر چرچ - تورینگ شناخته می‌شود در واقع محدوده قوانین فیزیک را به نظریه محاسبه پیوند می‌دهد.

ماشین تورینگ البته یک مدل نظری محاسبه است. در عمل، مدل‌های گوناگونی می‌توانند محاسبه و رایانش را انجام دهند. رایج‌ترین مدل محاسبه مدل مداری است که در آن داده‌ها در رشته‌ای از بیت‌های کلاسیک 0 و 1 ذخیره می‌شوند و مدارهای منطقی کلاسیکی که از گیت‌های کلاسیک ساخته شده‌اند این داده‌ها را پردازش می‌کنند. این مدارهای منطقی می‌توانند توابع قابل محاسبه را با ترکیبی از گیت‌های منطقی *AND* و *NOT* و *OR* محاسبه کند. یک بیت کلاسیک می‌تواند تنها در یکی از دو حالت 0 و 1 قرار بگیرد. حال آنکه بیت کوانتومی یا کیوبیت<sup>۱</sup> می‌تواند در ترکیبی از این دو حالت نیز قرار گیرد. یک حافظه کوانتومی شامل  $n$  کیوبیت می‌تواند در ترکیبی خطی از  $2^n$  حالت مختلف قرار بگیرد. به عنوان مثال، فرض کنید که بتوانیم از اسپین یک هسته به عنوان یک کیوبیت استفاده کنیم و بتوانیم یک کامپیوتر کوانتومی بسازیم که تنها ۱۰۰۰ تا اسپین را به عنوان کیوبیت استفاده می‌کند. در این صورت یک حالت کلی از این ۱۰۰۰ اسپین حالتی است که در یک فضای بسیار بسیار بزرگ  $2^{1000}$  قرار دارد. حالت این کامپیوتر در هر زمان ترکیبی خطی از این تعداد حالت محاسباتی است. این ویژگی که از آن به خاصیت توازی کوانتومی<sup>۲</sup> یاد می‌شود کامپیوتر کوانتومی را قادر می‌کند که همزمان یک تابع را برای تعداد نمایی از متغیرها محاسبه کند. این قابلیت کامپیوترهای کوانتومی، آنها را قادر می‌کند که توانایی حل مسائلی را داشته باشند که حل آنها برای کامپیوترهای کلاسیک زمان بسیار زیادی خواهد برد. مشهورترین این مسائل، مسئله تجزیه یک عدد به عامل‌های اول آن است. امروزه، می‌دانیم که با بهترین الگوریتم‌های کلاسیک، اگر بخواهیم اعداد ۵۰۰ رقمی را با قوی‌ترین کامپیوترهای موجود حل کنیم، به زمانی از مرتبه میلیون‌ها سال نیاز داریم. اما نشان داده شده که الگوریتم‌های کوانتومی که روی کامپیوترهای کوانتومی پیاده سازی می‌شوند، می‌توانند این مسئله را در زمان خیلی کوتاه‌تری حل کنند.

<sup>1</sup>Qubit

<sup>2</sup>Quantum Parallelism

## ۷-۱ مبادله کوانتومی اطلاعات

برهم‌نهی حالت‌ها اگرچه یکی از ویژگی‌های سیستم‌های کوانتومی است ولی ویژگی‌ای نیست که تنها مختص سیستم‌های کوانتومی باشد. مثلاً نور و امواج الکترومغناطیسی نیز از این ویژگی برخوردارند. یک باریکه نور می‌تواند دارای قطبش خطی در راستای افقی یا عمودی و یا ترکیبی از هر دو راستا باشد. بنابراین باریکه نور کلاسیک از خود خاصیت برهم‌نهی نشان می‌دهد. اما آنچه که واقعا ویژگی منحصر بفرد و یکتای مکانیک کوانتومی است، خصلت ناموضعی<sup>۱</sup> آن است. این خصلت ارتباط نزدیکی با درهم‌تنیدگی<sup>۲</sup> دارد و نشان می‌دهد که اندازه‌گیری یک ذره در یک نقطه می‌تواند خصلت‌های بالقوه‌ای را که در یک ذره در دوردست وجود دارد، به طور آنی تغییر دهد و آن‌ها را به فعلیت درآورد، بدون این‌که هیچ‌گونه ارتباط علی با آن ذره داشته باشد. اندازه‌گیری شما از میان تمام حالت‌های احتمالی‌ای که یک ذره در کیلومترها آن طرف‌تر می‌توانست اختیار کند، یکی را به صورت قطعی انتخاب می‌کند، بدون اینکه نور و یا هیچ علامت دیگری فرصت کرده باشد که در بین این دو اندازه‌گیری این فاصله را طی کرده باشد. امروزه، با آزمایش‌های دقیق اپتیکی می‌توانیم فوتون‌هایی را تولید کنیم که در فاصله‌های بیش از ۱۵۰ کیلومتر از یکدیگر درهم‌تنیده باشند. بر خلاف چهره تناقض‌گونه این خاصیت، که گمان می‌رفت ناقض نسبیّت خاص است، عمیق‌ترین و رازآلودترین ویژگی کوانتومی است. ویژگی‌ای که به کرات در ادامه این گزارش از آن استفاده خواهیم کرد. تا قبل از سال‌های آغازین دهه آخر قرن بیستم، فیزیکدانان توجه خود را معطوف به تلاش برای درک این خصلت کرده بودند.

تنها پس از شصت سال که توجه عموم فیزیکدانان معطوف به بررسی جنبه‌های معنایی درهم‌تنیدگی شده بود نخستین کاربردهای مهم و تکان‌دهنده درهم‌تنیدگی پدیدار شدند. نخست در سال ۱۹۹۱ معلوم شد که از حالت‌های درهم‌تنیده می‌توان برای توزیع کوانتومی کلید<sup>۳</sup> برای رمزنگاری<sup>۴</sup> استفاده کرد و سپس در ۱۹۹۵ معلوم شد که می‌توان حالت کوانتومی ذرات را با سرعت نور از یک نقطه به نقطه دیگر انتقال داد. اگر قبول کنیم که یک شیء چیزی نیست جز حالت کوانتومی آن، این پدیده که به آن فرابرد کوانتومی<sup>۵</sup> می‌گوییم، در واقع نخستین نمونه از جابجایی اشیا با سرعت نور خواهد بود. اینکه یک شیء ماکروسکوپی را نیز بتوان با استفاده از این پدیده با سرعت نور جابجا کرد در حال حاضر به طور کامل دور از دسترس علم و فناوری است. اخیراً نشان داده شده است که با طراحی یک آزمایش دو شکاف می‌توان طرح‌های تداخلی را حتی برای مولکول‌هایی به بزرگی فولرین یا  $C^{60}$  مشاهده کرد. اما این برهم‌نهی و خصلت کوانتومی تا به کجا ادامه پیدا می‌کند؟ آیا یک پروتئین، یا

<sup>1</sup>Non-locality<sup>2</sup>Entanglement<sup>3</sup>Quantum Key Distribution<sup>4</sup>Quantum Cryptography<sup>5</sup>Quantum Teleportation

سلول، یک گربه یا یک انسان نیز می تواند در یک برهم‌نهی از حالت‌هایش قرار بگیرد؟ در حال حاضر می‌دانیم که یک انسان می‌تواند در مکان  $A$  یا در مکان  $B$  قرار بگیرد، ولی در یک برهم‌نهی از این دو حالت نه. حتی اگر در چنین حالتی قرار داده شود برهم‌کنش‌هایی که با محیط خود دارد بلافاصله حالت او را به یکی از دو حالت تقلیل می‌دهد. این پدیده که به آن وادوسی<sup>۱</sup> می‌گوییم، برای اشیای ماکروسکوپی با سرعت سرسام‌آوری رخ می‌دهد به نحوی که این اشیاء هرگز در چنین حالت‌هایی دیده نمی‌شوند و حال آنکه اشیای میکروسکوپی مثل الکترون و اتم می‌توانند در چنین حالت‌هایی قرار بگیرند. به اصطلاح زمان وادوسی برای الکترون و اتم طولانی و برای موجودات ماکروسکوپی بسیار کوتاه است. البته این وضعیت امروزین است. این که آیا می‌توان در آینده یک شیء ماکروسکوپی مثل یک گربه را آنقدر از محیط اطرافش جدا کرد و آنقدر تاثیرات محیطی را روی آن کاهش داد که زمان وادوسی‌اش طولانی شود، موضوعی است که هنوز چیزی درباره آن نمی‌دانیم. حتی ممکن است که این وادوسی تنها ناشی از برهم‌کنش با محیط نباشد بلکه ناشی از خصلت ماکروسکوپی خود شیء و تعداد زیاد اتم‌های موجود در آن باشد که در این صورت انجام فرایند کوانتومی برای این گونه اشیاء به کلی منتفی خواهد بود. به هر حال این موضوع که دقیقاً مرز دنیای ماکروسکوپی و میکروسکوپی یا به اصطلاح مرز بین دنیای کلاسیک و کوانتومی کجاست، سوالی است که پاسخ آن تا به امروز مشخص نیست. ممکن است که هیچ مرز مشخصی بین این دو دنیا وجود نداشته باشد که در این صورت با پیشرفت تکنولوژی ممکن است صدها سال بعد بتوان یک گربه را نیز در برهم‌نهی از دو حالت یا چند حالت‌اش نگاه داشت و ممکن است که یک ثابت بنیادی جدید در طبیعت کشف شود که مرز بین این دو دنیا را مشخص کند.

## ۷-۲ شبیه‌سازی کوانتومی

یک دستگاه ساده کلاسیکی مثل منظومه شمسی را در نظر بگیرید. این دستگاه دارای  $N$  ذره (اعم از خورشید، سیارات، قمرها و سیارک‌ها و ستارگان دنباله‌دار) است که همگی تحت نیروی گرانش حرکت می‌کنند. هر کدام از این ذرات با سه مختصه برای مکان و سه مختصه برای سرعت یا تکانه مشخص می‌شوند. هم چنین از آنجا که سیارات را نمی‌توان به صورت نقاط بدون بعد در نظر گرفت می‌توان برای هر کدام سه مختصه که نشان‌دهنده وضعیت دورانی آن‌ها باشد نیز در نظر گرفت. بنابراین تعداد کل متغیرهایی که برای توصیف این سیستم به کار می‌رود برابر است با  $9N$ .

می‌توان مقدار هر کدام از این متغیرها را در یک آرایه از کامپیوتر ذخیره کرد و سپس مطابق با قوانین نیوتن مقدار هر کدام از این متغیرها را لحظه به لحظه پیدا کرد. به این ترتیب می‌توان رفتار این دستگاه کلاسیکی را

<sup>1</sup>Decoherence

در یک کامپیوتر شبیه‌سازی کرد و توسط این برنامه شبیه‌سازی می‌توان کسوف‌ها و خسوف‌ها و برخورد‌های احتمالی و ده‌ها پدیده دیگر را در منظومه شمسی پیش بینی کرد. نکته مهم در اینجا این است که تعداد متغیرهایی که می‌بایست در حافظه کامپیوتر ذخیره کرد نسبت به تعداد اشیای موجود در منظومه شمسی به صورت خطی رشد می‌کند. هرگاه که تعداد ذرات را به عنوان مثال دو برابر کنیم کافی است که مقدار حافظه کامپیوتر را دو برابر کنیم. این خصلت بسیاری از سیستم‌های کلاسیک است که با افزایش تعداد ذرات، تعداد متغیرهای توصیف کننده وضعیت این سیستم‌ها به صورت چندجمله‌ای رشد می‌کند. به همین ترتیب است که می‌توان نه تنها منظومه شمسی بلکه رفتار خوشه‌های ستاره‌ای، کهکشان‌ها و خوشه‌های کهکشانی و یا رفتار دستگاه‌های فناوری را در کامپیوترها شبیه سازی کرد.

حال به یک سیستم کوانتومی ساده توجه می‌کنیم. ماده بس‌ذره‌ای که از همه درجات آزادی اتم‌های آن صرف نظر کرده و فقط اسپین اتم‌های آن را در نظر گرفته‌ایم. اگر  $N$  تا اتم داشته باشیم و هر اتم یک ذره اسپین  $1/2$  باشد، تعداد حالت‌های اسپینی این اتم‌ها برابر است با  $2^N$ . بنابراین، هر حالت بردار سیستم یک بردار  $2^N$  مولفه‌ای است و اگر بخواهیم دینامیک چنین سیستم ساده‌ای را با کامپیوترهای کلاسیک شبیه‌سازی کنیم، می‌بایست  $2^N$  عدد را که نشان دهنده این بردار حالت در هر لحظه است در حافظه کامپیوتر ذخیره کنیم. بدلیل نمایی بودن این بعد احتیاج به یک حافظه خیلی خیلی بزرگ داریم. کافی است که برای سادگی یک سیستم ۱۰۰۰ اتمی را تصور کنید. حالت کوانتومی چنین سیستمی، یک بردار با  $10^{300} = 2^{1000}$  مولفه است. واضح است که ذخیره کردن چنین اعدادی در توان هیچ کامپیوتر کلاسیکی نیست. با این مثال ساده می‌بینیم که برخلاف سیستم‌های کلاسیک، سیستم‌های کوانتومی را هرگز نمی‌توان در کامپیوترهای کلاسیک شبیه سازی کرد.

این در حالی است که در ابعاد میکروسکوپی و در سطح بنیادین ماده تمامی سیستم‌ها رفتار کوانتومی دارند و ما برای درک رفتار ماده در مقیاس میکروسکوپی احتیاج به شبیه‌سازی رفتار ذرات و میدان‌های کوانتومی داریم. چگونه می‌توانیم از این بن‌بست راهی به بیرون بیابیم؟ نخستین بار ریچارد فاینمن راه برون رفت را نشان داد. برای شبیه‌سازی سیستم‌های کوانتومی می‌بایست از خود سیستم‌های کوانتومی استفاده کرد. به زبان امروزی، این راه چنین است. گروهی از اتم‌ها را تصور کنید که در شرایط خاص و تحت کنترل شما قرار گرفته‌اند. تعداد این اتم‌ها از مرتبه ۱۰۰۰ تا بیشتر است. این اتم‌ها می‌توانند در یک شبکه نوری<sup>۱</sup> قرار گرفته باشند. یک شبکه نوری، شبکه‌ای متشکل از امواج ایستاده است که اتم‌ها مثل تخم‌مرغ‌های درون یک شانه تخم‌مرغ در درون فرورفتگی‌های آن قرار می‌گیرند. می‌توان روی این اتم‌ها انواع گیت‌های کوانتومی را اعمال کرد که مثل این

<sup>۱</sup>Optical Lattice

است که بتوانیم دینامیک متناظر با هر نوع هامیلتونی را در مورد این اتم‌ها اعمال کنیم. می‌توانیم کاری کنیم که درجات آزادی این سیستم و نوع هامیلتونی آن خیلی نزدیک به درجات آزادی و نوع هامیلتونی یک سیستم دیگر باشد که می‌خواهیم شبیه‌سازی‌اش کنیم. حتی می‌توانیم برهم‌کنش‌ها را طوری تنظیم کنیم که این سیستم دوبعدی یک سیستم سه‌بعدی را شبیه‌سازی کند.

در این صورت، حالت اولیه این مجموعه اتم‌ها را مطابق با حالت اولیه سیستم مورد نظر خود به صورت فیزیکی تهیه می‌کنیم و اجازه می‌دهیم که این سیستم با هامیلتونی خاصی که برایش تدارک دیده‌ایم تحول پیدا کند. بعد از گذشت زمان دلخواه می‌توانیم هر نوع مشاهده‌پذیری از این سیستم را اندازه‌گیری کنیم. این اندازه‌گیری را می‌توانیم بارها و بارها تکرار کنیم تا متوسط مشاهده‌پذیر را محاسبه کنیم. به این ترتیب می‌توانیم کمیت‌های مورد نظر خود را از سیستم واقعی بدست بیاوریم. شبیه‌ساز ما به این ترتیب و به صورت واقعی یک سیستم کوانتومی دیگر را شبیه‌سازی می‌کند. این شبیه‌ساز حتی قادر است که میدان‌های کوانتومی را نیز با تقریب خوبی شبیه‌سازی کند. از نظر فناوری دیر نخواهد بود که ما بتوانیم در شبیه‌ساز کوانتومی خود میدان‌های کوانتومی ای نظیر میدان الکتروضعیف و یا میدان کرومودینامیک را شبیه‌سازی کنیم و بتوانیم به سوال‌های بنیادی در مورد ساختار ماده پاسخ گوئیم.

### ۷-۳ فرابرد کوانتومی

درفربرد کوانتومی، هدف ما آن است که بامخبره اطلاعات کلاسیک حالت کوانتومی یک شی را به نقطه‌ای دوردست انتقال دهیم. در ساده‌ترین حالت فرض کنید که آل‌یس یک کیوبیت  $S$  در اختیار دارد و می‌خواهد آن را به باب منتقل کند. فرض کنید کیوبیت  $S$  در حالت  $|v\rangle_S = \alpha|0\rangle + \beta|1\rangle$  قرار دارد و آل‌یس و باب از آن مطلع نیستند. اگر بین آل‌یس و باب یک کانال وجود داشت که به وسیله آن می‌توانستند کیوبیت (اطلاعات کوانتومی) انتقال دهند، مسأله انتقال  $S$  ساده بود (کافی بود آل‌یس کیوبیت خود را در ورودی کانال قرار دهد). ولی فرض کنید که بین آنها فقط یک کانال برای انتقال اطلاعات کلاسیک (مانند تلفن معمولی) وجود دارد. سؤال این است که آیا در این صورت نیز انتقال  $S$  امکان‌پذیر است یا خیر. نکته‌ای که باید به آن توجه کنیم آن است که چرا اصولاً نیاز است که کانالی با خواص کوانتومی برای انتقال یک حالت یا یک کیوبیت وجود داشته باشد؟ برای انتقال کامل یک کیوبیت از طریق کانال ارتباطی کلاسیک، لازم است که مقادیر مختلط  $\alpha$  و  $\beta$  مخبره بشوند که برای مخبره دقیق این مقادیر نیاز به بی‌نهایت مخبره داریم، حتی تخمین آن‌ها هم مخبره زیادی از نظر تعداد بیت ارسالی می‌طلبد.

فرض کنید که آلیس و باب هر کدام یک کیوبیت دیگر دارند که مستقل از  $S$  در حالت درهم‌تنیده

$$|\Phi^+\rangle_{AB} = \frac{1}{\sqrt{2}}(|00\rangle + |11\rangle) \quad (۱-۷)$$

آماده سازی شده‌اند. پس در کل سه کیوبیت داریم. کیوبیت‌های  $A$  و  $S$  در دست آلیس هستند و کیوبیت  $B$  در دست باب.

حال، پایه متعامد یکه بل<sup>۱</sup> را برای فضای دو کیوبیت در نظر بگیرید:

$$\mathcal{B} = \{|\Phi^+\rangle, |\Phi^-\rangle, |\Psi^+\rangle, |\Psi^-\rangle\} \quad (۲-۷)$$

که در آن

$$|\Phi^\pm\rangle = \frac{1}{\sqrt{2}}(|00\rangle \pm |11\rangle) \quad |\Psi^\pm\rangle = \frac{1}{\sqrt{2}}(|01\rangle \pm |10\rangle). \quad (۳-۷)$$

توجه کنید که داریم:

$$\begin{aligned} |00\rangle &= \frac{1}{\sqrt{2}}(|\Phi^+\rangle + |\Phi^-\rangle) & |01\rangle &= \frac{1}{\sqrt{2}}(|\Psi^+\rangle + |\Psi^-\rangle), \\ |10\rangle &= \frac{1}{\sqrt{2}}(|\Psi^+\rangle - |\Psi^-\rangle) & |11\rangle &= \frac{1}{\sqrt{2}}(|\Phi^+\rangle - |\Phi^-\rangle). \end{aligned} \quad (۴-۷)$$

حال، سیستم ترکیبی هر سه کیوبیت در حالت  $|v\rangle_S \otimes |\Phi^+\rangle_{AB}$  است که اگر  $SA$  را در پایه بل بنویسیم داریم:

$$\begin{aligned} |v\rangle_S \otimes |\Phi^+\rangle_{AB} &= \frac{1}{\sqrt{2}}[\alpha|00\rangle_{SA}|0\rangle_B + \alpha|01\rangle_{SA}|1\rangle_B + \alpha|10\rangle_{SA}|0\rangle_B + \alpha|11\rangle_{SA}|1\rangle_B] \\ &= \frac{1}{2}[\alpha(|\Phi^+\rangle + |\Phi^-\rangle)_{SA}|0\rangle_B + \alpha(|\Psi^+\rangle + |\Psi^-\rangle)_{SA}|1\rangle_B \\ &\quad + \beta(|\Psi^+\rangle - |\Psi^-\rangle)_{SA}|0\rangle_B + \beta(|\Phi^+\rangle - |\Phi^-\rangle)_{SA}|1\rangle_B] \\ &= \frac{1}{2}[|\Phi_{SA}^+\rangle(\alpha|0\rangle + \beta|1\rangle)_B + |\Phi_{SA}^-\rangle(\alpha|0\rangle - \beta|1\rangle)_B \\ &\quad + |\Psi_{SA}^+\rangle(\alpha|0\rangle + \beta|1\rangle)_B + |\Psi_{SA}^-\rangle(\alpha|0\rangle - \beta|1\rangle)_B] \end{aligned} \quad (۵-۷)$$

اگر ماتریس‌های پاولی را به‌خاطر بیاوریم:

$$X = \begin{pmatrix} 0 & 1 \\ 1 & 0 \end{pmatrix} \quad Z = \begin{pmatrix} 1 & 0 \\ 0 & -1 \end{pmatrix} \quad (۶-۷)$$

خواهیم داشت

$$|v\rangle_S \otimes |\Phi^+\rangle_{AB} = \frac{1}{2}[|\Phi^+\rangle_{SA}|v\rangle_B + |\Phi^-\rangle_{SA} \otimes Z|v\rangle_B + |\Psi^+\rangle_{SA} \otimes X|v\rangle_B + |\Psi^-\rangle_{SA} \otimes XZ|v\rangle_B]$$

<sup>۱</sup>Bell basis

$$(۷-۷)$$

فرض کنیم آلیس دو کیوبیتی که در اختیار دارد، یعنی  $SA$  را در پایه بل اندازه‌گیری کند. در این صورت عملگرهای اندازه‌گیری آلیس برابرند با

$$M_1 = |\Phi^+\rangle\langle\Phi^+|, \quad M_2 = |\Phi^-\rangle\langle\Phi^-|, \quad M_3 = |\Psi^+\rangle\langle\Psi^+|, \quad M_4 = |\Psi^-\rangle\langle\Psi^-| \quad (۸-۷)$$

اگر برای مثال حاصل اندازه‌گیری آلیس  $M_1$  باشد، با توجه به محاسبات فوق سیستم به حالت زیر تغییر می‌کند:

$$(M_{1,SA} \otimes I_B) |v\rangle_S \otimes |\Phi^+\rangle_{AB} = (|\Phi^+\rangle\langle\Phi^+| \otimes I_B) |v\rangle_S \otimes |\Phi^+\rangle_{AB} = \frac{1}{2} |\Phi^+\rangle_{SA} |v\rangle_B \quad (۹-۷)$$

یعنی کیوبیت باب به حالت  $|v\rangle$  تغییر پیدا می‌کند. در واقع بسته به حاصل اندازه‌گیری آلیس، تغییر کیوبیت باب به صورت زیر خواهد بود:

$$M_1 \Rightarrow |V\rangle, \quad M_2 \Rightarrow Z|V\rangle, \quad (۱۰-۷)$$

$$M_3 \Rightarrow X|V\rangle, \quad M_4 \Rightarrow XZ|V\rangle.$$

حال فرض کنید که آلیس بعد از انجام اندازه‌گیری، نتیجه را با استفاده از ۲ بیت کلاسیک فوق برای باب ارسال کند. در این صورت باب با توجه تناظر فوق می‌تواند وارون ماتریس پائولی مناسب را بر کیوبیت خود اعمال و حالت  $|v\rangle$  به دست می‌آورد.

توجه کنید که در این پروتکل، اندازه‌گیری آلیس چهار حالت دارد. پس آلیس ۲ بیت اطلاعات کلاسیک برای باب می‌فرستد. همچنین حالت  $|\Phi^+\rangle_{AB}$  که آلیس و باب از قبل با هم قسمت کرده بودند، یک واحد درهم‌تنیدگی یا ای-بیت<sup>۱</sup> نامیده می‌شود. به طور خلاصه

$$1 \text{ ebit} + 2 \text{ bit} \rightarrow 1 \text{ qubit} \quad (۱۱-۷)$$

#### ۴-۷ کدگذاری چگال

مساله کدگذاری چگال<sup>۲</sup> دقیقاً برعکس فرابرد است. یعنی، با در اختیار داشتن یک کانال کوانتومی، چگونه اطلاعات کلاسیک مخایره کنیم. در این آلیس و باب دو کیوبیت را مانند حالت قبل در حالت درهم‌تنیده

$$|\Phi^+\rangle_{AB} = \frac{1}{\sqrt{2}}(|00\rangle + |11\rangle) \quad (۱۲-۷)$$

<sup>۱</sup>Entanglement bit or ebit

<sup>۲</sup>Superdense Coding

تقسیم کرده‌اند. آلیس ۲ بیت کلاسیک دارد که می‌خواهد به باب منتقل کند. ولی کانال بین آنها یک کانال کوانتومی است. در اینجا نشان می‌دهیم که این کار با انتقال تنها ۱ کیوبیت امکان‌پذیر است. در واقع

$$1\text{ebit} + 1\text{qubit} \rightarrow 2\text{bit} \quad (۱۳-۷)$$

نمادگذاری زیر را در نظر بگیرید:

$$\sigma_{00} = I, \quad \sigma_{01} = X, \quad (۱۴-۷)$$

$$\sigma_{10} = Z, \quad \sigma_{11} = ZX.$$

توجه کنید که این چهار عملگر یکانی هستند. پس آلیس می‌تواند هر یک از آنها را بر کیوبیت خود  $A$  اثر دهد. داریم

$$\sigma_{00}^A \otimes I^B |\Phi^+\rangle = |\Phi^+\rangle, \quad \sigma_{01}^A \otimes I^B |\Phi^+\rangle = |\Phi^-\rangle, \quad (۱۵-۷)$$

$$\sigma_{10}^A \otimes I^B |\Phi^+\rangle = |\Psi^+\rangle, \quad \sigma_{11}^A \otimes I^B |\Phi^+\rangle = |\Psi^-\rangle,$$

پس نتیجه یکی از بردارهای پایه بل می‌شود و از آنجا که این حالت‌ها بر هم عمود هستند، اگر آلیس بعد از اثر دادن عملگر  $\sigma_{ij}$  کیوبیت خود را برای باب بفرستد، باب می‌تواند به طور دقیق تشخیص دهد که این دو کیوبیت در چه حالتی هستند و از آنجا می‌فهمد که آلیس کدام  $\sigma_{ij}$  را اثر داده است.

به طور دقیق‌تر، فرض کنید دو بیت آلیس  $i, j \in 0, 1$  پروتکل این طور شروع می‌شود که آلیس  $\sigma_{ij}$  را روی کیوبیت  $A$  اعمال می‌کند و بعد این کیوبیت را از طریق کانال کوانتومی برای باب می‌فرستد. حال، باب دو کیوبیت  $A$  و  $B$  را در اختیار دارد و آنها را در پایه بل اندازه می‌گیرد (پس عملگرهای متناظر این اندازه‌گیری از رابطه به دست می‌آیند). از آنجا که چهار حالت  $\sigma_{ij} \otimes I |\Phi^+\rangle$  بر هم عمودند، این اندازه‌گیری آنها را از هم بدون خطا تشخیص می‌دهد. پس باب از روی حاصل اندازه‌گیری، می‌تواند  $i, j$  را بیابد.

## ۵-۷ الگوریتم‌های کوانتومی

### ۱-۵-۷ کیوبیت

مفهوم مرکزی در کامپیوتر کوانتومی بیت کوانتومی یا کیوبیت است. یک حافظه کوانتومی  $n$ -کیوبیتی<sup>۱</sup> عبارت است از مجموعه‌ای متشکل از  $n$  کیوبیت. فضای هیلبرت این حافظه عبارت است از:

$$(\mathcal{C}^2)^{\otimes n} = \left\{ \sum_{s_0, s_1, \dots, s_{n-1} \in 0, 1} \alpha_{s_0, s_1, \dots, s_{n-1}} |s_0, s_1, \dots, s_{n-1}\rangle \right\} \quad (۱۶-۷)$$

و بعد آن برابر است با  $2^n$ . دقت کنید که این حافظه می‌بایست چنان باشد که تمام بردارهای فضای هیلبرت آن قابل دسترسی باشند. بنابراین اگر دو کیوبیت را تنها کنارهم بگذاریم به این معنی نیست که یک حافظه دو

<sup>۱</sup>n-qubit Quantum Register



کیوبیتی ساخته‌ایم. زیرا بردارهای فضای هیلبرت دو کیوبیت جداگانه به صورت زیر هستند:

$$|\phi\rangle \otimes |\phi\rangle = (\alpha|0\rangle + \beta|1\rangle) \otimes (\alpha'|0\rangle + \beta'|1\rangle) \quad (17-7)$$

یعنی به صورت ضرب تنسوری دو بردار از فضاهای هرکدام از کیوبیت‌ها نوشته می‌شوند و حال آنکه در فضای هیلبرت دو کیوبیت یعنی  $(C^2)^{\otimes 2}$  بردارهایی وجود دارند که به صورت فوق قابل نوشتن نیستند، مثل بردار درهم‌تنیده  $|\Phi^+\rangle$ . برای آنکه یک بردار کلی به صورت

$$a|00\rangle + b|01\rangle + c|10\rangle + d|11\rangle \quad (18-7)$$

به صورت حاصل ضرب تنسوری دو بردار نوشته شود، می‌بایست شرط  $ad - bc = 0$  برقرار شود. بنابراین بردارهایی که به صورت ضرب تنسوری هستند، مجموعه‌ای با اندازه صفر را در فضای هیلبرت دو کیوبیت تشکیل می‌دهند.

#### ۷-۵-۲ توازی کوانتومی

اولین تفاوت مهم کامپیوتر کوانتومی با کامپیوتر کلاسیک این است که یک حافظه کوانتومی می‌تواند در آن واحد در تمام حالت‌های بالقوه خود قرار بگیرد. این خصلت ناشی از برهم‌نهی حالت‌های کوانتومی است و اصطلاحاً توازی کوانتومی خوانده می‌شود. هرگاه هر حالت  $|s_0, s_1, \dots, s_{n-1}\rangle$  را برای کد کردن عدد دودویی  $s = (s_0, s_1, \dots, s_{n-1})$  به کار ببریم، حالتی مثل

$$|\phi\rangle = \sum_{s=0}^{2^n-1} \phi_s |s\rangle, \quad (19-7)$$

حالت کلی یک حافظه  $n$  کیوبیتی است. بنابراین هرگاه حافظه را در حالت  $|\phi\rangle$  با ضرایب ناصفر قرار دهیم، مثل این است که همزمان آن را در تمام حالت‌های  $|s\rangle$  قرار داده‌ایم. البته واضح است که هرگاه حافظه را در پایه محاسباتی اندازه‌گیری کنیم، تنها یکی از مقادیر  $s$  با احتمال  $|\phi_s|^2$  بدست خواهند آمد. بنابراین توازی کوانتومی اگر چه یک خاصیت مهم حافظه است ولی این خاصیت را می‌بایست با ظرافت مورد بهره برداری قرار داد.

#### ۷-۵-۳ گیت کوانتومی

اگر اطلاعات را در کیوبیت‌ها ذخیره کنیم، به ناچار پردازش اطلاعات می‌بایست یا با عملگرهای یکانی که تحول‌ها یا اندازه‌گیری‌ها را نشان می‌دهند انجام بگیرند. معمولاً اصطلاح گیت کوانتومی برای یک عملگر یکانی به کار برده می‌شود. گیت کوانتومی هرگاه روی یک کیوبیت اثر کند آن را گیت تک کیوبیتی و هرگاه روی  $n$  تا کیوبیت اثر کند، گیت  $n$  کیوبیتی خوانده می‌شود. گیت‌های مهم همان عملگرهای یکانی مهم مانند

ماتریس‌های پاولی و عملگر هادامارد هستند. نکته مهم برای گیت‌های کوانتومی در مقابل گیت‌های کلاسیک، برگشت‌پذیر بودن آن‌هاست.

#### ۷-۵-۴ روند یک الگوریتم کوانتومی

الگوریتم کوانتومی در ساده‌ترین شکل آن به مجموعه‌ای از گیت‌های کوانتومی متوالی گفته می‌شود که روی یک حالت معین اولیه اثر می‌کنند و چنان تنظیم شده‌اند که حالت نهایی چنان باشد که پس از اندازه‌گیری‌های سنجیده‌ای روی آن جواب یک مسئله معین را با احتمال بسیار خوب در بر داشته باشد. در ادامه چند الگوریتم مطرح کوانتومی را خواهیم دید.

#### ۷-۶ الگوریتم دوچ-جوزا

الگوریتم دوچ-جوزا<sup>۱</sup> که در سال ۱۹۸۲ مطرح شد به حل مسأله زیر می‌پردازد.

ورودی: تابع  $F : \{0, 1\}^n \rightarrow \{0, 1\}$

شرط: یا  $F$  به ازای تمامی ورودی‌ها ۰ می‌دهد و یا دقیقاً به ازای نصف ورودی‌ها صفر و به ازای نصف دیگر یک است.

خروجی:  $F$  کدام یک از دو حالت گفته شده است؟

یک الگوریتم احتمالاتی کلاسیک برای حل این مسأله این است که به ازای یک ورودی دلخواه خروجی تابع را چک کنیم. اگر یک بود حتماً تابع در حالت دوم است و اگر صفر بود، یا در حالت اول و یا در حالت دوم است که انتخاب تصادفی یکی از این دو حالت منجر به یک الگوریتم احتمالاتی می‌شود. حال اگر به دنبال یک الگوریتم کلاسیک باشیم که بتواند به صورت قطعی پاسخ درست دهد، باید حداقل  $2^{n-1} + 1$  تا از ورودی‌ها را چک کنیم. در اینجا نشان می‌دهیم که الگوریتمی کوانتومی وجود دارد که با فقط یک بار سوال پرسیدن کوانتومی<sup>۲</sup> از تابع، می‌تواند به جواب قطعی برسد.

#### ۷-۶-۱ سوال پرسیدن کوانتومی

قبل از پرداختن به الگوریتم کوانتومی توجه کنید که ابتدا باید سوال پرسیدن کوانتومی از تابع  $F$  را مدل کنیم. به طور کلاسیک ما، به سادگی فرض می‌کنیم که با ورودی  $x$  می‌توان خروجی  $F(x)$  را بدست آورد. به طور کوانتومی ممکن این عمل را به صورت  $|x\rangle \rightarrow |F(x)\rangle$  مدل کنیم، ولی توجه کنید که سوال پرسیدن در دنیای کوانتومی باید یکانی باشد. حال آنکه  $|x\rangle \rightarrow |F(x)\rangle$  یکانی نیست چون بعد فضای ورودی و خروجی یکسان

<sup>۱</sup>Deutsch-Jozsa

<sup>۲</sup>Quantum Query

نیست. حتی اگر عملگر  $\left| \underbrace{000 \dots 0}_{n-1} \right\rangle$   $|x\rangle \rightarrow |F(x)\rangle$  در نظر بگیریم، باز هم یکانی نیست چون ضرب داخلی را حفظ نمی‌کند.

سؤال پرسیدن کوانتومی از یک تابع معمولاً به یکی از دو صورت زیر مدل می‌شود.

$$T_F |x\rangle = (-1)^{F(x)} |x\rangle \quad (۲۰-۷)$$

و یا

$$O_F |x\rangle |y\rangle = |x\rangle |F(x) \oplus y\rangle \quad (۲۱-۷)$$

در  $T_{F(x)}$  با توجه به پاسخ تابع، فاز حالت را عوض می‌کنیم و در مدل  $O_{F(x)}$  با استفاده از تغییر حالت  $|y\rangle$  مقدار  $F(x)$  برای ما روشن می‌شود. توجه شود که هر دوی این عملگرها یکانی هستند و برای  $|\psi\rangle = \sum_x \alpha_x |x\rangle$  داریم:

$$T_{F(x)} |\psi\rangle = \sum_x \alpha_x (-1)^{F(x)} |x\rangle \quad (۲۲-۷)$$

و

$$O_{F(x)} |\psi\rangle |0\rangle = \sum_x \alpha_x |x\rangle |F(x)\rangle. \quad (۲۳-۷)$$

۷-۶-۲ تبدیل فوری روی گروه  $\mathbb{Z}_2^n$

عملکرد گیت یک کیوبیتی هادامارد روی ورودی‌های  $|0\rangle$  و  $|1\rangle$  به صورت زیر است:

$$\begin{aligned} |0\rangle &\rightarrow \frac{1}{\sqrt{2}}(|0\rangle + |1\rangle) \\ |1\rangle &\rightarrow \frac{1}{\sqrt{2}}(|0\rangle - |1\rangle) \end{aligned} \quad (۲۴-۷)$$

پس اگر ورودی  $|b_i\rangle$  به صورت صفر یا یک باشد، خروجی عملگر هادامارد به صورت  $\frac{1}{\sqrt{2}}(|0\rangle + (-1)^{b_i} |1\rangle)$

است. حال با در نظر گرفتن ورودی  $|x\rangle = |b_1\rangle, |b_2\rangle, |b_3\rangle, \dots, |b_n\rangle$  خروجی به صورت زیر خواهد بود:

$$\begin{aligned} H^{\otimes n} |x\rangle &= H |b_1\rangle \otimes H |b_2\rangle \otimes \dots \otimes H |b_n\rangle \\ &= \left( \frac{1}{\sqrt{2}}(|0\rangle + (-1)^{b_1} |1\rangle) \right) \otimes \dots \otimes \left( \frac{1}{\sqrt{2}}(|0\rangle + (-1)^{b_n} |1\rangle) \right) \\ &= \frac{1}{\sqrt{2^n}} \sum_{a_1, \dots, a_n \in \{0,1\}} (-1)^{a_1 b_1 + \dots + a_n b_n} |a_1 \dots a_n\rangle \\ &= \frac{1}{\sqrt{2^n}} \sum_{y \in \{0,1\}^n} (-1)^{x \cdot y} |y\rangle \end{aligned} \quad (۲۵-۷)$$

که در آن  $y = a_1 \dots a_n$ ، آنگاه  $x \cdot y := a_1 b_1 + \dots + a_n b_n$ .

## ۷-۶-۳ الگوریتم اصلی

روند الگوریتم را به این صورت شروع می‌کنیم:

۱. حالت  $n$  کیوبیتی  $|0\dots 0\rangle$  را در نظر بگیرید.

۲. برای استفاده از توازی کوانتومی، همه بردارهای  $n$  کیوبیتی را در یک برهم‌نهی قرار می‌دهیم. باید عملگر هادامارد را روی همه کیوبیت‌ها اعمال کنیم.

۳. سپس یک بار از مدل تابع  $F$  یعنی  $T_F$  سوال می‌پرسیم.

۴. سپس با اعمال دوباره  $H$  تبدیل فوریه می‌گیریم.

۵. در نهایت حالت به دست آمده را اندازه‌گیری می‌کنیم.

$$\begin{aligned}
 \left| \underbrace{0\dots 0}_n \right\rangle &\xrightarrow{H^{\otimes n}} \frac{1}{\sqrt{2^n}} \sum_{x \in \{0,1\}^n} |x\rangle \\
 &\xrightarrow{T_F} \frac{1}{\sqrt{2^n}} \sum_{x \in \{0,1\}^n} (-1)^{F(x)} |x\rangle \\
 &\xrightarrow{H^{\otimes n}} \frac{1}{2^n} \sum_{x \in \{0,1\}^n} (-1)^{F(x)} \sum_{y \in \{0,1\}^n} (-1)^{x \cdot y} |y\rangle \\
 &= \frac{1}{2^n} \sum_{y \in \{0,1\}^n} \left( \sum_{x \in \{0,1\}^n} (-1)^{F(x) + x \cdot y} \right) |y\rangle
 \end{aligned} \tag{۷-۲۶}$$

اگر در حالت اول باشیم، یعنی تابع  $F$  متحد با صفر باشد،  $T_F$  عملگر همانی است، و از آنجا که  $H^2 = I$ ، حالت نهایی با حالت اولیه برابر است و اندازه‌گیری نهایی به ما حالت  $\left| \underbrace{0\dots 0}_n \right\rangle$  می‌دهد.

فرض کنید که در حالت دوم باشیم. با توجه به جمله آخر، ضریب حالت  $\left| \underbrace{0\dots 0}_n \right\rangle$  در برهم‌نهی نهایی حساب می‌کنیم. چون  $x \cdot y = 0$  است، ضریب این جمله برابر است با  $\sum_{x \in \{0,1\}^n} (-1)^{F(x)}$ . اما، می‌دانیم که خروجی تابع  $F$  در نیمی از ورودی‌های 0 و در نیمی دیگر برابر با 1 است. در نتیجه، عبارت  $\sum_{x \in \{0,1\}^n} (-1)^{F(x)}$  برابر با 0 است و کل حالت نهایی برهم‌نهی شده بر حالت  $\left| \underbrace{0\dots 0}_n \right\rangle$  عمود است و حاصل حداقل یکی از  $n$  اندازه‌گیری برابر با 1 است.

به طور خلاصه، اگر حاصل همه اندازه‌گیری‌ها 0 شد، در حالت اول هستیم و اگر حداقل یکی از آن‌ها 1 شد، در حالت دوم هستیم.

## ۷-۷ الگوریتم جست و جوی گرور

مدل الگوریتم قبلی، از ساختار و ماهیت تابع به ما اطلاعی نمی‌دهند و صرفاً با سوال پرسیدن از مدل، مقدار تابع را در ورودی مورد نظر به ما می‌دهند. گویی این مدل یک جعبه سیاه<sup>۱</sup> است که ورودی را می‌گیرد و خروجی را با توجه به آنچه تابع روی آن اثر می‌کند، به ما می‌دهد. به این نوع مدل کردن، مدل جعبه-سیاه یا مدل جستاری می‌گویند. قابل توجه است که پیچیدگی مسائل در این مدل بر حسب تعداد سوال کردن‌ها محاسبه می‌شود.

۱-۷-۷ مساله

ورودی:  $f: \{0, 1\}^n \rightarrow \{0, 1\}$  شرط: دقیقاً یک  $t \in \{0, 1\}^n$  وجود دارد که  $f(t) = 1$ .  
خروجی:  $t$ .

تعداد ورودی‌ها برابر با  $N = 2^n$  می‌باشد. و به طور کلاسیک نمی‌توان این مساله را با پیچیدگی بهتر از  $O(N)$  حل کرد. الگوریتم کوانتومی گرور<sup>۲</sup> توانایی حل این مساله را با  $O(\sqrt{N})$  سوال را دارد.

۸-۷ مقدمه

برای حل مساله فوق، سوال کوانتومی از تابع  $f$  را به صورت عملگر یکانی زیر مدل می‌کنیم:

$$T_f |x\rangle = (-1)^{f(x)} |x\rangle \quad (۲۷-۷)$$

تعریف کنید

$$|s\rangle := \frac{1}{\sqrt{N-1}} \sum_{y \in \{0,1\}^n, y \neq t} |y\rangle. \quad (۲۸-۷)$$

در نتیجه،  $\langle s|t\rangle$  و

$$|\phi\rangle = \alpha |t\rangle + \beta |s\rangle \Rightarrow T_f |\phi\rangle = -\alpha |t\rangle + \beta |s\rangle \quad (۲۹-۷)$$

در واقع با توجه به شکل ۷-۱، اعمال  $T_f$  متناظر با قرینه کردن نسبت به بردار  $|s\rangle$  است.

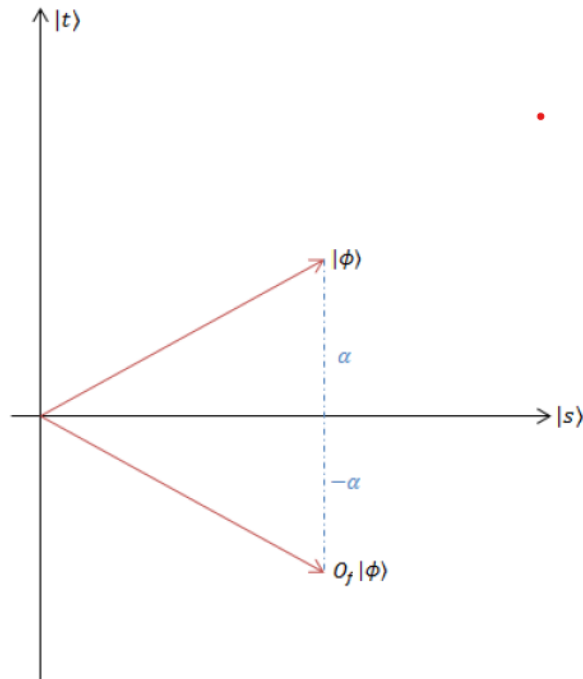
بردارهای  $|v\rangle$  و  $|w\rangle$  را به صورت زیر تعریف کنید

$$|v\rangle := \frac{1}{\sqrt{N}} \sum_{x \in \{0,1\}^n} |x\rangle \Rightarrow |v\rangle = \sqrt{\frac{N-1}{N}} |s\rangle + \frac{1}{\sqrt{N}} |t\rangle \quad (۳۰-۷)$$

$$|w\rangle := \frac{1}{\sqrt{N}} |s\rangle - \sqrt{\frac{N-1}{N}} |t\rangle \Rightarrow \langle v|w\rangle = 0$$

<sup>۱</sup>Black Box<sup>۲</sup>Grover

شکل ۷-۱: اعمال  $T_f$  که در واقع عمل قرینه‌کردن نسبت به  $|s\rangle$  است.



تبدیل یکانی  $U$  را در نظر بگیرید:

$$U := H^{\otimes n} (2 |0\dots 0\rangle\langle 0\dots 0| - I) H^{\otimes n} = 2H^{\otimes n} |0\dots 0\rangle\langle 0\dots 0| H^{\otimes n} - I \quad (۷-۳۱)$$

می‌دانیم

$$H^{\otimes n} |0\dots 0\rangle = \frac{1}{\sqrt{2^n}} \sum_{x \in \{0,1\}^n} |x\rangle = \frac{1}{\sqrt{N}} \sum_{x \in \{0,1\}^n} |x\rangle = |v\rangle \quad (۷-۳۲)$$

در نتیجه،

$$U = 2 |v\rangle\langle v| - I \quad (۷-۳۳)$$

و برای  $|\psi\rangle = \gamma |v\rangle + \lambda |w\rangle$  داریم:

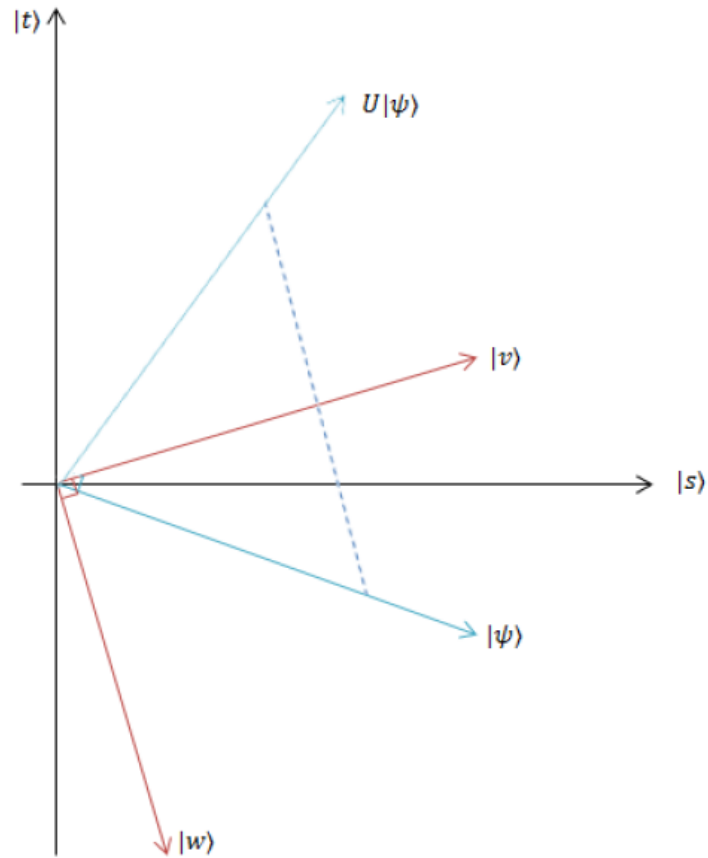
$$U |\psi\rangle = \gamma U |v\rangle + \lambda U |w\rangle = \gamma |v\rangle - \lambda |w\rangle \quad (۷-۳۴)$$

نتیجه می‌شود که  $U$  نسبت به  $|v\rangle$  عمل قرینه انجام می‌دهد. (شکل ۷-۲)

همانطور که می‌دانیم، ترکیب دو عمل قرینه، یک عمل دوران بدست می‌دهد. (شکل ۷-۳)

$$f = R_{2\theta} \quad (۷-۳۵)$$

شکل ۷-۲: اعمال  $U$  که در واقع عمل قرینه‌کردن نسبت به  $|v\rangle$  است.



که در آن

$$\cos\theta = \langle v|s \rangle = \sqrt{\frac{N-1}{N}} \Rightarrow \theta \approx \frac{1}{\sqrt{N}} \quad (۷-۳۶)$$

#### ۷-۹ الگوریتم اصلی

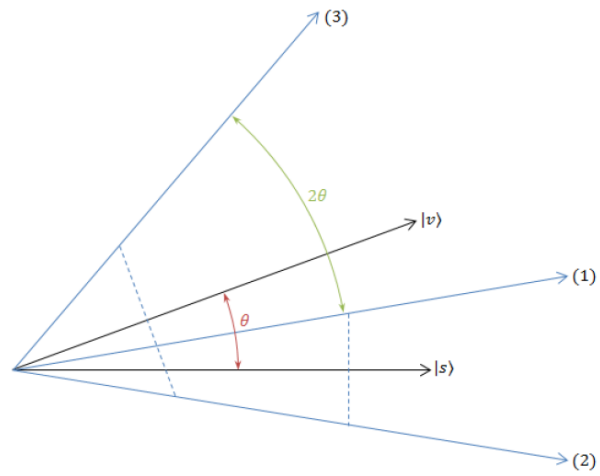
با  $n$  کیوبیت که همگی در حالت  $|0\rangle$  آماده‌سازی شده‌اند شروع می‌کنیم. ابتدا، روی هر یک از  $n$  کیوبیت عملگر هامارد را اعمال می‌کنیم و بعد  $R_{2\theta}$  را  $q$  بار و در آخر همه  $n$  کیوبیت را اندازه‌گیری می‌کنیم:

$$|0\dots 0\rangle \xrightarrow{H^{\otimes n}} |v\rangle \xrightarrow{(UT_f)^q} |\tau\rangle \rightarrow \text{measurement} \quad (۷-۳۷)$$

$|\tau\rangle$  یک بردار با زاویه  $\theta + 2q\theta$  از  $|s\rangle$  می‌باشد. اگر  $q \approx \frac{\sqrt{N}}{4}\pi$  بگیریم، این زاویه تقریباً برابر با  $\pi/2$  خواهد بود. در این صورت  $|\tau\rangle$  تقریباً با  $|t\rangle$  برابر است. حال با اندازه‌گیری  $\tau$ ، حاصل اندازه‌گیری با احتمال

$$p(t) = \|\langle t|(UT_f)^q|v\rangle\|^2 = \|\langle t|\tau\rangle\|^2 \quad (۷-۳۸)$$

شکل ۷-۳:  $(2) = T_f(1), (3) = U(2)$



برابر  $t$  خواهد شد، و از آنجا که  $|t\rangle$  و  $|\tau\rangle$  به هم نزدیک است، این عدد نزدیک به 1 است.



## فصل هشتم

### پیچیدگی ارتباطی کوانتومی

در فضای پیچیدگی ارتباطی، آیا می‌توان از مکانیک کوانتومی به نحوی بهره برد که پیچیدگی مخابره نیز کاهش یابد؟ قضیه هولف<sup>۱</sup> نشان می‌دهد که اگر بنا باشد که فقط  $n$  کیوبیت بین دو نفر جابه‌جا کنیم، امکان ندارد که بین آن دو بتوانیم چیزی فراتر از  $n$  بیت کلاسیک جابه‌جا کنیم؛ مگر این که کیوبیت‌های دو طرف درهم‌تنیده باشند. [۹] البته در این صورت هم فقط می‌توان دو برابر تعداد کیوبیتی که می‌فرستیم، بیت ارسال کنیم. در یک تناقض آشکار، مسائلی وجود دارد که الگوریتم‌های توزیع شده کوانتومی، به صورت بهینه توسط سیستم کلاسیک شبیه‌سازی نمی‌شوند. در این بخش، تفاوت اطلاعات و محاسبات توزیع شده برای یک سیستم با تنظیمات کوانتومی، چه به صورت کانال کوانتومی و چه به صورت استفاده از کیوبیت‌های درهم‌تنیده را نشان می‌دهیم و پروتکل‌های کوانتومی را برای چند مساله مطرح معرفی می‌کنیم. مطالب این بخش از [۳، ۸] اقتباس شده است.

---

<sup>1</sup>Holevo's Theorem

## ۸-۱ یک سوال کوانتومی

تصور کنید که آلیس و باب مسائل پیچیدگی ارتباطی، این اجازه را داشته باشند که در یک کانال کوانتومی و با ارسال کیوبیت‌ها با هم ارتباط برقرار کنند و یا این که قبل از شروع مخابره، با هم یک حالت کوانتومی درهم‌تنیده را تقسیم کنند.

برای مدل اول، فرض کنید که حالت بین دو طرف از سه قسمت تشکیل شده است، فضای مخفی آلیس، کانال و فضای مخفی باب. حالت شروع اولیه را برای یک تابع مانند  $f: X \times Y \rightarrow \{0, 1\}$  به صورت  $|y\rangle|0\rangle|x\rangle$  فرض کنید که در آن  $x \in X$  ورودی آلیس است و  $y \in Y$  ورودی باب و کانال در حالت اولیه  $|0\rangle$  قرار دارد. حال آلیس می‌تواند محاسبات و انتقال پیام روی کانال را با استفاده از عملگرهای یکانی بر روی حالت خودش و حالت کانال انجام دهد و باب به همین ترتیب. در انتهای پروتکل، آلیس یا باب با انجام یک اندازه‌گیری، نتیجه پروتکل را اعلام می‌کند. [۱۸]

در مدل دوم، آلیس و باب تعداد نامحدودی کیوبیت درهم‌تنیده با هم به اشتراک می‌گذارند، ولی در ادامه پروتکل از یک کانال کلاسیک با قابلیت ارسال بیت معمولی استفاده می‌کنند. برای محاسبه پیچیدگی، تنها بیت‌های ارسال شده را می‌شمریم و نه تعداد ای-بیت‌ها را. پروتکلی با این سیستم را می‌توان با استفاده از پروتکل مدل اول با سربار ۲ برابر شبیه‌سازی کرد، مانند کاری که در فرابرد کوانتومی کردیم. توجه کنید که یک بیت درهم‌تنیده می‌تواند حکم یک بیت تصادفی مشترک بین آلیس و باب را داشته باشد. [۶]

مدل سوم، از قدرت هر دو مدل استفاده می‌کند: آلیس و باب تعداد بی‌نهایتی کیوبیت در هم تنیده در اشتراک دارند و از یک کانال کوانتومی برای انتقال اطلاعات استفاده می‌کنند. توجه کنید که این مدل هم با یک سربار با ضریب ۲ معادل حالت دوم است، با استفاده از فرابرد کوانتومی.

حال سوالی که مطرح می‌شود این است: آیا به بهبودی دست می‌یابیم؟ طبق مقدمه، قضیه هولف نشان می‌دهد اطلاعات کوانتومی مخابره شده فراتر از اطلاعات کلاسیک مخابره شده نخواهد بود مگر آنکه یک حالت درهم‌تنیده داشته باشیم. ولی مساله‌ای که با آن روبرو هستیم، مساله مخابره اطلاعات کامل نیست. در واقع آلیس یا باب علاقه‌مند به ورودی طرف دیگر نیستند، بلکه هدف این کار محاسبه یک تابع  $f(x, y)$  با خروجی ۱ بیت است. مفهومی که مرز مخابره و محاسبه توزیع شده را جدا می‌کند، در مثال‌های زیر به خوبی نمایش داده شده است.

## ۸-۲ الگوریتم دوچ-جوزا: توزیع شده

اولین فاصله پیچیدگی ارتباطی کوانتومی و کلاسیک، در همتای ارتباطی و توزیع شده الگوریتم پرسوجوی دوچ-جوزا مطرح شد. [۷] در این مساله، آلیس و باب هر کدام یک رشته  $n$  بیتی دارند که برای این ورودی وعده‌ای به ما داده شده است. توجه کنید که این مساله، نوع وعده‌داده‌شده<sup>۱</sup> از مساله برابری است. وعده مذکور به شرح زیر است:

مساله دوچ-جوزا توزیع شده: یا  $x = y$  و یا  $x$  و  $y$  دقیقاً در  $n/2$  بیت‌ها با هم اختلاف دارند ( $n$  سائز ورودی‌های  $x$  و  $y$  است).

حال پروتکلی را مطرح می‌کنیم که با استفاده از  $\log(n)$  کیوبیت مساله را حل می‌کند:

۱. آلیس برای باب حالت  $-\log n$  کیوبیتی  $\frac{1}{\sqrt{n}} \sum_{i=1}^n (-1)^{x_i} |i\rangle$  را ارسال می‌کند. این حالت با استفاده از عملگر یکانی  $H$  و حالت اولیه  $|0\dots 0\rangle$  و عملگر یکانی  $T_f$  به دست می‌آید.
۲. باب هم عملگر  $|i\rangle \rightarrow (-1)^{y_i} |i\rangle$  را اعمال می‌کند و سپس عملگر هادامارد را. سپس اندازه‌گیری انجام می‌دهد.

۳. اگر خروجی اندازه‌گیری برابر با  $|0^{\log n}\rangle$  بود، خروجی ۱ می‌دهد و در غیر این صورت خروجی ۱.

توجه کنید که تنها  $\log n$  کیوبیت مخابره شده است. همچنین، برای فهم درستی قضیه به این توجه کنید که حالتی که در نهایت باب اندازه‌گیری می‌کند، در حالت برهم‌نهی شده زیر است:

$$H^{\otimes \log n} \left( \frac{1}{\sqrt{n}} \sum_{i=1}^n (-1)^{x_i + y_i} |i\rangle \right) = \frac{1}{n} \sum_{i=1}^n (-1)^{x_i + y_i} + \sum_{j \in \{0,1\}^{\log n}} (-1)^{i \cdot j} |j\rangle \quad (1-8)$$

تنها مساله‌ای که در مورد عبارت فوق باید به آن توجه کنیم آن است که ضریب پایه  $|0^{\log n}\rangle$  در هر حالت برابر با چند می‌شود. با کمی بررسی متوجه می‌شویم که این ضریب برابر با  $\frac{1}{n} \sum_{i=1}^n (-1)^{x_i + y_i}$  که برابر با یک خواهد بود اگر و تنها اگر  $x = y$ . ادامه درستی مساله مانند فصل پیشین است.

این پیشرفت در مخابره درحالی است که اگر می‌خواستیم این عملیات را با مخابرات کلاسیک و قطعی انجام دهیم، پیچیدگی معادل با  $O(n)$  می‌داشتیم.

## ۸-۲-۱ مساله اشتراک

اگر آلیس و باب هر کدام یک ورودی به اندازه  $n$  بیت داشته باشند، که  $x$  ورودی آلیس و  $y$  ورودی باب باشد، هدف از مخابره یافتن  $i$  است که  $x_i = y_i$ . تلاش می‌کنیم بر اساس الگوریتم جست‌وجوی گروور، یک پروتکل

<sup>1</sup>Promise Problem

بهبهینه برای این مساله ارائه دهیم. [۷] لازم است ابتدا بدانیم ورودی مساله جست‌وجوی ما چیست. قرار دهید که

$$z_i = x_i \wedge y_i. \quad (۲-۸)$$

در نتیجه مساله جست‌وجو برابر با یافتن  $i$ ی خواهد بود که در آن  $z_i = 1$ . ایده اصلی آن است که آلیس و باب با کمک به هم الگوریتم گروور را اجرا کنند. نکته‌ای که نیاز به همکاری در آن حس می‌شود، عملگر یکانی  $T_z$  است. آلیس برای این که بدون آن که اطلاعاتی به صورت بیتی به باب در مورد ورودی خودش بدهد، بتواند عملگر  $T_z$  را روی یک حالت مانند  $|\phi\rangle$  اجرا کند، که

$$|\phi\rangle = \sum_{i=1}^n \alpha_i |i\rangle \quad (۳-۸)$$

لازم است از یک کیوبیت کمکی استفاده کند و توجه کنید که حالت  $|\phi\rangle$  یک حالت  $\log n$  کیوبیتی است. آلیس یک کیوبیت با مقدار اولیه 0 در کنار  $\log n$  کیوبیت دیگر قرار می‌دهد و سپس عملگر  $O_x$  را روی آن اجرا می‌کند:

$$|\phi\rangle \rightarrow^{\otimes|0\rangle} |\phi\rangle |0\rangle \rightarrow^{O_x} T_x |\phi\rangle |0\rangle = \sum_{i=1}^n \alpha_i |i\rangle |x_i\rangle \quad (۴-۸)$$

سپس آلیس این  $\log n + 1$  کیوبیت را برای باب می‌فرستد.

باب عملگر یکانی زیر را اعمال می‌کند و سپس نتیجه را برای آلیس می‌فرستد.

$$|i\rangle |x_i\rangle \rightarrow (-1)^{x_i \wedge y_i} |i\rangle |x_i\rangle \quad (۵-۸)$$

آلیس آخرین کیوبیت را برابر با  $|0\rangle$  می‌گذارد (چون  $x$  را دارد این عمل یکانی است). پس در نتیجه، آلیس  $|\phi\rangle$  را دارد. در نتیجه، آلیس و باب می‌توانند با  $O(\log n)$  کیوبیت مخابره، یک بار اعمال  $T_z$  را شبیه‌سازی کنند. برای اجرای کامل الگوریتم جست‌وجو، نیاز به  $\sqrt{n}$  مرحله مخابره داریم که در نهایت پیچیدگی کوانتومی  $O(\log n \sqrt{n})$  برای این مساله نشان داده می‌شود. درحالی است که این مساله حتی در حالت احتمالاتی پیچیدگی کلاسیک  $O(n)$  را دارد.

## فصل نهم

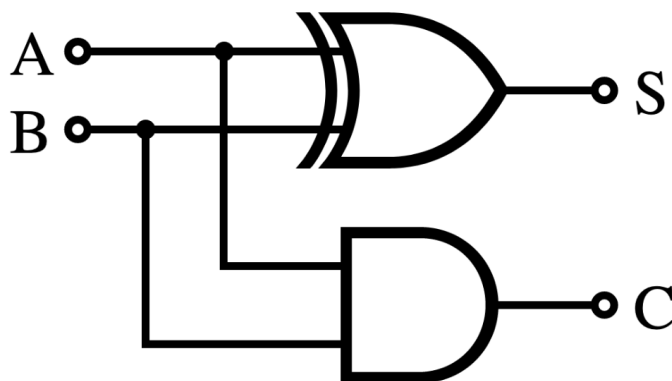
### شبیه‌سازی الگوریتم‌ها و پروتکل‌های کوانتومی

در مورد این مساله که ذات مکانیک کوانتومی پیچیده است شکی نداریم. مساله‌ای که از آن پیچیده‌تر به نظر می‌رسد، الگوریتم‌های کوانتومی هستند. شهود بشریت با مسائلی مانند توپ و اهرم سازگارتر از مفاهیمی مانند الکترون و فوتون است و به نظر می‌رسد اتفاقاتی که در دنیای کوانتومی رخ می‌دهد چیزی شبیه جادو باشد. اما با کمی درنگ متوجه می‌شویم که همانند فیزیک کلاسیک، فیزیک کوانتومی از یک سری قانده و اصول مشخص پیروی می‌کند. اصولی که با بهره‌برداری هوشمندانه به بشریت در محاسبات، شبیه‌سازی و ... قدرتی بیش از پیش می‌دهد. برای ما، اولین قدم برای درک این قدرت محاسبات کوانتومی است.

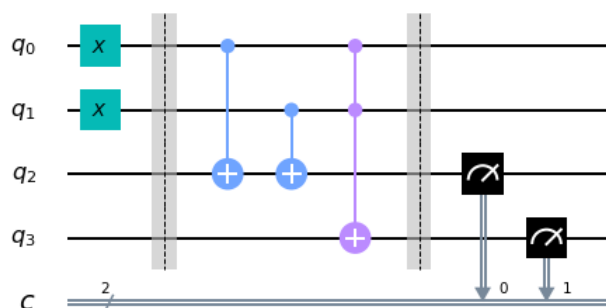
#### ۹-۱ مدار کوانتومی

در دنیای کلاسیک، هر اطلاعاتی را می‌توان به صورت بیت‌های 0 و 1 نشان داد. همچنین، محاسبات را می‌توان از طریق مدارهای دیجیتالی پیش برد. مداری مانند شکل ۹-۱ را به یاد بیاورید. در مورد دنیای محاسبات کوانتومی نیز همین مساله صادق است. مثلاً مدار کوانتومی شکل ۹-۲ کار مدار دیجیتالی شکل ۹-۱ را انجام می‌دهد. که همان جمع دو بیت و یا دو کیوبیت است. ابزاری که در ادامه برای شبیه‌سازی مفاهیم و الگوریتم‌های کوانتومی استفاده می‌کنیم کتابخانه پایتون *qiskit* [۱] محصول شرکت *IBM* از پیشروهای علم محاسبات

شکل ۹-۱: مدار دیجیتالی ساده



شکل ۹-۲: مدار کوانتومی ساده



کوانتومی است.

۹-۱-۱ اندازه‌گیری

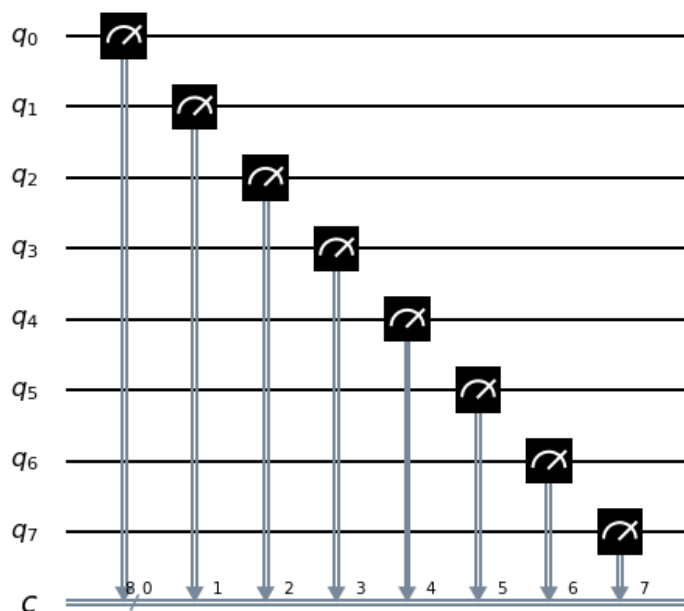
در شکل کد ۹-۳ تلاش می‌کنیم یک مدار کوانتومی ساده با اندازه اولیه ۸ کیوبیت که همه در حالت  $|0\rangle$  بسازیم و سپس آن‌ها را اندازه بگیریم. شکل مدار به صورت ۹-۴ خواهد بود. به نمادی که برای اندازه‌گیری مشخص

شکل ۹-۳: ساخت مدار کوانتومی با ۸ کیوبیت و سپس اندازه‌گیری

```
from qiskit import QuantumCircuit, execute, Aer
from qiskit.visualization import plot_histogram
n = 8
n_q = n
n_b = n
qc_output = QuantumCircuit(n_q, n_b)
for j in range(n):
    qc_output.measure(j, j)
qc_output.draw()
```

می‌کنیم توجه کنید. توجه کنید که کامپیوترهای کوانتومی و محاسبات کوانتومی شامل مقداری رفتار تصادفی هستند. به همین منظور، گاهی نتایج چندین بار تکرار می‌شود تا به صورت آماری-احتمالی نتایج بررسی شود.

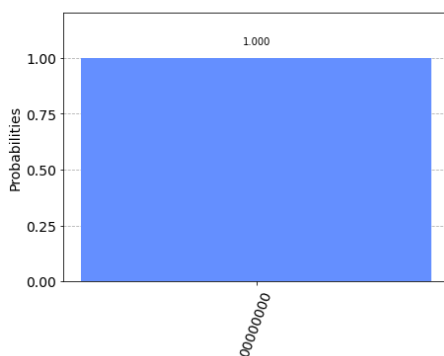
شکل ۹-۴: مدار کوانتومی اندازه‌گیری



مانند شکل ۹-۵. همچنین خوب است بدانیم که چون این ماشین‌های کلاسیک هستند که عملکرد ماشین

شکل ۹-۵: بردار نتایج بعد از چندبار اجرا

```
In [8]: counts = execute(qc_output, Aer.get_backend('qasm_simulator')).result().get_counts()
        plot_histogram(counts)
```



کوانتومی را شبیه‌سازی می‌کند، توانایی بیشتر از 30 کیوبیت محاسبه را ندارند.

#### ۹-۱-۲ مدار جمع‌کننده

برای طراحی مدارهای بیشتر، لازم است که با گیت‌های بیشتری آشنا شویم. به یاد داریم که گفته بودیم هر گیت کوانتومی یک عملگر یکانی است. پس عملگرهای یکانی مانند

$$X = \begin{pmatrix} 0 & 1 \\ 1 & 0 \end{pmatrix} \quad (۹-۱)$$

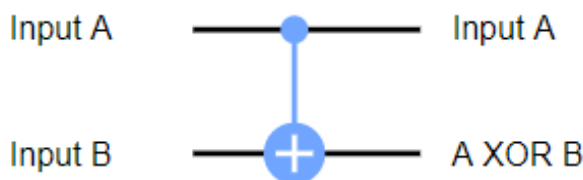
$$Z = \begin{pmatrix} 0 & 1 \\ 1 & 0 \end{pmatrix} \quad (۲-۹)$$

$$H = \frac{1}{\sqrt{2}} \begin{pmatrix} 1 & 1 \\ 1 & -1 \end{pmatrix} \quad (۳-۹)$$

$$CX = \begin{pmatrix} 1 & 0 & 0 & 0 \\ 0 & 1 & 0 & 0 \\ 0 & 0 & 0 & 1 \\ 0 & 0 & 1 & 0 \end{pmatrix} \quad (۴-۹)$$

همه گیت‌های منطقی کوانتومی برگشت‌پذیر هستند. توجه کنید که عملگر دو کیوبیتی  $CX$  یا نات<sup>۱</sup> کنترل‌شده<sup>۱</sup> عملگری است که برای هر دو کیوبیت ورودی، اگر کیوبیت اولیه برابر با 1 باشد، خروجی دوم را  $NOT$  ورودی دوم قرار می‌دهد و بالعکس. همچنین خروجی اول با ورودی اول برابر است. به شکل ۹-۶ توجه کنید. همانطور که می‌بینید، این عملگر همان  $XOR$  است، اما برگشت‌پذیر هم هست! نکته‌ای که در دنیای دیجیتال

شکل ۹-۶: گیت  $CX$



نداریم.

حال لازم است که یک گیت  $AND$  هم داشته باشیم که برگشت‌پذیر هم باشد. گیت کوانتومی معادلی آن، گیت  $Tofoli$  است که روی فضای 3 کیوبیت اعمال می‌شود.

$$CCX = \begin{pmatrix} 1 & 0 & 0 & 0 & 0 & 0 & 0 & 0 \\ 0 & 1 & 0 & 0 & 0 & 0 & 0 & 0 \\ 0 & 0 & 1 & 0 & 0 & 0 & 0 & 0 \\ 0 & 0 & 0 & 1 & 0 & 0 & 0 & 0 \\ 0 & 0 & 0 & 0 & 1 & 0 & 0 & 0 \\ 0 & 0 & 0 & 0 & 0 & 1 & 0 & 0 \\ 0 & 0 & 0 & 0 & 0 & 0 & 0 & 1 \\ 0 & 0 & 0 & 0 & 0 & 0 & 1 & 0 \end{pmatrix} \quad (۵-۹)$$

<sup>۱</sup>Controlled-Not



این گیت، اگر دو کیوبیت ورودی اول 1 باشند، خروجی 1 می‌دهند.

حال لازم است مدار را بسازیم:

۱. لازم است که دو بیت اول با هم  $XOR$  بشوند تا بیت کم ارزش مشخص شود.

۲. برای مشخص کردن بیت پر ارزش هم لازم است که دو کیوبیت با هم  $AND$  بشوند.

۳. برای این کارها، ۴ کیوبیت تعریف می‌کنیم. دو ورودی، دو خروجی و دو بیت کلاسیک برای اندازه‌گیری.

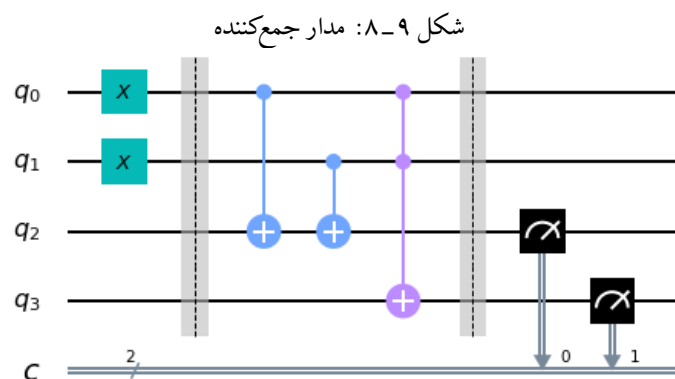
کد شکل ۹-۷ قرار است دو کیوبیت در حالت  $|1\rangle$  و  $|1\rangle$  را جمع کند. مدار نهایی در شکل ۹-۸ نشان داده

شکل ۹-۷: کد مدار جمع‌کننده

```
In [8]: qc_ha = QuantumCircuit(4,2)
# encode inputs in qubits 0 and 1
qc_ha.x(0)
qc_ha.x(1)
qc_ha.barrier()
# use cnots to write the XOR of the inputs on qubit 2
qc_ha.cx(0,2)
qc_ha.cx(1,2)
# use ccx to write the AND of the inputs on qubit 3
qc_ha.ccx(0,1,3)
qc_ha.barrier()
# extract outputs
qc_ha.measure(2,0) # extract XOR value
qc_ha.measure(3,1) # extract AND value

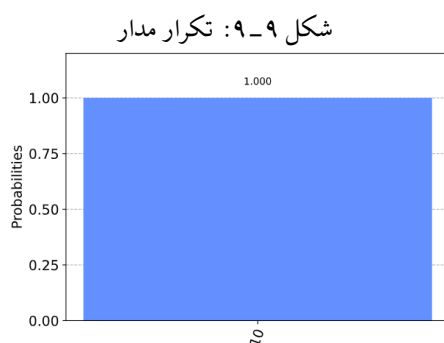
qc_ha.draw()
```

شده است. مانند حالت پیشین تعدادی بار این کار را تکرار می‌کنیم تا نتیجه را ببینیم. (شکل ۹-۹)



۹-۲ فرابرد کوانتومی

در این مرحله، یک کد ساده برای اجرای فرابرد کوانتومی اجرا می‌کنیم. مراحل کار را به یاد می‌آوریم:



۱. ابتدا آلیس و باب می‌بایست دو کیوبیت درهم‌تنیده در اشتراک بگذارند.

۲. آلیس عملگر هادامارد را روی کیوبیتی که می‌خواهد ارسال کند، اجرا می‌کند.

۳. آلیس مقدار کیوبیت خود و کیوبیت ارسالی را اندازه می‌گیرد.

۴. مقدارهای به دست آمده را در اختیار باب می‌گذارد.

۵. باب با توجه به مقادیر به دست آمده، عملگرهای مختلف را روی کیوبیت خودش اعمال می‌کند.

در شکل ۹-۱۰ کد مربوط به این کار را می‌بینید. در شکل ۹-۱۱ که مدار نهایی را نشان می‌دهد، کیوبیت اول بنا است که ارسال شود. کیوبیت دوم و سوم درهم‌تنیده شده‌اند و کیوبیت دوم در اختیار آلیس و کیوبیت سوم در اختیار باب است. در نهایت، نتیجه اندازه‌گیری آلیس بر روی دو ثبات کلاسیک می‌نشیند که در اختیار باب است و با توجه به نتیجه آن‌ها، عملگرهای  $X$  و  $Z$  را روی کیوبیت خود اجرا می‌کند. شکل مدار به صورت ۹-۱۱ است.

در نهایت با اندازه‌گیری حالت باب در یک ثبات دیگر می‌توانیم ببینیم چگونه آخرین کیوبیت اندازه‌گیری شده همواره ۰ است.

### ۹-۳ الگوریتم دوچ-جوزا

برای یادآوری، مراحل زیر یک اجرای الگوریتم دوچ-جوزا برای تشخیص ثابت یا مجموع صفر بودن تابع  $f$  است.

۱. دو ثبات کوانتومی آماده می‌کنیم. یکی با  $n$  بیت و دیگری با ۱ بیت. اولی را با ۰ مقداردهی اولیه می‌کنیم و دومی را با ۱.

$$|\psi_0\rangle = |0\rangle^{\otimes 0} |1\rangle \quad (۹-۶)$$

شکل ۹-۱۰: کد مدار فرابرد کوانتومی

```
In [11]: # Protocol uses 3 qubits and 2 classical bits in 2 different registers
qr = QuantumRegister(3)
crz, crx = ClassicalRegister(1), ClassicalRegister(1)
teleportation_circuit = QuantumCircuit(qr, crz, crx)

## STEP 1
def create_bell_pair(qc, a, b):
    qc.h(a) # Put qubit a into state |+>
    qc.cx(a,b) # CNOT with a as control and b as target
create_bell_pair(teleportation_circuit, 1, 2)

## STEP 2
teleportation_circuit.barrier()
def alice_gates(qc, psi, a):
    qc.cx(psi, a)
    qc.h(psi)
alice_gates(teleportation_circuit, 0, 1)

## STEP 3
def measure_and_send(qc, a, b):
    qc.barrier()
    qc.measure(a,0)
    qc.measure(b,1)
measure_and_send(teleportation_circuit, 0,1)

## STEP 4
teleportation_circuit.barrier() # Use barrier to separate steps
def bob_gates(qc, qubit, crz, crx):
    qc.x(qubit).c_if(crx, 1) # Apply gates if the registers
    qc.z(qubit).c_if(crz, 1) # are in the state '1'
bob_gates(teleportation_circuit, 2, crz, crx)
teleportation_circuit.draw()
```

۲. سپس عملگر هادامارد را روی هر کیوبیت اجرا می‌کنیم.

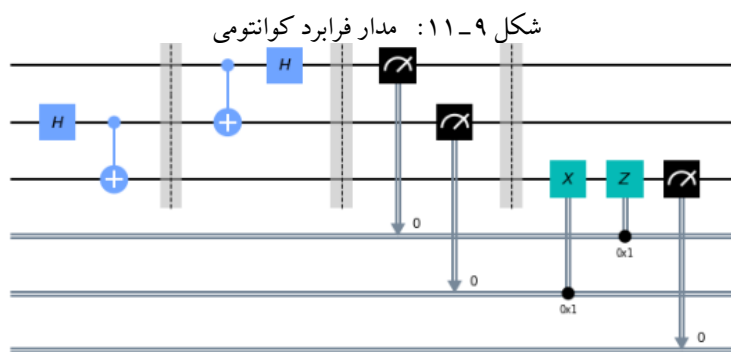
$$|\psi_1\rangle = \frac{1}{\sqrt{2^{n+1}}} \sum_{x=0}^{2^n-1} |x\rangle (|0\rangle - |1\rangle) \quad (۷-۹)$$

۳. جعبه سیاه تابع  $f$  را به این صورت اعمال می‌کنیم که در شکل ۹-۱۳ نشان داده شده است.

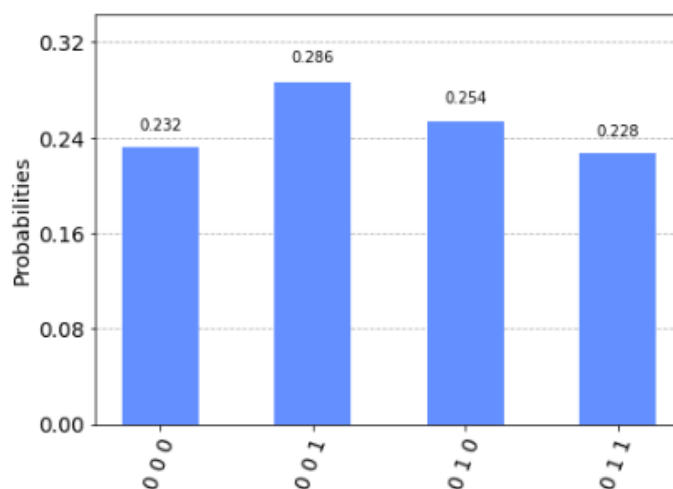
$$\begin{aligned} |\psi_2\rangle &= \frac{1}{\sqrt{2^{n+1}}} \sum_{x=0}^{2^n-1} |x\rangle (|f(x)\rangle - |f(x) \oplus 1\rangle) \\ &= \frac{1}{\sqrt{2^{n+1}}} \sum_{x=0}^{2^n-1} (-1)^{f(x)} |x\rangle (|0\rangle - |1\rangle) \end{aligned} \quad (۸-۹)$$

۴. در این مرحله، کیوبیت دوم را حذف می‌کنیم و یک بار دیگر هادامارد را اعمال می‌کنیم.

$$\begin{aligned} |\psi_3\rangle &= \frac{1}{2^n} \sum_{x=0}^{2^n-1} (-1)^{f(x)} \left[ \sum_{y=0}^{2^n-1} (-1)^{x \cdot y} |y\rangle \right] \\ &= \frac{1}{2^n} \sum_{y=0}^{2^n-1} \left[ \sum_{x=0}^{2^n-1} (-1)^{f(x)} (-1)^{x \cdot y} \right] |y\rangle \end{aligned} \quad (۹-۹)$$

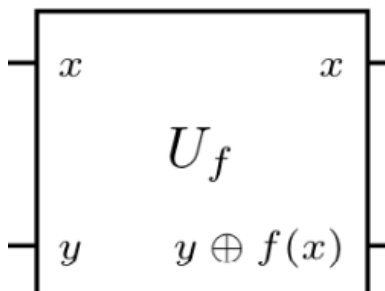


شکل ۹-۱۲: نتیجه اجرای کد به تعداد زیاد



۵. در نهایت با اندازه‌گیری کلیه کیوبیت‌ها، نتیجه‌گیری می‌کنیم.

در مرحله اول، تلاش می‌کنیم که یک جعبه سیاه برای این تابع بسازیم. بدین منظور، لازم است که شکل تابع را مشخص کنیم. فرض کنید عملیات را روی 4 کیوبیت انجام می‌دهیم. در شکل ۹-۱۴، دقیقاً عملیاتی که در مرحله سوم الگوریتم بالا رخ داد انجام شده است. در این تابع، یک تابع مجموع صفر را برنامه نویسی می‌کنیم. که شکل ۹-۱۵ این مدار را نشان می‌دهد. در ادامه، لازم است ورودی‌ها را بچینیم و مرحله 1 و 2 را انجام دهیم. سپس جعبه سیاه را وصله کنیم و مرحله 4 و 5 را اعمال کنیم. برای اینکار به شکل ۹-۱۶ توجه کنید. که مدار آن را در شکل ۹-۱۷ می‌بینیم. در نهایت، اجرای چندباره این الگوریتم با این تابع نشان می‌دهد احتمال گرفتن 0000 در خروجی 0 است. (شکل ۹-۱۸)

شکل ۹-۱۳: چعبه سیاه تابع  $f$ 

شکل ۹-۱۴: کد دوچ-جوزا - چعبه سیاه

```

balanced_oracle = QuantumCircuit(4+1)
b_str = "1010"

# Place X-gates
for qubit in range(len(b_str)):
    if b_str[qubit] == '1':
        balanced_oracle.x(qubit)
balanced_oracle.barrier()

# Controlled-NOT gates
for qubit in range(4):
    balanced_oracle.cx(qubit, 4)

balanced_oracle.barrier()

# Place X-gates
for qubit in range(len(b_str)):
    if b_str[qubit] == '1':
        balanced_oracle.x(qubit)

# Show oracle
balanced_oracle.draw()

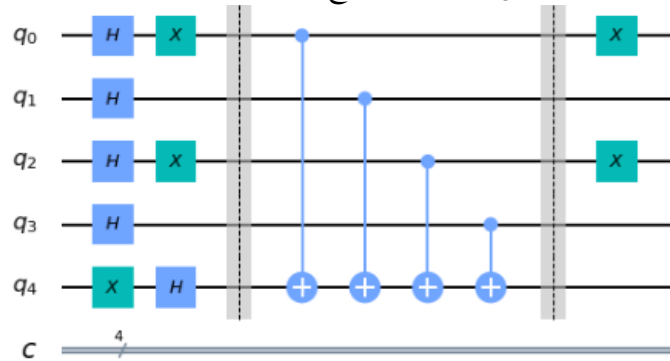
```

#### ۹-۴ الگوریتم دوچ-جوزا توزیع شده

در ادامه قسمت قبل، الگوریتم ارائه شده در قسمت ۸-۲ را پیاده سازی می کنیم. کد مربوط به این قسمت نسبت به کدهای قبلی طولی تر است و ارائه قسمت به قسمت آن در این مجال ممکن نیست. در پیوست دوم (قسمت ۲-)، کل کد تکه به تکه به همراه مدار مربوط به هر قسمت به تفصیل بررسی خواهد شد.

مدار نهایی و نتیجه اجرای کد، در شکل های ۹-۲۰ و ۹-۱۹ آورده شده است.

شکل ۹-۱۵: مدار دوچ-جوزا - جعبه سیاه



شکل ۹-۱۶: کد دوچ-جوزا

```
dj_circuit = QuantumCircuit(4+1, 4)

# Apply H-gates
for qubit in range(4):
    dj_circuit.h(qubit)

# Put qubit in state |->
dj_circuit.x(4)
dj_circuit.h(4)

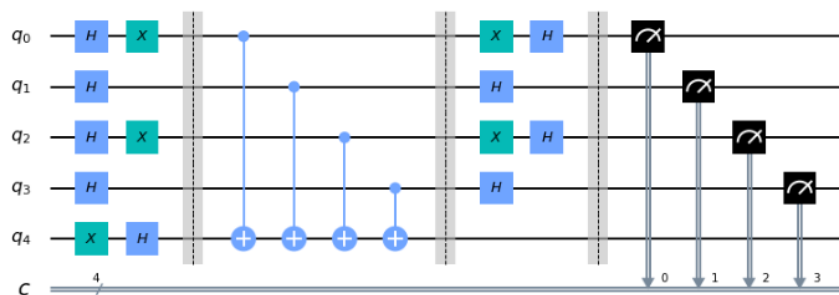
# Add oracle
dj_circuit += balanced_oracle

# Repeat H-gates
for qubit in range(4):
    dj_circuit.h(qubit)
dj_circuit.barrier()

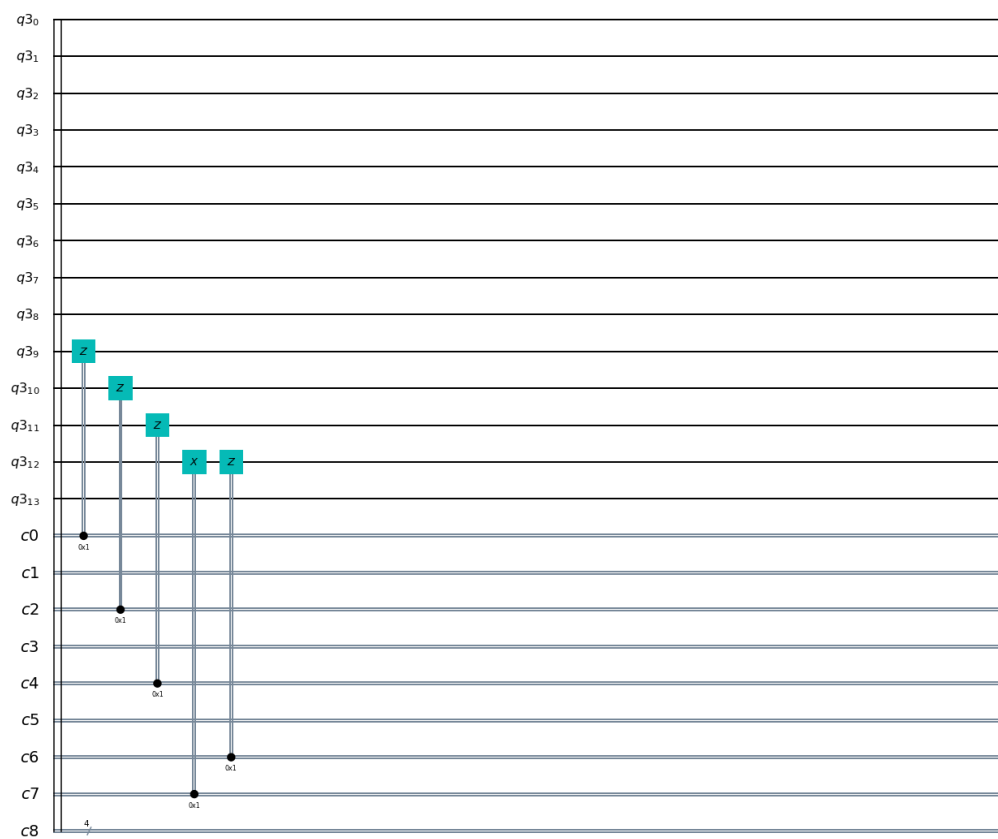
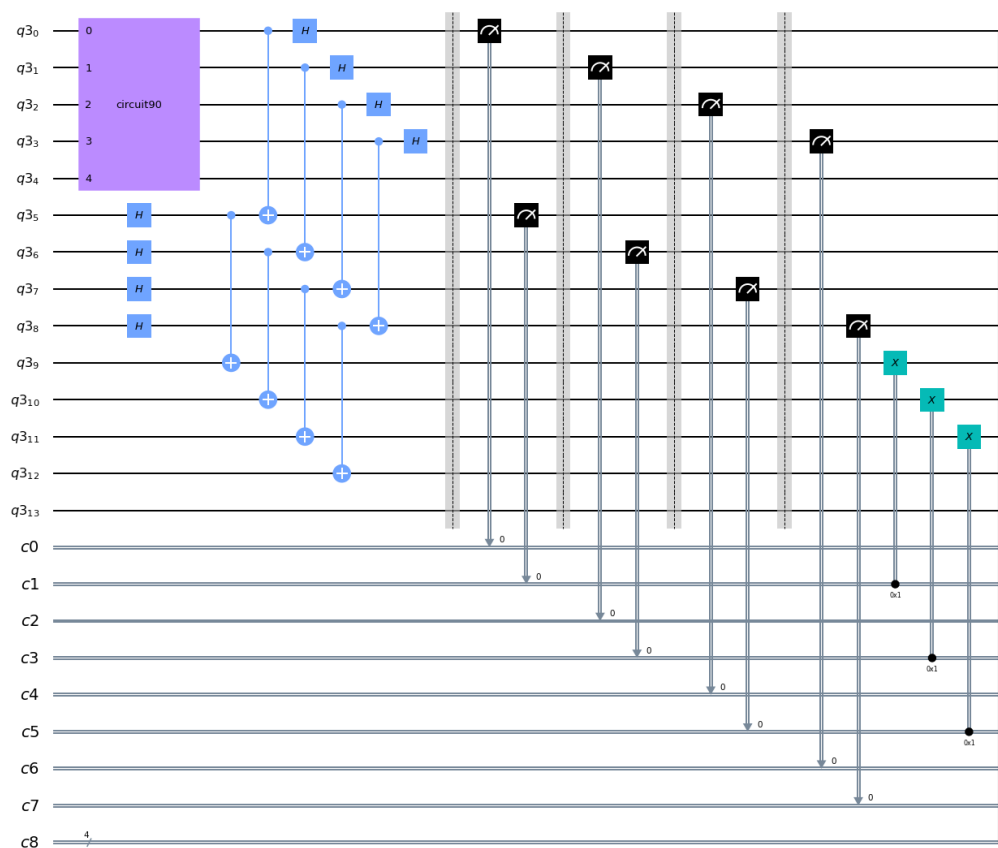
# Measure
for i in range(4):
    dj_circuit.measure(i, i)

# Display circuit
dj_circuit.draw()
```

شکل ۹-۱۷: مدار دوچ-جوزا







شکل ۹-۲۰: مدار نهایی استفاده شده توسط آلیس (بالا) و باب (پایین) در الگوریتم دوچ جوزا توزیع شده.





۱- پیوست: مبانی ریاضی مکانیک کوانتومی

در این بخش با ریاضیات مورد نیاز برای فهم چارچوب نظری مکانیک کوانتومی آشنا می‌شویم. مطالب این بخش از [۵، ۸، ۱۲، ۱۷] اقتباس شده است.

۱-۱- فضای برداری

مجموعه  $V$  را یک فضای برداری روی میدان  $F$  می‌گوییم هرگاه دو عمل زیر تعریف شده

$$+ : V \times V \rightarrow V, \quad \cdot : F \times V \rightarrow V \quad (10)$$

و دارای خواص زیر باشند:

$$A_1 : x + y = y + x$$

$$A_2 : (x + y) + z = x + (y + z)$$

$$A_3 : \exists 0 \in V | 0 + x = x$$

$$A_4 : \forall x \in V | -x + x = 0$$

(11)

$$M_1 : \alpha(x + y) = \alpha x + \alpha y$$

$$M_2 : (\alpha + \beta)x = \alpha x + \beta x$$

$$M_3 : \alpha(\beta x) = (\alpha\beta)x$$

$$M_4 : 1x = x$$

بسته به این که  $F$  میدان اعداد حقیقی یا میدان اعداد مختلط باشد، فضای برداری  $V$  را فضای برداری مختلط یا حقیقی می‌گوییم. از این به بعد منحصراً با فضاهای برداری مختلط کار می‌کنیم.

مثال ۱۰. مجموعه‌های زیر هرکدام یک فضای برداری هستند.

۱.  $R^n$  یا مجموعه  $n$ -تایی‌های مرتب حقیقی

۲.  $C^n$  یا مجموعه  $n$ -تایی‌های مرتب مختلط

۳.  $M_{m \times n}(F)$  یا مجموعه ماتریس‌های  $m \times n$  که درایه‌های آن عناصر یک میدان  $F$  هستند.

۴.  $P_n([a, b])$  یا مجموعه چندجمله‌ای‌های حقیقی مرتبه  $n$  از متغیر  $x$  که در فاصله  $[a, b]$  تعریف شده‌اند.

۵.  $C^k[a, b]$  یا مجموعه توابع حقیقی یا مختلط  $k$  بار مشتق‌پذیر در بازه  $[a, b]$ .

تعریف ۹. هرگاه  $V$  یک فضای برداری و  $W \subset V$  یک زیر مجموعه از آن باشد، آنگاه  $W$  را یک زیرفضای  $V$  گوئیم اگر  $W$  نسبت به جمع بردارها و ضرب اعداد در بردارها بسته باشد.

۱-۲ ضرب داخلی و اندازه

تعریف: در یک فضای برداری  $V$  یک عمل دوتایی  $\langle \cdot, \cdot \rangle : V \times V \rightarrow C$  را یک ضرب داخلی می نامیم هرگاه در شرایط زیر صدق کند:

$$\langle x, y + \alpha z \rangle = \langle x, y \rangle + \alpha \langle x, z \rangle \quad (12)$$

$$\langle x, y \rangle = \langle y, x \rangle^* \quad (13)$$

$$\langle x, x \rangle \geq 0 \quad (14)$$

$$\langle x, x \rangle = 0 \rightarrow x = 0 \quad (15)$$

فضایی را که به ضرب داخلی مجهز شده باشد یک فضای برداری ضرب داخلی می گوئیم.

قضیه ۹. کوشی-شوارتز: در فضای ضرب داخلی داریم:

$$|\langle x, y \rangle| = \langle x, x \rangle \langle y, y \rangle. \quad (16)$$

تعریف ۱۰. اندازه یک بردار: در هر فضای ضرب داخلی، می توان اندازه یک بردار را به شکل زیر تعریف کرد:

$$|x| := \sqrt{\langle x, x \rangle} \quad (17)$$

با توجه به نامساوی کوشی-شوارتز می توان نوشت:

$$|\langle x, y \rangle| = |x| |y| \quad (18)$$

تعریف ۱۱. فضای نرم یا اندازه‌دار: یک فضای برداری  $V$  که در آن نگاشت  $\| \cdot \| : V \rightarrow R$  تعریف شده باشد را فضای برداری اندازه‌دار<sup>۱</sup> می‌گوییم هرگاه شرایط زیر برقرار باشد:

$$\|v\| \geq 0 \quad \forall v \quad (۱۹)$$

$$\|v\| = 0 \rightarrow v = 0 \quad (۲۰)$$

$$\|\alpha v\| = |\alpha| \|v\| \quad (۲۱)$$

$$\|v + w\| \leq \|v\| + \|w\| \quad (۲۲)$$

هرفضای ضرب داخلی باهمان اندازه‌ای که از روی ضرب داخلی تعریف می‌شود یک فضای اندازه‌دار است، ولی یک فضای اندازه‌دار الزاماً یک فضای ضرب داخلی نیست. به عبارت دیگر، اندازه لزوماً از روی ضرب داخلی تعریف نشده است. برای مثال، برای فضای توابع  $C[a, b]$  نگاشت  $\|f\| = \sup_{x \in [a, b]} |f(x)|$  یک اندازه است که از روی ضرایب داخلی تعریف نشده است.

۳-۱- پایه

پایه به‌هنگار<sup>۲</sup>  $\{e_i, i = 1, \dots, N\}$  را برای فضای برداری  $V$  در نظر می‌گیریم. به‌هنگار بودن به معنای آن است که  $\langle e_i, e_j \rangle = \delta_{ij}$ . هر بردار  $x \in V$  را می‌توان بر حسب این بردارهای پایه بسط داد و نوشت:

$$x = \sum_{i=1}^N x_i e_i \quad (۲۳)$$

بدیهی است که

$$x_i = \langle e_i, x \rangle \quad (۲۴)$$

پایه‌ها را می‌توان با یک ماتریس تبدیل پایه دو بعدی مانند  $S$ ، به یک دیگر تبدیل کرد. برای مثال، فرض کنید که بردار  $x$  را که در پایه  $e_i$  است را می‌خواهیم در پایه  $e'_i$  بنویسیم. لازم است درایه‌های ماتریسی آن را

<sup>۱</sup>Normed Vector Space

<sup>۲</sup>Normal

استخراج کنیم. در نظر بگیرید  $e'_i = S_{li}e_l$ :

$$x'_i = \langle e'_i, x \rangle = \langle S_{li}e_l, x \rangle = S_{li}x_l \quad (25)$$

و یا به صورت فشرده‌تر:

$$x' = xS. \quad (26)$$

از آنجا که پایه‌های  $\{e_i\}$  و  $\{e'_i\}$  هر دو بهنجار هستند به راحتی نتیجه می‌گیریم که ماتریس تبدیل پایه  $S$  در شرط زیر صدق می‌کند:

$$S^\dagger S = I \quad (27)$$

چنین ماتریسی را ماتریس‌های یکانی<sup>۱</sup> می‌گوییم.

که در آن  $S^\dagger$  ماتریس الحاقی<sup>۲</sup>  $S$  است و چنین تعریف می‌شود:

$$S^\dagger = (S^*)^T \quad \text{or} \quad S^\dagger_{ij} = (S^*)_{ji} \quad (28)$$

همچنین هرگاه ماتریس با الحاقی خود برابر باشد، آن را ماتریس هرمیتی می‌گوییم:

$$S^\dagger = S. \quad (29)$$

#### ۴-۱- فضای کامل و هیلبرت

تعریف ۱۲. دنباله کوشی: در یک فضای برداری، دنباله‌ای از بردارها مانند  $\{x_1, x_2, \dots, x_n, \dots\}$  در نظر می‌گیریم. این دنباله، یک دنباله کوشی نامیده می‌شود هرگاه فاصله بین بردارها به تدریج کم شود؛ به عبارت دقیق‌تر، هرگاه به ازای هر  $\epsilon > 0$  عددی مانند  $N$  یافت شود که

$$\forall m, n > N \rightarrow |x_n - x_m| \leq \epsilon \quad (30)$$

در یک فضای برداری، لزوماً حد کوشی در خود فضا قرار ندارد. مثلاً، هرگاه میدان اعداد گویا را به عنوان یک فضای برداری روی خودش در نظر بگیریم، دنباله  $\{(1 + \frac{1}{n})^n\}$  اگرچه یک دنباله کوشی است، ولی حد آن در میان اعداد گویا قرار ندارد. با افزودن اعداد گنگ به میدان، یک فضای برداری میدان حقیقی به دست می‌آید که کامل است.

<sup>1</sup>Unitary

<sup>2</sup>Conjugate Transpose

تعریف ۱۳. یک فضای برداری را فضای برداری کامل گوئیم هرگاه حد دنباله کوشی را در خود داشته باشد.

تعریف ۱۴. یک فضای برداری با ضرب داخلی کامل را فضای هیلبرت<sup>۱</sup> می‌نامیم. از آنجایی که میدان اعداد حقیقی و مختلط کامل است، می‌توان ثابت کرد هر فضا با بعد محدود روی این میدان‌ها هیلبرت است.

#### ۵-۱- تبدیلات خطی

در یک فضای برداری  $V$ ، نگاشت  $\hat{T} : V \rightarrow V$  را یک تبدیل خطی یا یک عملگر خطی<sup>۲</sup> می‌گوئیم هرگاه دارای خاصیت زیر باشد:

$$\hat{T}(x + \alpha y) = \hat{T}(x) + \alpha \hat{T}(y) \quad \forall \alpha \in F, x, y \in V \quad (۳۱)$$

ماتریس  $T$  با درایه‌های  $T_{mn}$  را ماتریس مربوط به تبدیل خطی  $\hat{T}$  در پایه  $\{e_i\}$  می‌گوئیم. هرگاه پایه فوق به‌هنگار باشد، می‌توانیم بنویسیم

$$\langle e_j, \hat{T}e_i \rangle = T_{ji} \quad (۳۲)$$

تاثیر تابع  $\hat{T}$  روی بردار  $x$  عبارت است از:

$$\hat{T}x = \hat{T}x_i e_i = x_i (\hat{T}e_i) = x_i T_{ji} e_j = (T_{ji} x_i) e_j = (Tx)_j e_j \quad (۳۳)$$

که برابر با ضرب از سمت چپ ماتریس  $T$  روی  $x$  است.

همچنین، با تعویض پایه، ماتریس تغییر می‌یابد:

$$T'_{ij} = \langle e'_i, \hat{T}e'_j \rangle = \langle S_{li} e_l, \hat{T} S_{mj} e_m \rangle = S_{li}^* T_{lm} S_{mj} \quad (۳۴)$$

که به صورت زیر قابل بازنویسی است:

$$T' = S^\dagger T S \quad (۳۵)$$

هرگاه  $A$  و  $B$  دو تبدیل خطی دلخواه روی  $V$  و  $\alpha$  عددی دلخواه متعلق به میدان  $F$  باشد، آنگاه  $\alpha A + B$  نیز یک تبدیل خطی روی  $V$  است. در نتیجه، مجموعه تبدیلات خطی روی  $V$  تشکیل یک فضای برداری می‌دهند که آن را با  $End(V)$  نشان می‌دهیم. همچنین، ضرب دو تبدیل خطی با تعریف

$$(AB)x := A(Bx) \quad (۳۶)$$

<sup>۱</sup>Hilbert Space

<sup>۲</sup>Linear Operator

نیز یک تبدیل خطی است. پس می‌توان گفت که  $End(V)$  نه تنها یک فضای برداری است بلکه یک جبر است که خاصیت شرکت پذیری دارد  $((AB)C = A(BC)S)$  ولی جبر جابه‌جایی ندارد  $(AB \neq BA)$  اما یک‌دار<sup>۱</sup> است که یعنی عنصری دارد مانند  $I$  که  $AI = IA = A$ .

دیدیم که به یک عملگر خطی می‌توان یک ماتریس نسبت داد. وقتی که پایه فضا را معین می‌کنیم، بین فضای تبدیلات خطی یعنی  $End(V)$  و فضای ماتریس‌های  $M_{n \times n}(C)$  یک نگاشت یک به یک خواهیم داشت. بنابراین یک تبدیل خطی و ماتریس آن به جای هم قابل استفاده هستند. همچنین، با تبدیل زیر می‌توان فضای تبدیل خطی روی  $V$  را به یک فضای ضرب داخلی تبدیل کرد:

$$\langle A, B \rangle = tr(AB^\dagger) \quad (37)$$

که در آن رد<sup>۲</sup> ماتریس  $tr(A)$  برای ماتریس مربعی  $A$  برابر با مجموعه درایه‌های قطر اصلی است.

#### ۱-۶ جمع نیمه‌مستقیم دو زیرفضا

تعریف ۱۵. هرگاه  $V$  یک فضای برداری و  $U$  و  $W$  دو زیرفضای آن باشند،  $U + W$  را به عنوان مجموعه زیر تعریف می‌کنیم:

$$U + W := \{v | v = u + w, u \in U, w \in W\} \quad (38)$$

واضح است که  $U + W$  نیز یک زیرفضا برای  $V$  است.

تعریف ۱۶. فرض کنید که  $V$  یک فضای برداری و  $U$  و  $W$  دو زیرفضای آن باشند به طوری که:

$$V = W + U \quad ۱.$$

۲. تنها بردار مشترک  $U$  و  $W$  بردار صفر باشد.

در این صورت  $V$  جمع نیمه‌مستقیم<sup>۳</sup>  $U$  و  $W$  می‌گوییم و می‌نویسیم

$$V = U \oplus W \quad (39)$$

قضیه ۱۰. اگر  $V = W \oplus U$  و تنها اگر هر بردار  $v \in V$  را بتوان به صورت  $u + w$  یکتایی نوشت که در آن  $u \in U$  و  $w \in W$ .

قضیه ۱۱. اگر  $V = U + W$  آنگاه  $dim(V) = dim(U) + dim(W)$ .

<sup>1</sup>Unital

<sup>2</sup>Trace

<sup>3</sup>Semi-direct Sum

تعریف ۱۷. فرض کنید که  $V = V_1 \oplus V_2 \oplus \dots \oplus V_r$ . در این صورت، هر بردار  $v \in V$  به صورت یکتای  $v = v_1 + v_2 + \dots + v_r$  تجزیه می‌شود.  $P_j$  را عملگری تعریف کنید که:

$$P_j v = v_j \quad (40)$$

در این صورت،  $P_j$  را عملگر تصویر روی زیرفضای  $V_j$  می‌خوانیم.

قضیه ۱۲. عملگرهای تصویری<sup>۱</sup> خواص زیر را دارند:

$$P_j P_k = \delta_{jk} P_j \quad ۱.$$

$$\sum_{j=1}^r P_j = I \quad ۲.$$

قضیه ۱۳. هرگاه  $V$  یک فضای ضرب داخلی باشد و  $V = \bigoplus_{j=1}^r V_j$  که در آن  $V_j$ ها بر هم عمود هستند، آنگاه عملگرهای  $P_j$  هرمیتی<sup>۲</sup> هستند.

۷-۱- مساله ویژه مقدار

عملگر  $T: V \rightarrow V$  را در نظر می‌گیریم. مساله ویژه مقدار<sup>۳</sup> عبارت است از یافتن بردارهای غیرصفری که تحت اثر  $T$  به مضربی از خود تبدیل بشوند:

$$Tx = \lambda x \quad (41)$$

بردار  $x$  غیرصفر خواهد بود هرگاه ماتریس  $T - \lambda I$  وارون‌پذیر نباشد، یعنی این‌که

$$\det(T - \lambda I) = 0 \quad (42)$$

این معادله، یک معادله درجه  $N$  است که در حوزه اعداد مختلط حتماً  $N$  جواب مانند  $\{\lambda_i, i = 1, \dots, N\}$  دارد که به آن‌ها ویژه مقدارهای تبدیل  $T$  گوییم. این جواب‌ها لزوماً با هم متفاوت نیستند.

بردار مربوط به  $\lambda_i$  که در معادله  $Tv_i = \lambda_i v_i$  صدق می‌کند را ویژه بردار<sup>۴</sup> متناظر با آن ویژه مقدار می‌خوانیم. هرگاه  $x$  و  $y$  ویژه بردارهای مربوط به  $\lambda$  باشند، بدیهی است که هر ترکیب خطی از آن‌ها هم ویژه برداری از  $\lambda$  است. بنابراین، مجموعه بردارهای متعلق به یک ویژه مقدار تشکیل یک زیرفضا را می‌دهند که به آن ویژه فضای<sup>۵</sup> آن ویژه مقدار می‌گویند.

<sup>1</sup>Image Operators

<sup>2</sup>Hermitian

<sup>3</sup>Eigenvalue

<sup>4</sup>Eigenvector

<sup>5</sup>Eigenspace



۸-۱- عملگرهای هرمیتی، یکانی و به‌هنگار

تعریف ۱۸. در یک فضای ضرب داخلی، الحاقی یک عملگر  $T$  عملگری مانند  $T^\dagger$  است که در شرط زیر صدق کند:

$$\langle v, Tw \rangle = \langle T^\dagger v, w \rangle \quad (۴۳)$$

با استفاده از این تعریف می‌توان به راحتی خواص زیر را ثابت کرد:

۱. الحاقی یک عملگر خطی خود نیز یک عملگر خطی است.

$$(cA + B)^\dagger = c^* A^\dagger + B^\dagger \quad ۲.$$

$$(AB)^\dagger = B^\dagger A^\dagger \quad ۳.$$

$$(A^\dagger)^\dagger = A \quad ۴.$$

تعریف ۱۹. در یک فضای ضرب داخلی عملگر هرمیتی به عملگری گفته می‌شود که در شرط  $T^\dagger = T$  صدق کند. عملگر پادهرمیتی به عملگری گفته می‌شود که در شرط  $T^\dagger = -T$  صدق کند.

تعریف ۲۰. در یک فضای ضرب داخلی، عملگر یکانی  $U$  به عملگری گفته می‌شود که ضرب داخلی بردارها رو حفظ کند، یعنی

$$\langle Uv, Uw \rangle = \langle v, w \rangle \quad (۴۴)$$

چنین عملگری در شرط  $UU^\dagger = U^\dagger U$  صدق می‌کند.

تعریف ۲۱. عملگر نرمال یا به‌هنگار عملگری است که با الحاقی خود جابه‌جا شود. عملگرهای هرمیتی و یکانی نرمال هستند.

$$AA^\dagger = A^\dagger A \quad (۴۵)$$

قضیه ۱۴. فرض کنید که  $A$  یک عملگر به‌هنگار است. در این صورت اگر  $Ax = \lambda x$  آنگاه  $A^\dagger x = \lambda^* x$ .

نتیجه: ویژه‌مقادیر یک عملگر هرمیتی حقیقی هستند.

قضیه ۱۵. ویژه‌بردارهای متناظر با ویژه‌مقدارهای متمایز یک عملگر به‌هنگار بر هم عمودند.

تعریف ۲۲. عملگر مثبت نیمه معین<sup>۱</sup> عملگری است که

$$\forall v \in V : \quad \langle x, Tx \rangle \geq 0 \quad (۴۶)$$

همچنین عملگر مثبت معین<sup>۲</sup> عملگری است که

$$\forall v \in V : \quad \langle x, Tx \rangle > 0 \quad (۴۷)$$

اگر  $f : \mathbb{R} \rightarrow \mathbb{R}$  یک تابع و  $A : \mathcal{H} \rightarrow \mathcal{H}$  عملگری هرمیتی و به صورت زیر باشد:

$$A = \sum_{i=0}^{d-1} \lambda_i |v_i\rangle\langle v_i| \quad (۴۸)$$

آنگاه تعریف می‌کنیم:

$$f(A) := \sum_{i=0}^{d-1} f(\lambda_i) |v_i\rangle\langle v_i| \quad (۴۹)$$

توجه کنید که ویژه‌مقادیر  $f(A)$  برابر با  $f(\lambda_i)$  ها هستند که  $\lambda_i$  ها ویژه‌مقادیر  $A$  هستند.

#### ۹-۱- نمادگذاری دیراک

یک فضای برداری  $V$  با بعد  $N$  با پایه‌های به‌هنگار  $\{e_1, e_2, e_3, \dots, e_N\}$  در نظر می‌گیریم. هر بردار  $v \in V$  بسطی از بردارهای پایه به شکل زیر است:

$$v = \sum_{i=1}^N v_i e_i \quad (۵۰)$$

ضرب داخلی این بردار در خودش به صورت زیر نوشته می‌شود:

$$\langle v, v \rangle = \sum_{i=1}^N v_i^* v_i \quad (۵۱)$$

می‌توان به ازای چنین برداری، یک بردار ستونی با نماد  $|v\rangle$  و یک بردار سطری با نماد  $\langle v|$  به شکل زیر تعریف کرد:

$$|v\rangle = \begin{pmatrix} v_1 \\ v_2 \\ \vdots \\ v_N \end{pmatrix} \quad (۵۲)$$

$$\langle v| = (v_1^* \quad v_2^* \quad \dots \quad v_N^*) \quad (۵۳)$$

<sup>۱</sup>Positive Semidefinite

<sup>۲</sup>Definite Positive

بردار  $\langle v|$  را یک بردار  $bra$  و بردار  $|v\rangle$  یک بردار  $ket$  می‌نامیم. توجه کنیم که می‌توانیم این دو بردار را در هم ضرب کنیم:

$$\langle v|v\rangle = \sum_{i=1}^N v_i^* v_i = \langle v, v\rangle \quad (54)$$

بردارهای پایه  $e_1, \dots, e_N$  نیز شکل زیر را پیدا می‌کنند:

$$|N\rangle = \begin{pmatrix} 0 \\ 0 \\ \vdots \\ 1 \end{pmatrix} \quad |2\rangle = \begin{pmatrix} 0 \\ 1 \\ \vdots \\ 0 \end{pmatrix} \quad |1\rangle = \begin{pmatrix} 1 \\ 0 \\ \vdots \\ 0 \end{pmatrix}$$

$$\langle 1| = (1 \quad 0 \quad \dots \quad 0)$$

$$\langle 2| = (0 \quad 1 \quad \dots \quad 0)$$

$$\langle N| = (0 \quad 0 \quad \dots \quad 1)$$

بنابراین داریم

$$|v\rangle = \sum_{i=1}^N v_i |i\rangle \quad (55)$$

$$\langle v| = \sum_{i=1}^N v_i^* \langle i| \quad (56)$$

از این به بعد تمامی بردارها را با این نمادگذاری نشان می‌دهیم.

خواص زیر برای این نمادگذاری وجود دارد:

$$1. \quad \langle v|w\rangle = \langle v, w\rangle$$

$$2. \quad \langle v|w + w'\rangle = \langle v|w\rangle + \langle v|w'\rangle$$

$$3. \quad \langle v|cw\rangle = c \langle v|w\rangle$$

$$4. \quad \langle cv|w\rangle = c^* \langle v|w\rangle$$

$$5. \quad \langle v|v\rangle \geq 0$$

$$6. \quad \langle v|v\rangle = 0 \rightarrow |v\rangle = \langle v| = 0$$

$$|v\rangle = \sum_{i=1}^N v_i |i\rangle \quad .۷$$

$$\langle i|v\rangle = v_i \quad .۸$$

$$|v\rangle \langle w| := \begin{pmatrix} v_1 w_1^* & v_1 w_2^* & v_1 w_3^* & \cdots & v_1 w_n^* \\ v_2 w_1^* & v_2 w_2^* & v_2 w_3^* & \cdots & v_2 w_n^* \\ v_3 w_1^* & v_3 w_2^* & v_3 w_3^* & \cdots & v_3 w_n^* \\ \vdots & \vdots & \vdots & \ddots & \vdots \\ v_N w_1^* & v_N w_2^* & v_N w_3^* & \cdots & v_N w_n^* \end{pmatrix} \quad .۹$$

$$|v\rangle \langle w + w'| = |v\rangle \langle w| + |v\rangle \langle w'| \quad .۱۰$$

$$|v\rangle \langle cw| = c^* |v\rangle \langle w| \quad .۱۱$$

$$|cv\rangle \langle w| = c |v\rangle \langle w| \quad .۱۲$$

$$\langle i|j\rangle = \delta_{ij} \quad .۱۳$$

$$\sum_i |i\rangle \langle i| = I \quad .۱۴$$

$$|v\rangle = I |v\rangle = \sum_{i=1}^N |i\rangle \langle i|v\rangle = \sum_{i=1}^N v_i |i\rangle \quad .۱۵$$

$$T = \sum_j |j\rangle \langle i| T \sum_i |i\rangle \langle i| = \sum_{i,j} T_{ji} |j\rangle \langle i| \quad .۱۶$$

$$\langle i|AB|j\rangle = \sum_k \langle i|AB|k\rangle \langle k|AB|j\rangle \quad .۱۷$$

#### ۱-۱۰ ضرب تنسوری

هرگاه  $(A)_{m \times n}$  و  $(B)_{p \times q}$  دو ماتریس با ابعاد داده شده باشند، می توان ضرب تنسوری<sup>۱</sup> آن ها را که ماتریسی با ابعاد  $mp \times nq$  است را به شکل زیر تعریف کرد

$$(A \otimes B)_{ij,kl} := A_{ik} B_{jl} \quad (۵۷)$$

به لحاظ عملی ضرب این دو ماتریس به شکل زیر محاسبه می شود:

$$A \otimes B := \begin{pmatrix} a_{11}B & a_{12}B & a_{13}B & \cdots & a_{1n}B \\ a_{21}B & a_{22}B & a_{23}B & \cdots & a_{2n}B \\ a_{31}B & a_{32}B & a_{33}B & \cdots & a_{3n}B \\ \vdots & \vdots & \vdots & \ddots & \vdots \\ a_{m1}B & a_{m2}B & a_{m3}B & \cdots & a_{mn}B \end{pmatrix} \quad (۵۸)$$

<sup>۱</sup>Tensor Product

ضرب تنسوری خواص زیر را دارد:

$$A \otimes (B + C) = A \otimes B + A \otimes C \quad ۱.$$

$$A \otimes (\alpha B) = (\alpha A) \otimes B = \alpha(A \otimes B) \quad ۲.$$

$$(A \otimes B) \otimes C = A \otimes (B \otimes C) \quad ۳.$$

$$(A \otimes B)(C \otimes D) = AC \otimes BD \quad ۴.$$

$$(A \otimes B)^\dagger = A^\dagger \otimes B^\dagger \quad ۵.$$

حال اگر فضای برداری  $V$  با بردارهای پایه  $\{|i\rangle, i = 1, \dots, m\}$  و فضای برداری  $W$  با بردارهای پایه  $\{|\mu\rangle, \mu = 1, \dots, m\}$  را در نظر بگیریم، می‌توان ضرب تنسوری بردارهای پایه را مطابق با تعریف بالا به دست آوریم. به ترتیب بردار پایه به شکل  $|i\rangle \otimes |\mu\rangle$  به دست می‌آوریم که آن‌ها را به اختصار با  $|i, \mu\rangle$  نشان می‌دهیم. این بردارهای جدید یک فضای برداری جدید را جاروب<sup>۱</sup> می‌کنند که با بعد  $mn$  است که آن را فضای برداری ضرب تنسوری  $V$  و  $W$  می‌خوانیم.

نکته آخر این است که یک بردار دلخواه در فضای  $V \otimes W$  را نمی‌توان به صورت ضرب‌های  $|v\rangle \otimes |w\rangle$

نوشت؛ مثل بردار زیر

$$|\psi\rangle := |0, 0\rangle + |1, 1\rangle \quad (۵۹)$$

این نکته ما را دعوت می‌کند که در مورد خاصیت درهم‌تنیدگی در مکانیک کوانتومی بیشتر بررسی کنیم.

---

<sup>۱</sup>Span

## ۲- پیوست دوم: بررسی دقیق کد دوچ جوزا توزیع شده

از آنجایی که نحوه عملکرد قطعه‌های این کد در الگوریتم‌های قبلی بیان شده اند، در این قسمت فقط با اضافه کردن مرحله به مرحله گیت‌ها، مدار حاصل را نمایش می‌دهیم.

```
[73]: def dj_oracle(b_str):
    oracle_qc = QuantumCircuit(len(b_str)+1)
    for qubit in range(len(b_str)):
        if b_str[qubit] == '1':
            oracle_qc.x(qubit)

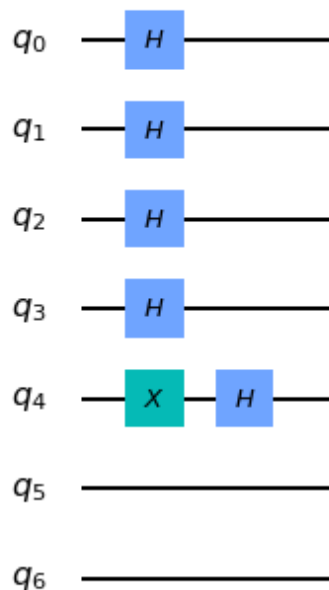
    for qubit in range(len(b_str)):
        oracle_qc.cx(qubit, len(b_str))

    for qubit in range(len(b_str)):
        if b_str[qubit] == '1':
            oracle_qc.x(qubit)

    return oracle_qc
```

```
[93]: alice_start = QuantumCircuit(4+1+2, name="test")
alice_start.x(4)
alice_start.h(4)
for qubit in range(4):
    alice_start.h(qubit)
# oracle_alice = dj_oracle('0101')
# alice_start.append(tto.circuit, range(4+1+2))
alice_start.draw(output='mpl')
```

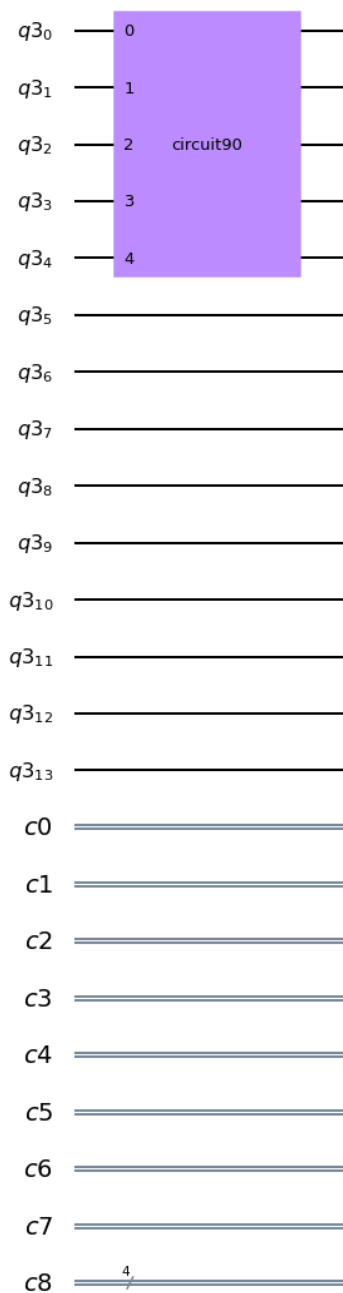
[93]:



```
[60]: alice_bob_tele_qr = QuantumRegister(4+1+4+4+1)
      c11,c12,c21,c22,c31,c32,c41,c42,c_m = ClassicalRegister(1),
      → ClassicalRegister(1), ClassicalRegister(1), ClassicalRegister(1),
      → ClassicalRegister(1), ClassicalRegister(1), ClassicalRegister(1),
      → ClassicalRegister(1), ClassicalRegister(4)
      alice_bob_tele =
      → QuantumCircuit(alice_bob_tele_qr,c11,c12,c21,c22,c31,c32,c41,c42,c_m)
      alice_bob_tele.draw()
```

```
[61]: alice_bob_tele.append(alice_start,range(4+1))
      alice_bob_tele.draw()
```

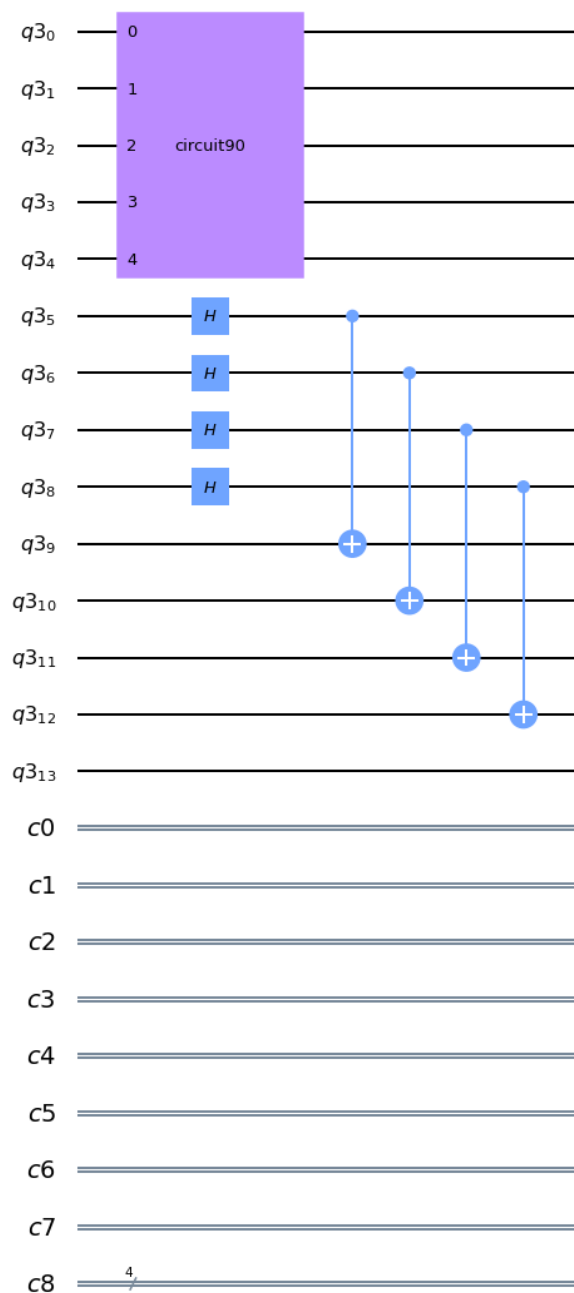
[61]:



9.

```
[62]: def create_bell_pair(qc, a, b):
      qc.h(a) # Put qubit a into state |+>
      qc.cx(a,b) # CNOT with a as control and b as target
create_bell_pair(alice_bob_tele, 5, 9)
create_bell_pair(alice_bob_tele, 6, 10)
create_bell_pair(alice_bob_tele, 7, 11)
create_bell_pair(alice_bob_tele, 8, 12)
alice_bob_tele.draw()
```

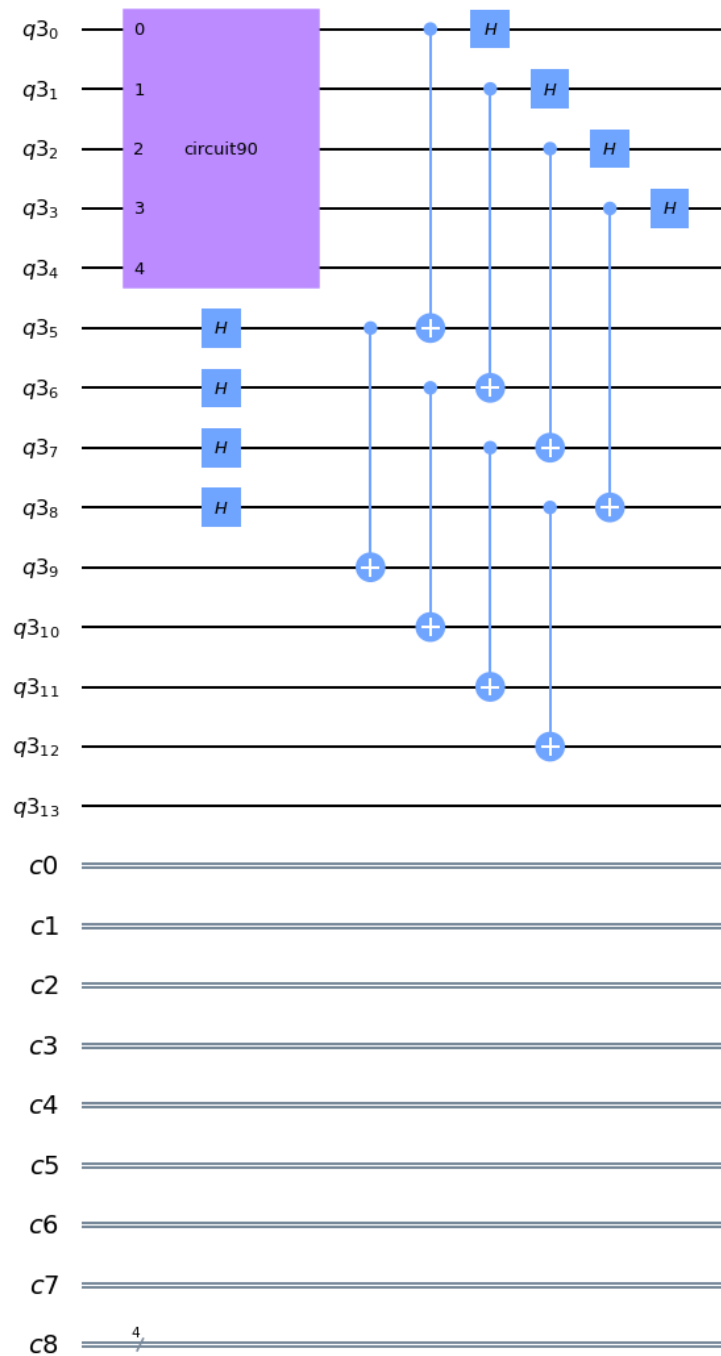
[62]:





```
[63]: def alice_gates(qc, psi, a):
      qc.cx(psi, a)
      qc.h(psi)
      alice_gates(alice_bob_tele, 0, 5)
      alice_gates(alice_bob_tele, 1, 6)
      alice_gates(alice_bob_tele, 2, 7)
      alice_gates(alice_bob_tele, 3, 8)
      alice_bob_tele.draw()
```

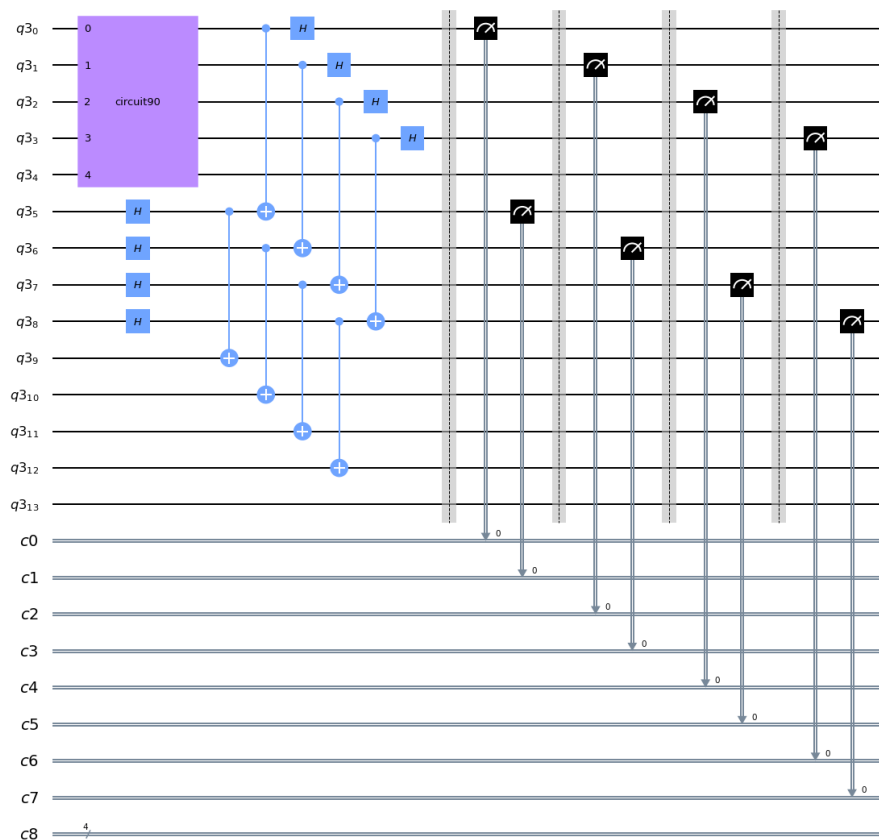
[63]:



```
[64]: def measure_and_send(qc, psi, a, c1, c2):
        qc.barrier()
        qc.measure(psi, c1)
        qc.measure(a, c2)
    measure_and_send(alice_bob_tele, 0, 5, 0, 1)
    measure_and_send(alice_bob_tele, 1, 6, 2, 3)
    measure_and_send(alice_bob_tele, 2, 7, 4, 5)
    measure_and_send(alice_bob_tele, 3, 8, 6, 7)
```

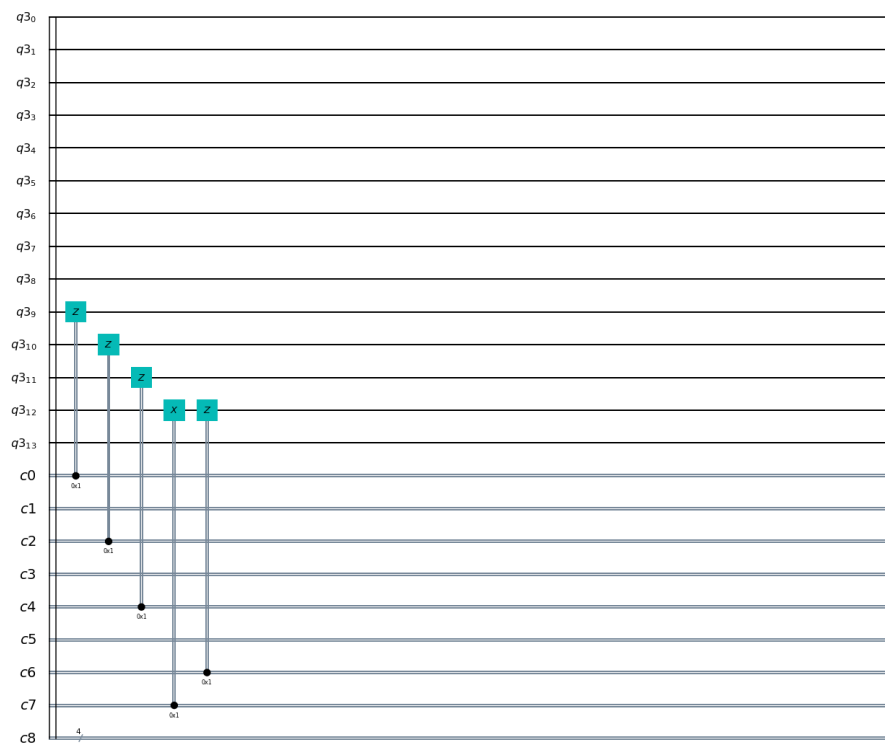
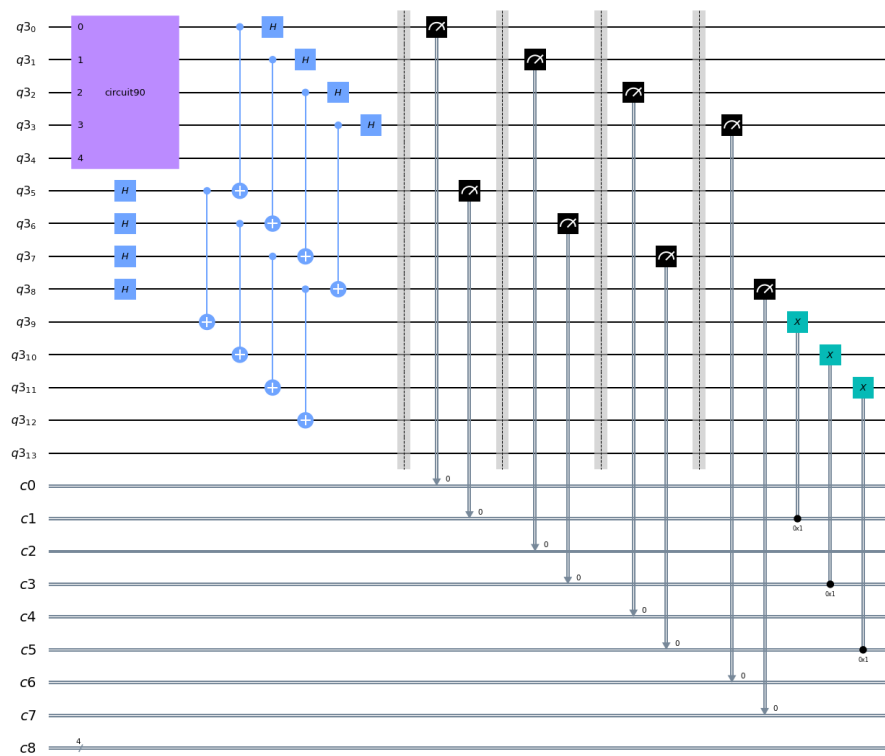
```
[65]: alice_bob_tele.draw()
```

[65]:



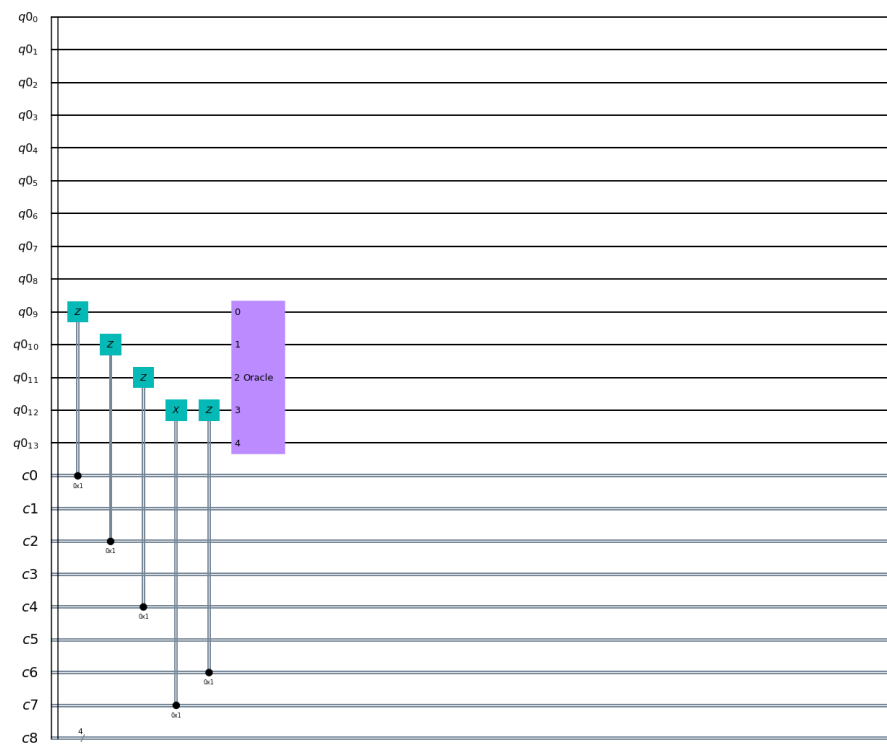
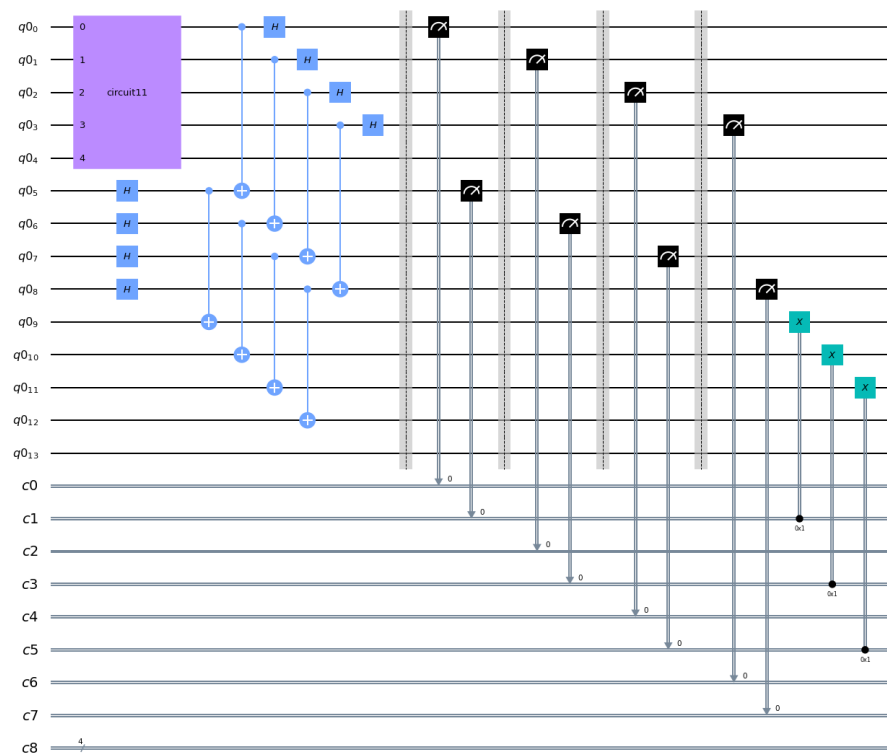
```
[66]: def bob_gates(qc, qubit, crz, crx):
        qc.x(qubit).c_if(crx, 1) # Apply gates if the registers
        qc.z(qubit).c_if(crz, 1) # are in the state '1'
    bob_gates(alice_bob_tele, 9, c11, c12)
    bob_gates(alice_bob_tele, 10, c21, c22)
    bob_gates(alice_bob_tele, 11, c31, c32)
    bob_gates(alice_bob_tele, 12, c41, c42)
    alice_bob_tele.draw()
```

[66]:



```
[16]: bob_oracle = dj_oracle('0101')
      alice_bob_tele.append(bob_oracle, [9,10,11,12,13])
      alice_bob_tele.draw()
```

[16]:

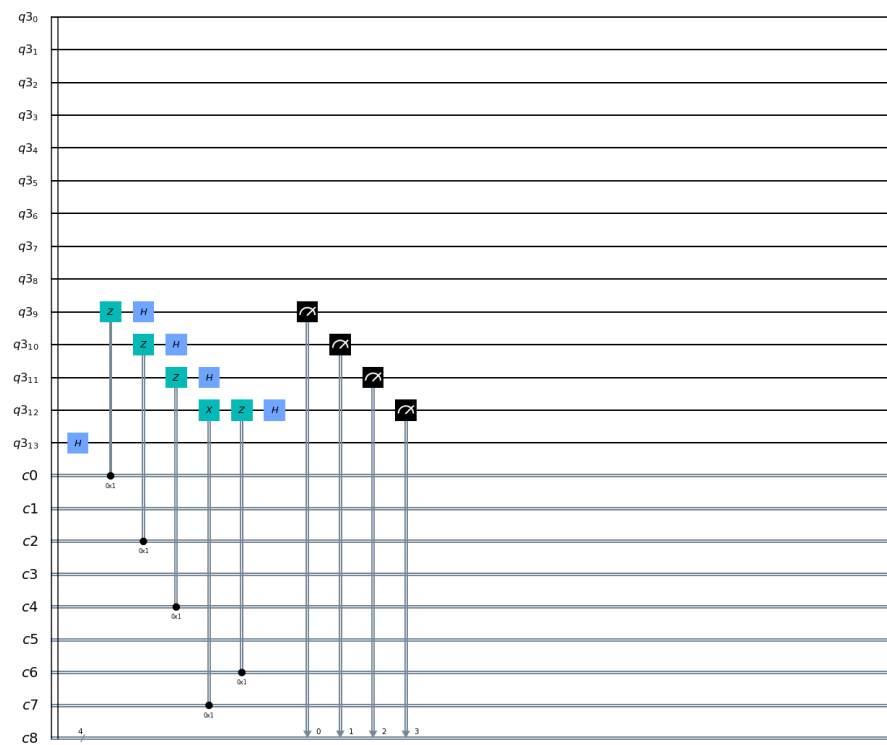
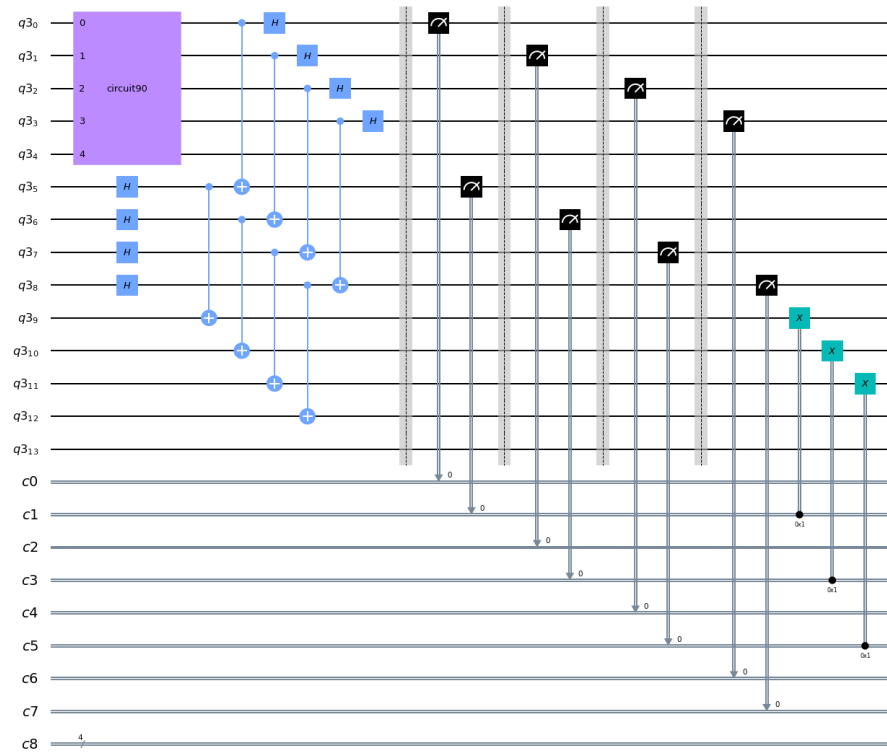


```
[67]: for qubit in [9,10,11,12,13]:
        alice_bob_tele.h(qubit)

alice_bob_tele.measure(9, 8)
alice_bob_tele.measure(10, 9)
```

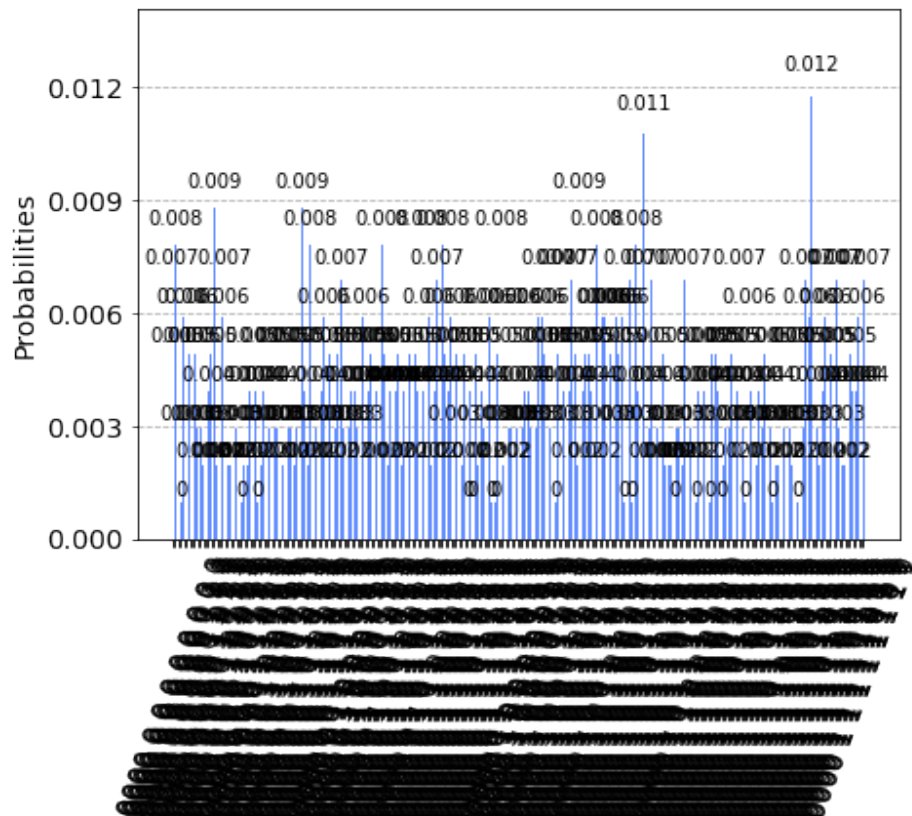
```
alice_bob_tele.measure(11, 10)
alice_bob_tele.measure(12, 11)
alice_bob_tele.draw()
```

[67] :



```
[108]: backend = BasicAer.get_backend('qasm_simulator')
shots = 1024
results = execute(alice_bob_tele, backend=backend, shots=1024).
        ↪ result()
answer = results.get_counts()
plot_histogram(answer)
```

[108]:



## References

- [1] ABRAHAM, H., ET AL. Qiskit: An open-source framework for quantum computing, 2019.
- [2] BABAI, L., FRANKL, P., AND SIMON, J. Complexity classes in communication complexity theory, 1986. Available at [link](#).
- [3] BRASSARD, G. Quantum communication complexity, 2001.
- [4] CHATTOPADHYAY, A., RADHAKRISHNAN, J., AND RUDRA, A. Topology matters in communication, 2014. Available at [link](#).
- [5] CHUANG, I. Quantum information science, 2006. Available at [link](#).
- [6] CLEVE, R., AND BUHRMAN, H. Substituting quantum entanglement for communication, 1997. Available at [link](#).
- [7] CLEVE, R., BUHRMAN, H., AND WIGDERSON, A. Quantum vs. classical communication and computation, 1998. Available at [link](#).
- [8] DE WOLF, R. Quantum computing: Lecture notes, 2019.
- [9] HOLEVO, A. Bounds for the quantity of information transmitted by a quantum communication channel, 1973.
- [10] KUSHILEVITZ, E., AND NISAN, N. Communication complexity, 2009. Available at [link](#).
- [11] LEE, T., AND SHRAIBMAN, A. Lower bounds in communication complexity, 2009.
- [12] NIELSEN, M. A., AND CHUANG, I. L. Quantum computation and quantum information, 2010.
- [13] PHILLIPS, J. M., VERBIN, E., AND ZHANG, Q. Lower bounds for number-in-hand multiparty communication complexity, made easy, 2011. Available at [link](#).

- [14] PITASSI, T. Lecture notes in communication complexity: Applications and new directions, 2014. Available at [link](#).
- [15] ROUGHGARDEN, T. Communication complexity (for algorithm designers), 2015. Available at [link](#).
- [16] SHERSTOV, A. Lecture notes in communication complexity:, 2018. Available at [link](#).
- [17] STRANG, G. 18.06sc linear algebra, Fall 2011. Available at [link](#).
- [18] YAO, A. C.-C. Quantum circuit complexity, 1993. Available at [link](#).